

1.48-сурет

3. Тоқ есептейміз:

$$I_5 = \frac{U_{ab\ xx}}{R_{\text{вх}} + R_5} = \frac{120}{20 + 20} = 3 \text{ A.}$$

Бақылау сұрақтары

1. Электр тізбегін мінездемелейтін оның негізгі шамаларына анықтама беріңіз.
2. Вольт амперлік сипаттамасын (ВАС) түсіндіріңіз.
3. Мінсіз көздің, Э.К.К көзінің, тоқ қорегі көзінің ВАС-ың сыйының.
4. Электр тоғы, тоқ тығыздығы, электр әлеуетіне және кернеуге анықтамалар беріңіз.
5. Электр тізбегі дегеніміз не және ол қандай элементтерден тұрады?
6. Электр энергиясы, электр қуатына анықтама беріңіз, электр тізбектегі электр балансы дегеніміз не?
7. Ом заңын, Кирхоф заңдарын түсіндіріңіз.
8. Жалғастырып, қатар және аралас қосылған резисторлар тізбектеріне Ом заңын жазыңыз.
9. Кедергі ушбұрышын эквивалентті жүлдyzшаға және керісінше айналыстыру әдістерін түсіндіріңіз.
10. Кирхофтың тендеулер әдісімен электр тізбегін есептеуді түсіндіріңіз.
11. Электр энергиясы қорек көздерінің тізбектеліп және параллель қосылған түрлерін түсіндіріңіз.
12. Пропорционалды шама әдісі дегеніміз не?
13. Контурлы тоқтар әдісін түсіндіріңіз.
14. Түйінді әдісінің ерекшелігін түсіндіріңіз.

15. Түйінді кернеу (екі түйін) әдісі дегеніміз не?
16. Эквиваленті генератор әдісін түсіндіріңіз.
17. Активті және пассивті екіұштықтар дегеніміз не?
18. Өтем теоремасын айтыңыз.
19. Синусоидалды ЭҚҚ-ны қалай алады? (пайда болады)
20. Синхронды генератордың қандай элементтерден тұратынын айтыныз және ол қалай жұмыс істейді?
21. Тоқтың, кернеудің ЭҚҚ-тін лездік, әсерлік және амплитуда мәндері деп нені түсінеді?
22. R, L және R, C тізбектердің лездік, векторлар және энергиялар диаграммаларын сыйыңыз?
23. Синусоидалды тоқтың тармақталмаған R, L, C тізбегіне Ом заңың лездік түрде жазыңыз және вектор диаграммасын сыйыңыз.
24. Синусоидалды тоқ, тізбегін есептеудің кешенді әдісін түсіндіріңіз.
25. Кешенді түрдегі Ом және Кирхоф заңдарын жазыңыз.
26. Кешенді түрдегі қуаттар және оларды өлшеу.
27. Кешенді әдіспен синусоидалды тоқ тізбектерін қалай есептейді?
28. Активті, реактивті кедергілердің аралас қосылған тізбектеріне жалпы кедергінің формуласын жазыңыз.
29. Айналмалы тоқ электр тізбегіндегі кернеу резонансы дегеніміз не, оның ерекшеліктеріне тоқталыныз.
30. Айналмалы тоқ электр тізбегіндегі тоқ резонансы дегеніміз не?
31. Синусоидалды электр тоқ тізбегінде қуат коэффиценттін қалай жоғарлатады?
32. Өзара индуктивті электр тізбегін қалай есептейді?
33. Ауа трансформатырын түсіндіріңіз.
34. Т және П тәрізді төрт-ұшты алмастыру сұлбалары; олардың тендеулері.
35. Т тәрізді төрт ұшты алмастыру сұлбасындағы A, B, C, D-коэффиценттерін аналитикалық түрде табу керек.
36. Т тәрізді төртұшты алмастыру сұлбасындағы A, B, C, D-коэффиценттерін эксперименталды түрде табу керек.

II ТАРАУ

2. Сызықты электр тізбегіндегі синусоидалды тоқ

2.1 Жалпы мәлімет

Іс жүзінде электротехника негізгі мәніне айнымалы тоқ жатады. Қазіргі кезде барлық электр энергия айнымалы тоқ түрінде өндіріледі. Ол оның өндіру және тарату артықшылығымен түсіндеріледі.

Айнымалы тоқты тұрақты тоқпен салыстырғанда негізгі артықшылығы – оңай және энергияны таратқанда кернеуді аз шығынмен өзгертеді. Айнымалы тоқ генераторы және қозғалтқышы, тұрақты тоқ машиналарымен салыстырғанда құрылышы жағынан қарапайым және сенімді.

2.1.1. Синусоидалды тоқ пен кернеудің амплитудасы және фазасы

Қазіргі техникаларда айнымалы тоқтың неше түрлі формалары кеңінен пайдаланылады: синусоидалды, тікбұрышты, үш бұрышты т.б. (2.1-сурет). Тоқтың кез келген уақыттағы мәні лездік мәні деп аталады. Тоқтың, ЭКК-ның кернеудің, лездік мәндері i , u , e әріптерімен белгіленеді. Тоқтың лездік мәні теңаралық уақытта қайталанса, **периодты** деп аталады, ал толық бір тербеліс жасауға кететін уақыты- уақыт периоды деп аталады.

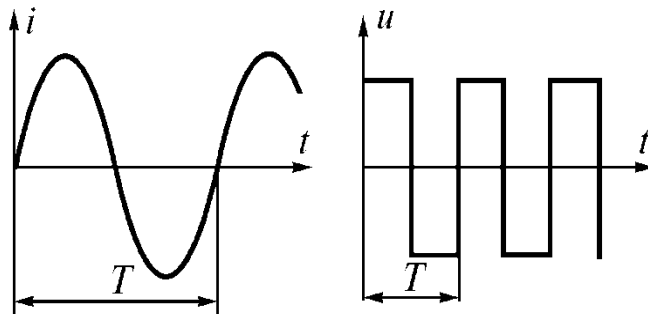
Егерде лездік тоқтың қисығы синусоида түрінде болса, тоқ **синусоидалды** деп аталады.

Егерде қисық синусоидтан өзгеше болса, тоқ синусоидалды емес деп аталады.

Айнымалы тоқтың электр тізбегіндегі синусоидалды формасы жиі қолданылады, себебі, тоқтардың барлық кернеулігі мен жиілігін синусоидалды уақыты – уақыт функциясы болады. Айнымалы тоқ генераторларынан уақыты синус заңымен өзгеретін ЭКК алуға тырысады. Тек осылай электр қондырғылардың тиімді жұмыс жасауын қамтамасыз етуге болады.

Барлық синусоидалды уақыт функциясы (мысалы ток) бір түрде жазылады:

$$i = I_m \sin(\omega t + \psi) \quad (2.1)$$



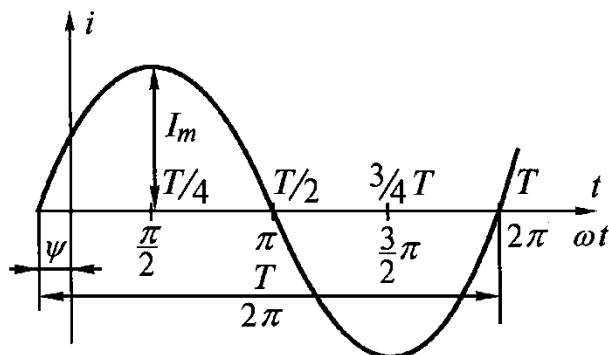
(2.1-сурет)

i – токтың лездік мәні;

I_m – токтың жоғарғы (амплитудалық) мәні (2.2-сурет);

ω – бұрыштық жиілік мәні;

Ψ – бастапқы фаза;



2.2-сурет

$(\omega t + \psi)$ синус аргументі фаза деп аталады. ψ бұрыш фазаға тең, бастапқы уақытта $t=0$ сондықтан оны бастапқы фаза деп атайды.

Фаза уақыт өткен сайын өседі (2.2-сурет) 2π -дейін өскесін, токтың барлық өзгеру циклі қайталанады. Ағым мезгілі

Т болғанда, фаза 2π -ға дейін өседі. Сондықтан $2\pi/T$ фазаның өзгеру жылдамдығын көрсеткендіктен, ол бұрыштық жиілік деп аталады.

$$\omega = 2\pi/T = 2\pi f; \quad [\omega] = \frac{rad}{s} = c^{-1} \quad (2.2)$$

$$f = \frac{1}{\pi} \cdot \text{жиілік}, \text{ Гц}$$

Стандартты жиілік $f = 50 \text{ Гц}$ тең болса, бұрыштық жиілік $\omega = 2\pi \cdot 50 = 314, c^{-1}$

Синусоидалды функция аргументіден-уақыт t немесе ωt бұрышы айтады.

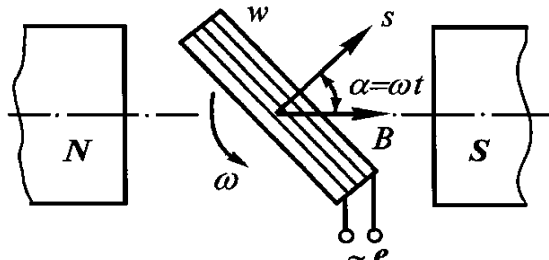
Сондықтан, i және ω лездік мәндерін табу үшін олардың параметрларын табу керек, олар: амплитуда, бұрыштық жиілік және бастапқы фаза. Қазіргі техникаларда айнымалы тоқ жиілігі, жиіліктің мындаған бөлігінен милиард Герцке дейін кең қолданылады. Біздің елдің электроэнергетикасында және Еуропада стандартты жиілік 50 Гц, АҚШ-та-60 Гц.

2.1.2. Синусоидалды ЭКК алу

Қазіргі заман техникасында синусоидалды ЭКК-ны түрлі әдістермен алады, электр машиналарда немесе электронды генераторларда, тағыда басқа құрылғыларда. Көрнекті үлгі, айналатын магнит өрісінде жақтаудың электромагниттік индукциясы арқылы ЭКК әсер ету (2.3-сурет).

Жақтаудың ағымдық ілінісуі мынадай формуламен анықталады:

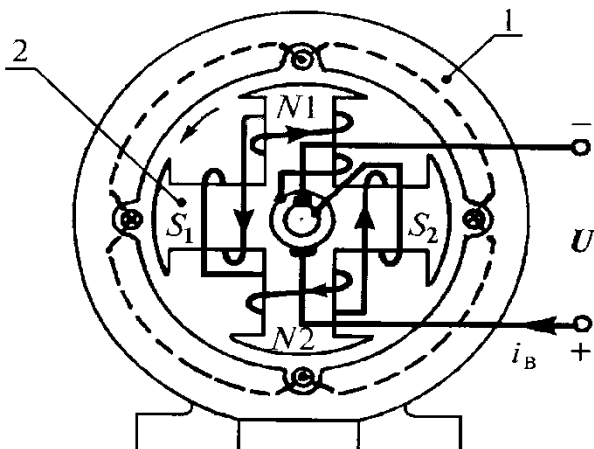
$$\Psi = w\Phi = wBs \cos \alpha = wBs \cos \omega t \quad (2.3)$$



2.3-сурет

Электромагнит индукция заңы бойынша жақтауда ЭҚК пайда болады.

$$e = -\frac{d\Psi}{dt} = wBs \omega \sin \omega t = E_m \sin \omega t \quad (2.4)$$



2.4-сурет

Яғни, ЭҚК синусоида заңымен өзгереді. Қаралған ЭҚК алу әдісі техникада қолданылмайтын көрнекті ескі құрал болып келеді, сондықтан үлкен ауа аралығында құшті біркелкі магнитті өріс алу экономика жағынан тиімсіз.

Өндірісте синусоидалды ЭҚК алу үшін электр машиналар - синхронды генераторлар қолданылады. Айнымалы тоқ генераторы екі бөліктен тұрады: қозғалмайтын статор 1 және айнымалы ротор 2 (2.4-сурет).

Роторда полюстер орналасқан, яғни электр магниттер, олардың орамалары тұрақты тоқ көзімен қоректенеді және уақытында тұрақты магнитті үздіксіз қоздырығыш жасайды, статор арқылы тұйықталады статорда негізгі орамалар орналасқан онда айнымалы ЭҚК туады. Роторда бір немесе бір неше полюстер болуы мүмкін (2.4-сурет. 2p=4) Ротор орамаларына тоқ арнағы қоздырығыштың щетка және сақинасы арқылы беріледі. Статор фазасындағы әр орамалар шиыршығында ротор айналғанда

электромагнит заңы, он қол ережесі бойынша статор орамдарында ЭКК бағытталады:

$$e = Blv, \quad (2.5)$$

мұнда: B - сым астындағы магнитті индукция өрісі

I – еткізгіштің активті ұзындығы;

v – ротордың магнитті өрісінің өзгеруінің сыйықты жылдамдығы.

I және v тұрақты болса ЭКК өзгеруі аудағы магнитті индукцияның таралуына байланысты.

Полюсті соңы формасын таңдауда, ротор мен статор арасында бүкіл шеңбер магнитті индукциясы синусоидалдыға жақын өзгеруін алады.

Магнитті индукция ортасына қарсы ең үлкен және полюсті соңы шетіне қарай бірте-бірте азаяды. Ротордың бір айналымында ЭКК-ның p толық циклі өзгереді, p -полюс жұбы саны. Егерде ротордың айналым жиілігі минутына n -айналымы болса, ЭКК жиілігі :

$$f = \frac{pn}{60} \quad (2.6)$$

Егерде жиілік $f=50\text{ Гц}$ болса, бір жұпты полюсті генератор роторы 3000 айналым/мин жиілікпен айналуы керек, а екі жұпты полюспен -1500 айналым/мин.

(2.4-сурет) Үлкен айналым жылдамдығында ($v>50\text{ м/с}$) полюсті бекіту қынрайтады, механикалық мықтылығын қамтамасыздандыру үшін полюстері анықталмаған электр машиналары қолданылады, онда орамалар цилиндрлі ротор фазасына біркелкі емес орналасады, алаң формасы синусоидалды болу керек.

2.1.3. Синусоидалды тоқтың әрекетілігі және орташа мәні

Айнымалы тоқтың лездік мәні нөлден ең үлкен мағынаға дейін әруақытта өзгеріп тұрады. Айнымалы тоқтың өлшем бөлігі тұрақты тоқ сияқты ампер. Бұл бекітудің мағынасы неде? «Айнымалы тоқ» термині нені білдіреді?

Айнымалы тоқты амплитудасымен сипаттауға болар еді. Негізінде олай істеуге болады, іс жүзінде өте ыңғайсыз, себебі айнымалы тоқ амплитудасын өлшейтін құрал жасау қыын.

Айнымалы тоқты сипаттау үшін тоқтың бағытына байланысты емес қасиеттерін пайдаланған ыңғайлыш, ондай қасиетке тоқтың өткізгішті өту барысындағы қыздыратын қабілеттілігі жатады. Біршама өткізгіштен өтетін айнымалы тоқты елестететің, кедергісі R-ден. Біршама уақытта тоқ өткізгіште белгілі мөлшер шамасында жылу энергиясын шығарады:

$$W = \int_0^T i^2 R dt. \quad (2.7)$$

Сол өткізгіштен тұрақты тоқ жібереміз, оны солай сұрыптаймыз, дәл сондай уақытта өткізгіште сондай мөлшер шамасында жылу энергиясын шығару керек:

$$W = I^2 RT. \quad (2.8)$$

Жылу әсерінен екі тоқта бірдей, сондықтан тұрақты тоқты, жылу санын өткізгіште айнымалы тоқпен бірдей шығарса, ол айнымалы тоқтың әсерлік мәні деп аталады.

(2.7) мен (2.8) теңестіріп синусоидалды тоқ әсерлік мәнін табамыз:

$$I^2 RT = \int_0^T i^2 R dt; \quad I = \sqrt{\frac{1}{T} \int_0^T i^2 dt}. \quad (2.9)$$

Сонымен, синусоидалды тоқтың әсерлік мәні кезеңдегі орташа квадратталған болып табылады. Әсерлі I тоқ пен синусоидалды тоқ I_m амплитудасы араларында мынадай байланыс орынатылады:

$$\begin{aligned} I^2 &= \frac{1}{T} \int_0^T i^2 dt = \frac{I_m^2}{T} \int_0^T \sin^2(\omega t + \psi) dt = \\ &\frac{I_m^2}{2T} \int_0^T [1 - \cos(2\omega t + 2\psi)] dt = \frac{I_m^2}{2T} (T - 0) = \frac{I_m^2}{2} \end{aligned}$$

$$\text{Демек } I = \frac{I_m}{\sqrt{2}} = 0,707 I_m \quad (2.10)$$

Синусоидалды тоқтың әсерлік мәні амплитудасынан $\sqrt{2}$ рет аз. Осылай ұқсас синусоидалды кернеудің әсерлік мәні анықталады:

$$U = \sqrt{\frac{1}{T} \int_0^T u^2 dt}; \quad U = \frac{U_m}{\sqrt{2}} \quad (2.11)$$

Электротехникалық құрылғылардың номиналды тоғы мен кернеуі, әсерлік мәні арқылы анықталады. Электромагнитті, электро-динамикалық, басқа да жүйелер құралдары, тоқ пен кернеудің әсерлік мәнін көрсетеді.

Синусоидалды шаманың орташа мәнін кезеңнің жартысында есептейді, осы уақытта ол белгісін өзгертпейді. Функция кезеңіндегі орташа мәні уақыттың осіне қатысты симметриялы нөлге тең.

Сондықтан:

$$\begin{aligned} I_{cp} &= \frac{2}{T} \int_0^{T/2} idt = \frac{2}{T} \int_0^{T/2} I_m \sin \omega t dt = -\frac{2I_m}{T\omega} |\cos \omega t|_0^{T/2} = \\ &= -\frac{I_m}{\pi} (-1 - 1) = \frac{2I_m}{\pi} \approx 0,637 I_m. \end{aligned} \quad (2.12)$$

$$\text{Ұқсас: } U_{cp} = \frac{2U_m}{\pi}; \quad E_{cp} = \frac{2E_m}{\pi}.$$

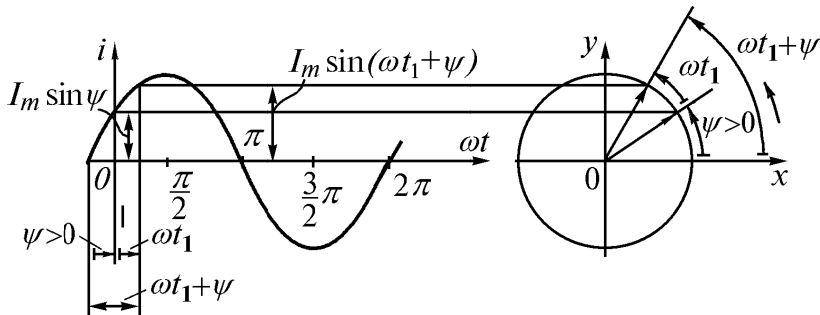
Магнитті электр жүйесінің өлшем құралдары кезеңдегі орташа мәнін көрсетеді.

2.1.4 Синусоидалды шаманың векторлы көрінісі. Вектор диаграммасы

Математикада белгілі, ωt аргумент синусоидалды функциясы, егер ол радиусы ωt радианға сағат жүрісіне қарсы

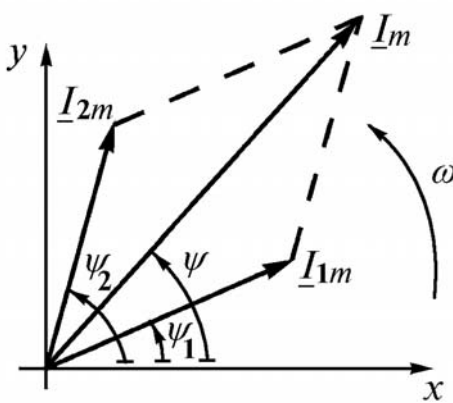
айналса ординат осіне түскен бірлік шама ұзындығының проекциясы ретінде анықталады.

I синусоидалды тоғына, I_m радиус ұзындығы мен үздіксіз айналым сәйкес келеді, бұрышты жылдамдығы $\omega=const$ сағат тілінің жүрісіне қарсы. Координаты жазықтықтағы ($i, \omega t$) синусоид декарт жүйесінде (x, y) айналып тұрган вектор түрінде көрсетіледі (2.5-сурет)



2.5-сурет

I_m векторын жасау үшін, x абсцисс осінің дұрыс бағытынан бұрыш ретінде алынады. Дұрыс бастапқы фаза x осінен сағат тілінің айналымына қарсы жасалынады, ал теріс бастапқы фаза – сағат тілінің жүрісіне сәйкес көрсетіледі. I_m вектордың у осіне проекциясы тоқтың демдегі мәніне тең I_m , уақыты $t=0$. Мейлі, $t=0$ тең мезгілінен, вектор I_m координат 0-ден бастап тұрақты бұрышты жылдамдығын дұрыс бағытта (сағат тілінің жүрісіне қарсы) айналады. t_1 уақыт шамасында вектор x осінде $(\omega t_1 + \psi)$ бұрышқа бұрылады, y осіндегі оның проекциясы функцияның демдегі мәніне тең болады $i(t_1) = I_m \sin(\omega t_1 + \psi)$. Сондықтан, ω бұрышты жылдамдықпен айналып жатқан I_m вектордың координат осіндегі проекциясы кез келген уақытта синусоидалды функцияның демдегі мәніне тең і $i(t) = I_m \sin(\omega t + \psi)$.



2.6-сурет

Синусоидалды функцияны айналып тұрған вектор түрінде көрсету үшін, бастапқы уақыт шамасында x , y жазықтығында көрсетуге болады (2.6-сурет). Бұл жағдайда, айналып тұрған вектор синусоидты көрсетеді, яғни оның екі айрықша параметрлері туралы мәлімет береді, олар - I_m амплитудасы және ψ бастапқы фазасы.

Синусоидтың қосу (алу) есебі қысқарады, егер де вектор түрінде жазықтықта көрсетілсе, функцияны көрсететін векторларды қосады. Мысал ретінде екі тоқты қосайык:

$$i_1 = I_m \sin(\omega t_1 + \psi_1) \text{мен } i_2 = I_{2m} \sin(\omega t_2 + \psi_2)$$

(2.6 суретте) i_1 мен i_2 жазықтықта вектор түрінде көрсетілген. I_m модулді вектор x осіне ψ бұрышымен орналасқан, векторлар қосындысы болады және қосынды синусоидты көрсетеді:

$$i = i_1 + i_2 = I_m \sin(\omega t + \psi).$$

Қолданбалы электротехникада тоқ пен ЭКК-ның әсерлі мәнін білген жөн.

2.2. Синусоидалды тоқ тізбектегі резистор, индуктивті катушка және конденсатор

Тұрақты тоқ тізбегінен синусоидалық тоқ тізбегінің айырмашылығы элементтіне тек қана резистор емес, индуктивті катушка және конденсатор да жатады. Нәкты электр тізбегіндегі айнымалы тоқтың зерттеу үдерісін оңайлату үшін бұл тізбек, тұрақты тоқ тізбегі сияқты, осы элементтерден тұратын алмастыру сұлбасы түрінде көрсетіледі. Айнымалы тоқ тізбегінің элементтері жылу түрінде энергия беретін, активті кедергі деп аталады.

Тізбек элементтері, электр және магнит жазықтығында мезгіл-мезгіл энергия сақталса, реактивті деп аталады, ал айнымалы тоқ кедергісі – реактивті кедергі деп аталады.

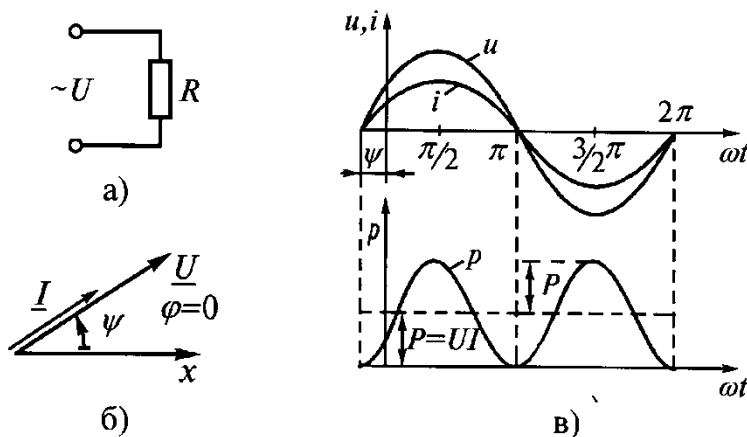
Реактивті кедергімен катушка және конденсатор иемденген. Синусоидалды тоқ тізбегі есебінің негізін білу үшін, жәй тізбектегі тоқ пен кернеудің ара – қатынасын қарастырайық.

2.2.1. Синусоидалды тоқ тізбегіндегі резистор

Егер де синусоидалды кернеуді $u = U_m \sin(\omega t + \psi)$ (2.7 а-сурет) кедергі R резисторға қоссақ, одан синусоидалды тоқ жүреді:

$$i = \frac{u}{R} = \frac{U_m}{R} \sin(\omega t + \psi) = I_m \sin(\omega t + \psi). \quad (2.13)$$

Демек, қысқыштағы кернеу мен резистордағы тоқтың бастапқы фазасы бірдей, басқаша айтқанда, фазасы беттеседі: олар бір уақытта амплитуда мәндеріне жетеді және сәйкес бір уақыта нөлден өтеді (2.7-сурет)



2.7-сурет

Жиіліктері бірдей екі синусоиданың бастапқы фазаларының айрымы фазалық ығысу бұрышы деп аталады.

Дәл осы жағдайда, тоқ пен кернеу арасындағы фазалық ығысу бұрышы нөлге тең:

$$\varphi = \psi_u - \psi_i = 0. \quad (2.14)$$

Тоқ пен кернеудің амплитудалық және әсерлік мәндері Ом заңымен байланысты:

$$I_m = \frac{U_m}{R}; \quad I = \frac{U}{R}. \quad (2.15)$$

Резистордан тоқтың өтүі, оның қорек көзінен энергия алушмен жалғасады. Тоқтың тұсу жылдамдығы қуатымен сипатталады.

Резистролың пайдаланатын лездік қуаты:

$$p = ui = U_m I_m \sin^2(\omega t + \psi) = UI[1 - \cos(2\omega t + 2\psi)], \quad (2.16)$$

Кернеу мен тоқ жиілігімен салыстырганда, екі есе бұрыштық жиілікпен өзгереді.

Лездік қуатта тұрақты құраушы UI болады және құраушы $UI \cos(2\omega t + 2\psi)$ екі есе 2ω бұрыштық жиілікпен өзгереді. (2.7-сурет). Егер де и мен і фазасы беттессе, оларда бірдей белгі болады, олардың көбейтінділері әр уақытта он, яғни $p > 0$.

Кезеңдегі лездік қуаттың орташа мәні:

$$P = \frac{1}{T} \int_0^T p dt \quad (2.17)$$

Бұл активті қуат дәп аталады, ватпен өлшенеді. Активті қуат:

$$P = UI = I^2 R, \quad Bm. \quad (2.18)$$

Осыдан активті кедергі табылады:

$$R = \frac{P}{I^2}. \quad (2.19)$$

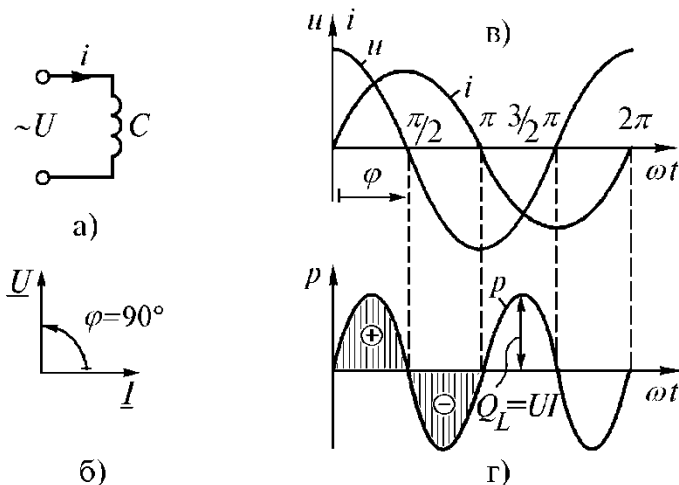
Белгілі, айнымалы тоқ өткізгішінің кедергісі, сыртқы құбылыс әсерінен, құйынды тоқ пен кеңістіктегі электр магнит энергиясының пайда болуынан тұрақты тоққа қарағанда артық.

2.2.2. Синусоидалды тоқ тізбегіндегі индуктивті катушка

Индуктивті катушка, нақты тізбектегі синусоидалды тоқ алмастыру сұлбасының элементі түрінде, магниті жазықтықта

индукция құбылысы мен жиналу құбылысын есепке алуға жағдай жасайды.

Айнымалы тоқ тізбегіне (2.8 а-сурет), аз кедергісі бар $R=0$ индуактивті катушка қосылған тоқтың үздіксіз өзгеріп тұруы ЭҚК катушка иіріміде өз индукциясының пайда болуына әсер етеді. Ленц ережесі бойынша ЭҚК тоқтың өзгеруіне қарсыласады.



2.8-сурет

Мысалы, катушкадағы тоқ синус заңы бойынша өзгереді

$$i = I_m \sin \omega t. \quad (2.20)$$

Бұл жағдайда өз индукциясының ЭҚК-сы

$$e_L = -L \frac{di}{dt} = -\omega L I_m \sin(\omega t + 90^\circ). \quad (2.21)$$

Сондықтан, катушкадағы кернеу

$$u_L = -e_L = \omega L I_m \sin(\omega t + 90^\circ) = U_m \sin(\omega t + 90^\circ). \quad (2.22)$$

(2.20) және (2.22) формулаларды салыстыра отырып, маңызды қорытынды шығарамыз: **Кернеу тоқтан $\pi/2$ бұрышқа өзады**, немесе тоқ фазасы кернеуден $\pi/2$ бұрышқа қалады деуге болады (2.8 б-сурет). Дәл осы жағдайда **фазаның қозғалу бұрышы он(озады)** (2.8 в-сурет)

$$\varphi = \psi_u - \psi_i = 90^\circ = \pi/2. \quad (2.23)$$

$X_L = \omega L$ индуктивті кедергі, өлшем бірлігі – Ом. Ол жиілікке байланысты және есеп шамасын көрсетеді, ол арқылы өзара индукция құбылысы анықталады.

Кернеу мен тоқ амплитудасы Ом заңымен байланысты екенін (2.22) формула талдауынан көруге болады.

$$U_m = \omega L I_m = X_L I_m. \quad (2.24)$$

Онын әсерлі мәніде оған ұқсас

$$U = \omega L I = X_L I. \quad (2.25)$$

Катушкасы бар тізбектің лездік қуаты

$$\begin{aligned} p &= ui = U_m I_m \sin(\omega t) \sin(\omega t + 90^\circ) = \\ &= 2UI \sin \omega t \cos \omega t = UI \sin 2\omega t. \end{aligned} \quad (2.26)$$

(2.28 ғ-сурет) кестесі (2.26) теңдеу арқылы салынған, бұл кезеңнің бірінші ширегінде $u>0$ және $i>0$ болғанда, p қисығы мен абсцис осімен шектелген аланды, магнит өрісін жасау үшін катушканың алатын энергиясын көрсетеді. Кезеңнің екінші ширегінде тоқ ең көп саннын нөлге дейін азаяды, магнитті өріс энергиясы қоректену көзіне беріледі. Бұл кезде лездік қуаты теріс үдеріс қайталанады. Сонымен, катушка мен қорек көзі арасында энергия ауытқуы пайда болады, катушкаға кіретін активті қуат нөлге тең. Тізбектегі лездік қуат амплитудасының ауытқуын реактивті (индуктивті) қуат деп атайды:

$$Q_L = UI = I^2 X_L. \quad (2.27)$$

Реактивті қуаттың активтіден өзгеше өлшем бірлігі – *Var* (вольт-ампер реактивті)

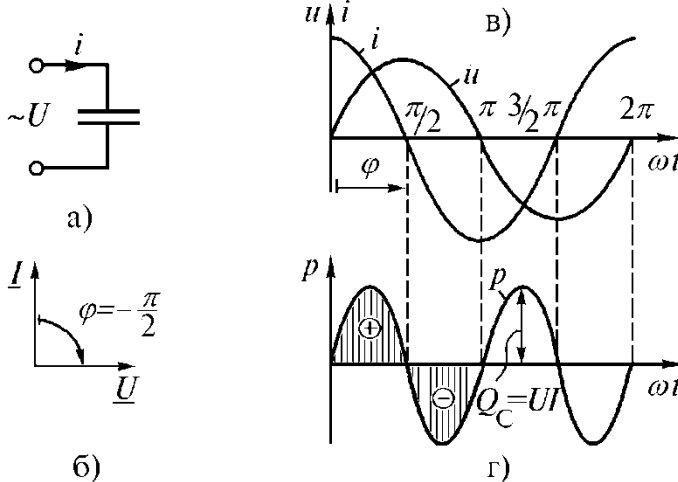
2.2.3. Синусоидалды тоқ тізбегіндегі конденсатор

Конденсатордың айнымалы тоқ тізбегіне косылуы тізбектің үзілүіне әсер етпейді, конденсатордың қуат алуы мен ағын алуы арқылы тоқ тізбекте қуаттанып тұрады, (2.9 а-сурет) бойынша кернеу синус заңымен өзгереді:

$$u = U_m \sin \omega t. \quad (2.28)$$

Онда

$$i = \frac{dq}{dt} = C \frac{du}{dt} = \omega C U_m \cos \omega t = \\ \frac{U_m}{\omega C} \sin\left(\omega t + \frac{\pi}{2}\right) = I_m \sin\left(\omega t + \frac{\pi}{2}\right). \quad (2.29)$$



2.9-сурет

(2.29) формула $\pi/2$ бұрышқа салынған кернеуден тоқтың озатынын көрсетеді. (2.9 б, в-сурет) Тоқтың нөль шамасы кернеудің ең үлкен шамасына сәйкес келеді. Физикалық түрғыдан айтқанда, электр заряды мен кернеу ең үлкен шамасына жеткенде, тоқ нөлге тең болады.

Тоқтың фазалық ығысы, кернеу мен тоқтың бастапқы фазаларының айырмашылығын көрсетеді:

$$\varphi = \psi_u - \psi_i = -\pi/2. \quad (2.30)$$

Сонымен катушкасы бар тізбектен ерекшелігі $\varphi = \pi/2$ км, конденсаторы бар тізбектің фазасының жылжу бұрышы теріс.

(2.29) формулада, тоқ пен кернеу амплитудалары Ом заңымен байланысты:

$$I_m = \omega C U_m = \frac{U_m}{X_C}; \quad X_C = \frac{I}{\omega C}, \quad (2.31)$$

Бұнда X_C -сыйымдылық кедергі, Оммен өлшенеді.

Конденсаторға түсетін лездік қуат

$$p = ui = U_m I_m \sin \omega t \sin(\omega t + \pi/2) = UI \sin 2\omega t, \quad (2.32)$$

Бұрышты жиілігі 2ω синусоидалды ауытқиды, амплитудасы UI (2.29 г-сурет). Қорек көзінен түскен энергия конденсатордың электр өрісінде уақытша қамданады, содан кейін, электр өрісі жоқ болғанда, қайтадан қайнар көзіне қайтып келеді. Бұнда да катушкалы тізбектегідей, қайнар көзі мен конденсатор арасында энергия ауытқыйды, активті қуат $P = 0$.

Конденсаторы бар тізбек қуаты амплитудасының ауытқуын **реактивті (сыйымдылық) қуат** деп аталады.

$$Q_C = UI = X_C I^2, \text{Var}. \quad (2.33)$$

2.3. Синусоидалды тоқ тізбегін векторлы диаграмма арқылы талдау

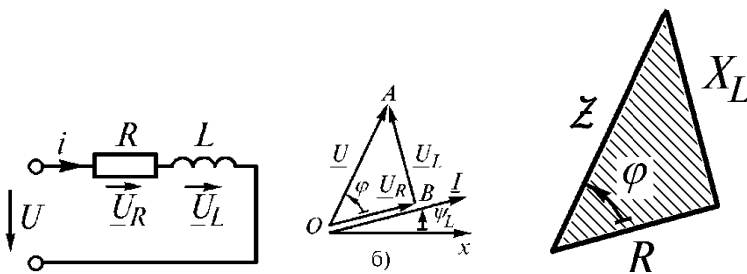
Синусоидалды ЭҚҚ қөрсететін біріктілген, бір жиіліктегі кернеу мен тоқ, бір-біріне қарасты бағдарын сақтап жазықтықта қөрсетілген векторлар, векторлы диаграмма деп аталады. Векторлы диаграмма, синусоидалды тоқ тізбегінің жұмыс режімін талдауда кеңінен қолданылады, тізбек есебін жеңіл және көрнекті жасайды.

2.3.1. Резистор және индуктивті катушкасы бар тізбек

Айнымалы тоқ тізбегіндегі нақты катушка активті жіне индуктивті кедергілерінің өзара байланыстарын көрсетеді. (2.10 а-суретте) индуктивті катушканың алмастыру сұлбасы берілген.

Мысалы, катушкадан синусоидалды тоқ жүреді

$$i = I_m \sin(\omega t + \psi_i) \quad (2.34)$$



2.10-сурет

Кирхгофтың екінші заңына сәйкес кернеулердің лездік мәндері

$$u = u_R + u_L = iR + L \frac{di}{dt}, \quad (2.35)$$

u_R - активті кедергідегі кернеу

u_L - индуктивті кедергідегі кернеу.

(2.35) теңдеуді әрекеттегі мәндер бойынша болай жазуға болады:

$$U = U_R + U_L. \quad (2.36)$$

(2.36) теңдеуге қарап векторлы диаграмма салынады. (x , y) координат жүйесіне тоқ векторы I (негізгі вектор) көрсетіледі. (2.10 б-сурет) Бұдан кейін кернеу векторы U_R кедергісінің активті құрамасын жүргіземіз.

Ол тоқ фазасымен сәйкес болады. U_L -кернеу векторы тоқ векторынан 90° озады. Екі вектор қосындысы қайнар қорек көзінің кернеу векторын береді, ол тоқ векторынан φ бұрышқа озады.

Вектор диаграммасынан

$$U^2 = U_R^2 + U_L^2 = I^2 R^2 + I^2 X_L^2,$$

$$\text{Бұдан } I = \frac{U}{\sqrt{R^2 + X_L^2}} = \frac{U}{Z} \quad (2.37)$$

Z – тізбектің толық кедергісі, ол берілген кернеуді тоққа бөлу арқылы табылыды $Z = \sqrt{R^2 + X_L^2} = \frac{U}{I}$.

2.10 б-суреттегі ОАВ үшбұрышы, кернеу үшбұрышы деп аталады. Тоқ пен бір фазадағы кернеу құрамасы активті кернеу құрамасы деп аталады U_a :

$$U_a = U_R = U \cos \varphi = IR. \quad (2.38)$$

Тоқ векторына тігінен түсетін кернеу құрамасы реактивті кернеу құрамасы деп аталады:

$$U_p = U_L = U \sin \varphi = IX_L. \quad (2.39)$$

Егер де, (2.10 б-сурет)кернеу үшбұрышының қабырғасын әрекеттегі тоқ мәніне бөлсек, кедергі бұрышын табамыз (2.10 в-сурет). Кедергі үшбұрышынан арақатынасы, фазаның жылжу бұрышы мен тізбек параметрлерінің байланысы табылады.

$$R = Z \cos \varphi; \quad X_L = Z \sin \varphi; \quad \operatorname{tg} \varphi = \frac{X_L}{R};$$

$$\cos \varphi = \frac{R}{Z}; \quad \sin \varphi = \frac{X_L}{Z}; \quad \varphi = \arctg \frac{X_L}{R}. \quad (2.40)$$

Егер де, $0 < \varphi < \pi/2$ Тізбек индуктивті болады. $\varphi = 0$ және $\varphi = \pi/2$ болса таза активті және таза индуктивті күшке сәйкес келеді. Тізбектегі тоқтың заң бойынша өзгеретіндігіне орай, кернеудің лездік мәнін жазайық (2.34)

$$u_R = I_m R \sin(\omega t + \psi_i) = U_m R \sin(\omega t + \psi_i);$$

$$u_L = I_m X_L \sin(\omega t + \psi_i + 90^\circ) = U_m L \sin(\omega t + \psi_i + 90^\circ);$$

$$u = I_m Z \sin(\omega t + \psi_i + \varphi) = U_m \sin(\omega t + \psi_i + \varphi). \quad (2.41)$$

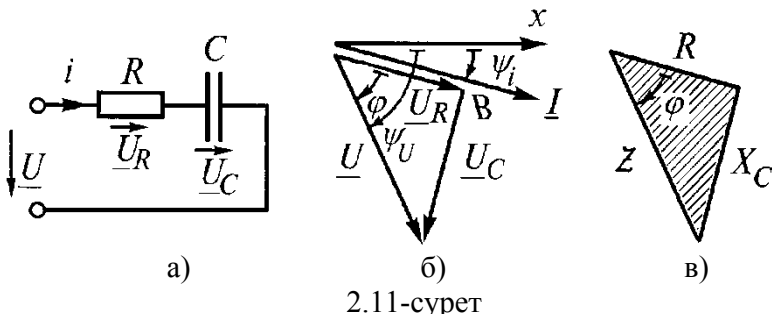
2.3.2. Резистор мен конденсаторы бар электр тізбегі

Кирхгофтың екінші заңы бойынша, 2.11 а-суреттегі тізбектің кірісіндегі кернеу, әсерлі мәні келесі тендеумен табылады.

$$\underline{U} = \underline{U}_R + \underline{U}_C. \quad (2.42)$$

Тізбекте мынадай тоқ $i = I_m \sin(\omega t + \psi_i)$ жүреді және $\psi_i < 0$ деп, векторлы диаграмма сымамыз.

Тоқ векторын x осіне ψ_i бұрышымен теріс бағытта сағат жүрісіне сай жүргіземіз (2.11 б-сурет).



Резистор U_R кернеу векторы фазасы мен тоқ векторына дәл келеді, ал конденсатор U_C кернеу векторы, тоқ векторынан 90^0 қалады. Екі векторды қосқанда (2.42) тендеу бойынша U_C қорек көзінің кернеу векторын табамыз (2.11 б-сурет).

Векторлы диаграммадан:

$$I = \frac{U}{\sqrt{R^2 + X_C^2}} = \frac{U}{Z}; \quad Z = \sqrt{R^2 + X_C^2} \quad (2.43)$$

$Z - R, C$ тізбегінің толық кедергісі.

Қорек көзінің кернеу векторы, тоқ векторынан φ бұрышына қалады, сондықтан тізбек сыйымдылық түрде болады: $-90^0 < \varphi < 0$

(2.11 б-сурет) кернеу үшбұрышы мен (2.11 в-сурет) кедергі үшбұрышының арақатынасын (2.38), (2.39) (2.40) формулалар бойынша жазуға болады.

Тізбек элементіндегі кернеулердің лездік мәндері былай жазылады:

$$\begin{aligned} u_R &= I_m R \sin(\omega t + \psi_i) = U_{mR} \sin(\omega t + \psi_i); \\ u_C &= I_m X_C \sin(\omega t + \psi_i - 90^0) = U_{mC} \sin(\omega t + \psi_i - 90^0); \\ u &= I_m Z \sin(\omega t + \psi_i + \varphi) = U_m \sin(\omega t + \psi_i + \varphi). \end{aligned} \quad (2.44)$$

2.3.3. Резисторды катушка мен конденсаторды тізбектеп қосу

Синусоидалды тоқтың $i = I_m \sin \omega t$ R, L, C элементтерінің тізбектеліп жалғасқан электр тізбегінен өткенде, (2.12 а-сурет) оның қысқышында синусоидалды кернеу пайда болады және ол элементтердің синусоидалды кернеулерінің алгебралық қосындысына тең. (Кирхгоф екінші заңы):

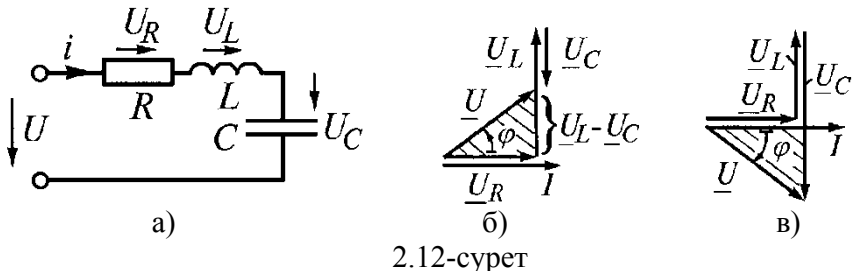
$$u = u_R + u_L + u_C. \quad (2.45)$$

Осы теңдеуді векторлы түрде жазамыз:

$$\underline{U} = \underline{U}_R + \underline{U}_C + \underline{U}_L. \quad (2.46)$$

Фазалар ара-қатынастарын ескере отырып векторлы диаграмма сыйзамыз (2.12 б-сурет)

Резистор кернеу векторы фаза бойынша тоқ векторымен бір бағытта, конденсатор кернеуі тоқ векторынан 90° калады, ал индуктивтегі тоқ кернеу векторы 90° озады. Тізбек элементтеріндегі үш кернеу векторын қоссақ, корек көзінің кернеу векторын табамыз.



2.12-сурет

Векторлы диаграммадан кіріс кернеуін табамыз:

$$U = \sqrt{U_R^2 + (U_L - U_C)^2} = \sqrt{I^2 R^2 + (IX_L - IX_C)^2},$$

Бұдан, тоқ пен толық кедергі:

$$I = \frac{U}{\sqrt{R^2 + (X_L - X_C)^2}} = \frac{U}{Z};$$

$$Z = \sqrt{R^2 + (X_L - X_C)^2} = \sqrt{R^2 + X^2} \quad (2.47)$$

$X = X_L - X_C$ – индуктивті және сыйымдылық кедергі айырмашылығы реактивті кедергі деп аталады.

Кернеу үшбұрышынан фаза жылжуын табамыз:

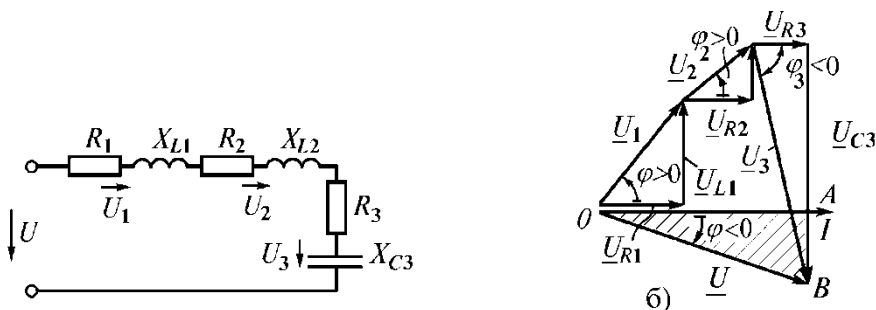
$$\varphi = \arctg \frac{U_L - U_C}{U_R} = \arctg \frac{X_L - X_C}{R} = \arctg \frac{X}{R}. \quad (2.48)$$

Егер де, $X_L > X_C$ көп болса, $X > 0$, онда тізбек индуктивті түрде болады. Бұл жағдайда $U_L > U_C$ (2.12 б-сурет), Ал фаза жылжуы $\varphi > 0$. Егер де $X_L < X_C$ аз болса, $X < 0$, онда тізбек сыйымдылық түрде болады, ал фаза жылжуы $\varphi < 0$ (2.12 в-сурет). Сонымен, реактивті кедергі X , он ($\varphi > 0$) және теріс ($\varphi < 0$) болуы мүмкін.

Егерде, $X_L = X_C$ болса, реактивті кедергі $X = X_L - X_C = 0$. Бұл жағдайда тізбек активті түрде болады, ал фаза жылжуы $\varphi = 0$. Бұл режим **кернеу резонансы** деп аталады.

2.3.4. Синусоидалды тоқтың тармақталмаған тізбегі

Тізбектеліп қосылған үш тоқ кабылдағыш электр тізбегін карастырайық (2.13 а-сурет) алдыңғы екеуі активті-индуктивті түрде, үшіншісі тізбектеліп қосылған резистор мен конденсатор. Векторлы диаграмма бойынша тізбек талдауын жасайық.



2.13-сурет

Барлық векторлар диаграммаларының базасы болатын еркін тоқ векторын кұрастырамыз. Кирхгоф заны бойынша теңдеу күрамыз:

$$\underline{U} = \underline{U}_1 + \underline{U}_2 + \underline{U}_3,$$

Мұнда $\underline{U}_1 = \underline{U}_{R1} + \underline{U}_{L1}$; $\underline{U}_2 = \underline{I}\underline{R}_2 + \underline{I}\underline{X}_{L2}$; $\underline{U}_3 = \underline{I}\underline{R}_3 + \underline{I}\underline{X}_{C3}$. Векторлар құрамасын жасаймыз, модулдері Ом заны бойынша табылады. Вектор қосындысын көп бұрыш ережесі бойынша жасаймыз.

Тізбектің активті кедергісіндегі кернеу векторы фазасымен тоқ векторына дәл келеді, \underline{U}_L векторы тоқ векторынан 90^0 озады, ал \underline{U}_C векторы одан 90^0 қалады (2.13 б-сурет). Қорек көзінің әрекеттегі кернеу мәні (\underline{U} вектор модулі) диаграмма бойынша ОАВ кернеу үшбұрышынан былай табылады.

$$U = \sqrt{I^2(R_1 + R_2 + R_3)^2 + I^2(X_{L1} + X_{L2} - X_{C3})^2} = \\ I\sqrt{R^2 + X^2} = IZ. \quad (2.49)$$

(2.49) формула бойынша $R = R_1 + R_2 + R_3$ тізбектің активті кедергісі тізбектеп жалғасқан резисторлардың кедергілері олардың арифметикалық қосындысына тең.

Тізбектеген n қабылдағыштың жалпы жағдайы мынадай:

$$R = \sum_{K=1}^n R_K. \quad (2.50)$$

$X = X_{L1} + X_{L2} - X_{C3}$ тізбектің реактивті кедергісі болады, тізбектеліп қосылған элементтер кедергілерінің арифметикалық қосындысына тең.

Жалпы келгенде:

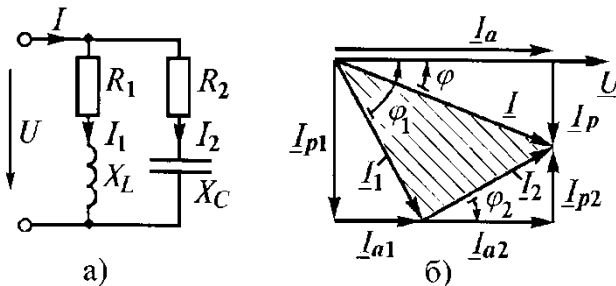
$$X = \sum_{K=1}^n (X_{LK} - X_{CK}) = \sum_{K=1}^n X_K. \quad (2.51)$$

Біздің сұлбада индуктивті кернеу векторлары конденсатордағы кернеу векторынан аз, сондықтан $X < 0$, бұндай жағдайда реактивті кедергі сыйымдылық түрінде болады. (2.49) формула Ом заны бойынша U мен I әрекеттегі мәнінің арасындағы байланысты көрсетеді.

2.3.5. Резисторды, катушка мен конденсаторды қатар қосу

Қатар қосылған екі тармағы бар тізбекті карстырайық. Мысалы, кернеу көзі мен сұлба параметрлері белгілі. Корек көзінен алатын I тоқ пен тізбек кірісіндегі φ жылжу бұрышын табу керек. Есепті қатынасын табу үшін тоқтың векторлы диаграммасын жасаймыз. Қатар тармақтағы тоқтың және берілген кернеуге қатысты бұрыштың ығусуын есептейміз. Бірінші тармақ үшін жүктемелуе сипаттамасы индуктивті тоқ U дан $0 < \varphi < \pi/2$ бұрышқа қалады:

$$Z_1 = \sqrt{R_1^2 + X_L^2}; I_1 = \frac{U}{Z_1}; \varphi_1 = \arctg \frac{X_L}{R_1} > 0.$$



2.14-сурет

Екінші тармақ жүктеме сыйымдылық сипаттамада:

I_2 вектор U дан- $\pi/2 < \varphi < 0$ бұрышына озады.

$$Z_2 = \sqrt{R_2^2 + X_C^2}; I_2 = \frac{U}{Z_2}; \varphi_2 = -\arctg \frac{X_C}{R_2} < 0.$$

Қатар тармақтардың негізі болатын, негізгі вектор ретінде U қорек көзі кернеудің векторы алынады. (2.14 б-сурет) Осыған байланысты I_1 , I_2 тоқ векторларын бағыттау қын емес.

Тоқтың екінші тармағын бағыттағанда φ_2 бұрышын вектор I_2 , U векторына қатар жүргіземіз, себебі векторлар басының бір біріне қатысы жок. Кирхгофтың бірінші заңына сәйкес $I = I_1 + I_2$ кіріс тоғын табамыз. Эрі қарай векторлы диаграммадан барлық есеп қатынасын табамыз. Ол үшін, әр вектор проекциясы оске өзара тігінен (взаимоперпендикулярны)

түсті дейік. Вектор проекциясынан кернеу векторына бағытталған тоқты I_p тоқтың активті құрамасы деп атайды, ал өзара тігінен бағытталған проекция - I_p тоқтың реактивті құрамасы болады (2.14 б-сурет), бұл құрамалар барлық векторларда көрсетілген. I_a және I_p тоқ құрамасы физикалық түрде жоқ, тек есепті түрінде қаралуы керек. Диаграмма бойынша кірме тоқтың активті құрамасы, қатар жүрген тармақтағы тоқтардың активті құрамасының қосындысы түрінде анықталады:

$$I_a = I_{a1} + I_{a2} = I_1 \cos\varphi_1 + I_2 \cos\varphi_2 = \frac{U}{Z_1} \frac{R_1}{Z_1} + \frac{U}{Z_2} \frac{R_2}{Z_2} = \\ U \left(\frac{R_1}{Z_1^2} + \frac{R_2}{Z_2^2} \right) = U(g_1 + g_2) = Ug \quad (2.52)$$

g - тізбектің активті өткізгіштілігі, жеке тармақтар активті өткізгіштіліктің арифметикалық қосындысына тең.

$$g = g_1 + g_2; \quad g = \sum_{K=1}^n g_k \quad (2.53)$$

$$g_k = \frac{R_K}{Z_k^2} - k \text{ тармақтың активті өткізгіштілігі.}$$

Тек кейбір жағдайда, егер де тармақ таза активті кедергісі $Z_K = R_K$ түрінде көрсетілсе, оның активті өткізгіштілігі, активті кедергіге көрісінше болады.

Кірме тоқтың реактивті құрамасы, қатар жүрген тармақтар тоғының реактивті құрамасының алгебралық қосындысы ретінде анықталады. Индуктивті тармақтағы реактивті құраманы он деп санайды, ал сыйымдықтағыны – теріс дейді. Белгілері, сәйкес мәндері қойылғанда есептеледі:

$$I_p = I_{p1} + I_{p2} = I_1 \sin \varphi_1 + I_2 \sin \varphi_2 = \frac{U}{Z_1} \frac{X_1}{Z_1} + \frac{U}{Z_2} \frac{X_2}{Z_2} = \\ = U \left(\frac{X_{L1}}{Z_1^2} - \frac{X_{C2}}{Z_2^2} \right) = U(b_{L1} - b_{C2}) = Ub, \quad (2.54)$$

$b = b_{L1} - b_{C2}$ – тізбек өткізгіштігінің реагентті құрамасы кейбір тармақтардың реагентті өткізгіштілігінің алгебралық қосындысына тең.

Жалпы жағдайда

$$b = \sum_{k=1}^n b_k$$

b_k - кейбір К тармақтардың реагентті өткізгіштігі;

$$b_k = \frac{X_k}{z_k^2}, \quad (2.55)$$

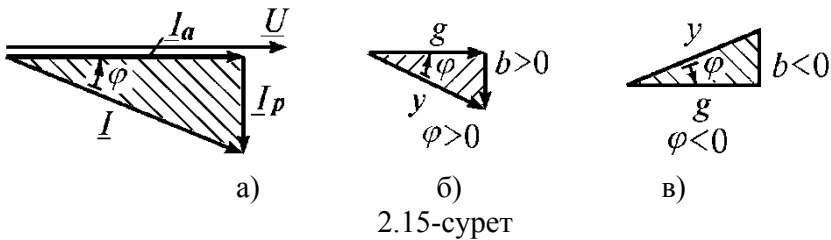
Егер де, қарастырылатын тармақ таза реагентті болса: $Z_k = X_k$ өткізгіштілік реагентті кернеуге көрісінше болады. Тізбек кірмесіндегі тоқ (2.14 б-сурет)

$$I = \sqrt{I_a^2 + I_p^2} = \sqrt{U^2 g^2 + U^2 b^2} = U \sqrt{g^2 + b^2} = Uy, \quad (2.56)$$

$y = \sqrt{g^2 + b^2}$ тізбектің толық өткізгіштілігі активті және реагентті өткізгіштілік геометриялық қосындысына тең.

φ фаза бұрышының ығысуы векторлы диаграммадан анықталады.

(2.15 а-суретте) I кірме тоғының векторлы диаграммасы көрсетілген, оның құрамасы I_a мен I_p және U қорек көзінің кернеуі үшбұрыш, тоқ векторымен және оның I , I_a мен I_p проекциясымен жасалған **тоқ үшбұрышы** деп аталады (2.15 а-сурет). Егерде, үшбұрыш векторын U кернеуге бөлсек, үшбұрыш болады, тоқ үшбұрышына ұқсас, **сондықтан өткізгіштік үшбұрышы** болады. Ол b, g, y өткізгіштілік пен жасалған, модулдері сәйкес өткізгіштілікке тең, ал қабырғалары тоқ үшбұрышының I, I_a, I_p -мен тұра келеді (2.15 б-сурет)



2.15-суретте $\varphi < 0$ кезіндегі өткізгіштілік үшбұрышы көрсетілген. Бұл суреттен параметрлер ара қатынасын және фаза бұрышының ығысу формуласын табамыз.

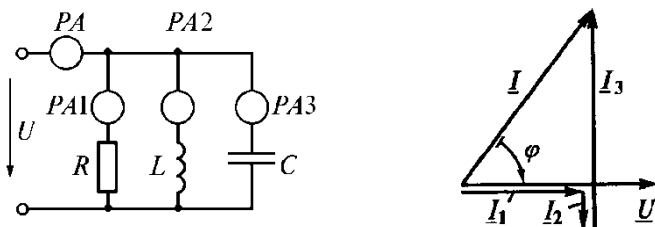
$$g = y \cos \varphi; \quad b = y \sin \varphi; \quad \operatorname{tg} \varphi = \frac{b}{g}; \quad \sin \varphi = \frac{b}{y}$$

$$\cos \varphi = \frac{g}{y}; \quad \varphi = \operatorname{arctg} \frac{b}{g}. \quad (2.57)$$

Белгісін есепке алып φ табу үшін, tg және \sin формуласын колдану керек.

Мысалы. Өсерлік кірме тоғының мәнін табуымыз керек, қатар жүрген тармақтағы токтар белгісі (2.16 а-сурет):

$$I_1 = 3 \text{ A}; I_2 = 1 \text{ A}; I_3 = 5 \text{ A}.$$



2.16-cypet

Есебін Кирхгофтың бірінші заңы бойынша табамыз:

$$\underline{I} = \underline{I}_1 + \underline{I}_2 + \underline{I}_3$$

Осыған сәйкес векторлы диаграмма жасаймыз.

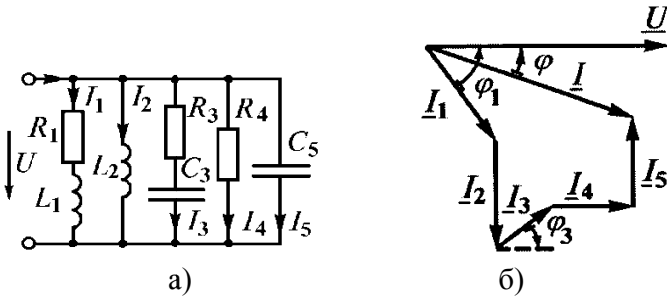
Үш тоқ қосындысы \underline{L} -вектор \underline{U} -ға қатысты алынған (2.16 б-сурет) диаграммасынан берілген мәні бойынша тоқты табамыз:

$$I = \sqrt{I_1^2 + (I_2 - I_3)^2} = \sqrt{3^2 + (1-5)^2} = 5A.$$

Мысалы: (2.17 а-сүреттегі) сұлбада берілген:

$$I = 10 A, R_1 = 6 \Omega, X_{L1} = 8 \Omega, X_{L2} = 10 \Omega, R_3 = 16 \Omega, \\ X_{C3} = 12 \Omega, R_4 = 20 \Omega, X_{C5} = 20 \Omega.$$

Көрек көзінің кернеуін тауып, векторлы диаграмма жасау керек.



2.17-сүрет

Есебі. (2.53) және (2.55) формулалар бойынша схемадағы бастапқы өткізгіштілікті табамыз.

$$g_1 = \frac{R_1}{R_1^2 + X_{L1}^2} = \frac{6}{6^2 + 8^2} = 0,06 \text{ Cm};$$

$$b_1 = \frac{X_{L1}}{R_1^2 + X_{L1}^2} = \frac{8}{6^2 + 8^2} = 0,08 \text{ Cm};$$

$$g_2 = 0; b_2 = \frac{1}{X_{L2}} = \frac{1}{10} = 0,1 \text{ Cm};$$

$$b_3 = -\frac{X_{C3}}{R_3^2 + X_{C3}^2} = -\frac{12}{12^2 + 16^2} = -0,03 \text{ Cm};$$

$$g_4 = \frac{1}{R_4} = \frac{1}{20} = 0,05 \text{ Cm}; b_4 = 0; g_5 = 0;$$

$$b_5 = -\frac{1}{X_{C5}} = -\frac{1}{20} = -0,05 \text{ Cm}$$

Барлық тізбектің активті және реактивті өткізгіштілігі:

$$g = g_1 + g_2 + g_3 = 0,06 + 0,04 + 0,05 = 0,15 \text{ Cm};$$

$$b = b_1 + b_2 + b_3 + b_5 = 0,08 + 0,1 - 0,03 - 0,05 = 0,1 \text{ Cm}$$

Көрек көзінің кернеуі:

$$U = \frac{I}{y} = \frac{I}{\sqrt{g^2 + b^2}} = \frac{10}{\sqrt{0,15^2 + 0,1^2}} = 61 B$$

Кирхгофтың бірінші заны бойынша векторлы диаграмма жасаймыз

$$\underline{I} = \underline{I}_1 + \underline{I}_2 + \underline{I}_3 + \underline{I}_4 + \underline{I}_5$$

Бірінші тармақтағы тоқ векторы, кернеу векторынан φ_1 бұрышына қалады

$$\varphi_1 = \arctg \frac{X_{L1}}{R_1}.$$

Екінші тармақтағы тоқ векторы кернеу векторынан 90° бұрышқа қалады, себебі тармаққа тек катушка қосылған.

Үшінші тармақтағы тоқ векторы кернеу векторынан φ_3 бұрышқа озады:

$$\varphi_3 = -\arctg \frac{X_{C3}}{R_3}$$

Төртінші тармақтағы тоқ векторы фаза бойынша кернеу векторына тұра келеді, ал бесінші тармақтағы тоқ векторы кернеу векторынан 90° бұрышқа озады.

2.3.6. Синусоидалды тоқ тізбегінің қуаты

Кейбір элементтердің R , L , C энергетикалық арақатынасы өткен тақырыпта қаралды. Электр тізбегінің бір бөлігін қарайық, бұл жерде кернеу $u = U_m \sin \omega t$, ал тоқ $i = I_m \sin(\omega t - \varphi)$

Лездік қуатты табамыз:

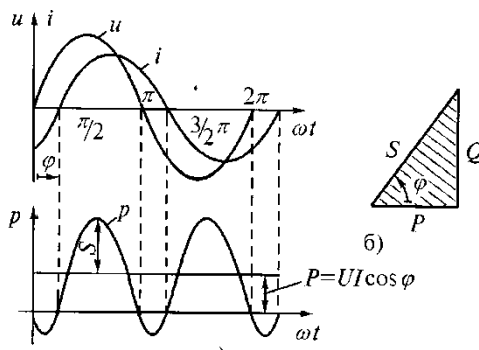
$$p = ui = U_m I_m \sin \omega t \sin(\omega t - \varphi) = UI[\cos \varphi - \cos(2\omega t - \varphi)]$$

Шығарылған тендеудің екі құрамасы бар, түрақты және синусоидалды, тоқ және кедергі жиілігімен салыстырғанда, екі есе жиілігі бар. Тоқ, кернеу және қуаттың лездік мәндері, тізбектің индуктивті түрінде ($\varphi > 0$) 2.18 а-суретте көрсетілген.

У мен і бірдей белгісі бар аралық үақытында лездік қуат он болса, энергия қорек көзінен қабылдағышқа түседі, резистор пайдаланады және катушканың магнит қрісінде корланады.

У мен і түрлі белгісі бар аралық үақытында, лездік қуат теріс болса, энергия қабылдағыштан жартылай қорек көзіне оралады. Қабылдағышқа түсетін активті қуат, сол кезеңдегі лездік қуаттың орташа мәніне тең.

$$P = \frac{1}{T} \int_0^T pdt = UI \cos \varphi \quad (2.58)$$



2.18-сурет

Cos φ көбейтіндісі қуат коэффиценті деп аталады. (2.58) формуласынан көруге болады, активті қуат кедергі мен тоқ әсерлік мәнін қуат коэффицентіне көбейтумен тең. φ бұрышы негұрлым нөлге жақын болса, $\cos \varphi$ бірге жақын болады, сондыктан кернеу мен тоқтың берілген мәнінен көп активті қуат қорек көзінен жүктемеге беріледі.

Активті қуат формуласын бұрынғы арақатынастарды есепке ала отырып, былай жазуға болады:

$$P = UI \cos \varphi = UI_a = U_a I = I^2 R = gU^2, Bm. \quad (2.59)$$

Тізбек кірмесіндегі тоқ пен кернеудің әсерлік мәнінің көбейтіндісі **толық қуат** деп аталады вольт-ампер мен (ВА) өлшенеді:

$$S = UI \quad (2.60)$$

Кестеа түрінде, толық қуат лездік қуаттың орташа қуатқа қатысты амплитудасының тербелісін сипаттайты. (2.18-сурет). Толық қуат, электр қондырылардың (трансформатор, генератор, т.б.) есепті қуаты болады, оларға номиналды түрде көрсетіледі, мысалы, генератордың номиналды (толық) қуаты ең көп активті қуатына тең, $\cos\varphi=1$ болғанда табуға болады. Бірақ көп тұтынушыларға $\cos\varphi < 1$ қажет. Сондықтан кернеу мен тоқтың номиналды мәнінде, қорек көзінің энергетикалық мүмкіндігі толық пайдаланылмайды, себебі $P < S_{\text{ном}}$. Электр тізбегі есебінде және электр жабдықтарын пайдалануда **реактивті қуат** түсінігі қолданылады, ол мына формуламен есептеледі:

$$Q = UI \sin \varphi, \text{Var.} \quad (2.61)$$

Реактивті қуат генератор мен қабылдағыш аралығында ауысатын энергияны сипаттайты. Ол қуаттың ең үлкен мәнімен анықталады, реактивті элементтері бар тізбек бөлігінде:

$$Q = U_p I = I^2 X = U^2 b = I_p U$$

Тізбектегі реактивті қуат он немесе теріс болуы мүмкін φ бұрыш белгісіне байланысты. Кірме кедергінің ($\varphi > 0$) индуктивті түрінде реактивті қуат он болады, ал сыйымдылық түрінде ($\varphi < 0$) теріс болады.

(2.59...2.61) формулаларды салыстыра отырып, активті, реактивті және толық қуаттардың арақатынасын көрсетуге болады:

$$\begin{aligned} S^2 &= U^2 I^2 = (UI \cos\varphi)^2 + (UI \sin\varphi)^2 = P^2 + Q^2; \\ S &= \sqrt{P^2 + Q^2}. \end{aligned} \quad (2.62)$$

(2.62) формуласы арақатынасын, қуаттың тікбұрышты үшбұрыш түрінде көрсетейік (2.18 б-сурет), ол кернеу үшбұрышын тоқ қабыргаларына көбейту арқылы табылады. Қуат

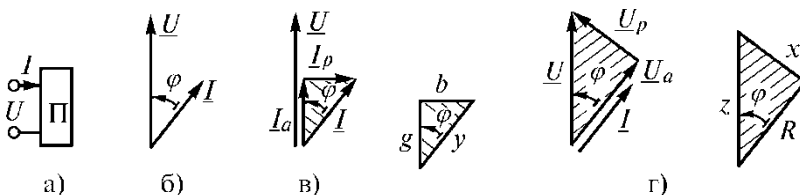
ұшбұрышынан есептегендегі кеңінен қолданылатын арақатынас бар:

$$Q = \sqrt{S^2 - P^2}; \quad \operatorname{tg}\varphi = \frac{Q}{P}; \quad \cos\varphi = \frac{P}{S}. \quad (2.63)$$

Қабылдағыштың пайдаланатын активті қуаты теріс болмайды, себебі барлық уақыт $\cos\varphi > 0$ яғни тізбек шығысында $-90^\circ \leq \varphi \leq 90^\circ$. Активті қуат жасалған жұмысты немесе бір уақытта берілетін энергияны көрсетеді.

2.3.7. Синусоидалды тоқты сыйықты электр тізбегіндегі түрлендіру

Кірме кедергісі мен пассивті екіүшты өткізгіштілік аралығындағы байланысты қарастырайық (2.19 а-сурет) Екіүшты кірме кедергісі дегеніміз – кірме кернеудің кірістегі тоққа арақатынасы, кірме өткізгіштілік – кері арақатынасы.



2.19-сурет

$\varphi > 0$ деп, векторлы диаграмма түрғызамыз (2.19 б-сурет). Тоқ векторы мен проекциясы арқылы тоқ ұшбұрышын түрғызамыз (2.19 в-сурет) ал кернеу векторы мен оның активті және реактивті құрамасы бойынша кернеу ұшбұрышын (2.19 г-сурет) және осыларға сәйкес кедергі мен өткізгіштілік ұшбұрышын түрғызамыз.

Тізбек кірмесіндегі тоқ пен кернеудің әсерліктері мәнін Ом заны бойынша екі түрде жазуға болады:

$$I = U_y \text{ немесе } I = \frac{U}{Z}$$

Сондықтан, толық кедергі мен толық өткізгіштілік арасында байланыс бар:

$$y = \frac{1}{Z} \quad (2.64)$$

Откізгіштілік үшбұрыш пен кедергі үшбұрышынан, бір режімге сәйкес мынаны көреміз:

$$\cos \varphi = \frac{g}{y}; \quad \cos \varphi = \frac{R}{z}$$

Бұдан $gZ = Ry$, (2.64) теңдеуін есепке ала отырып, табамыз:

$$g = \frac{R}{Z^2} = \frac{R}{R^2 + X^2}; \quad R = \frac{g}{g^2 + b^2} \quad (2.65)$$

Реактивті параметр аралығындағы байланысты $\sin \varphi$ арқылы табамыз:

$$\sin \varphi = \frac{b}{y}; \quad \sin \varphi = \frac{X}{z}$$

Сонда $bZ = Xy$ (2.64) формуласын есепке ала отырып табамыз:

$$b = \frac{X}{Z^2} = \frac{X}{R^2 + X^2}; \quad R = \frac{b}{y^2} = \frac{b}{g^2 + b^2} \quad (2.66)$$

(2.65, 2.66) формулалар арақатынасы бойынша энергияның бір қорек көзімен, тізбектеліп және қатар қосылған элементті тізбекті табуға болады.

2.3.8. Тұрлендіру әдісінен тармақталған айнымалы тоқ тізбегін есептеу

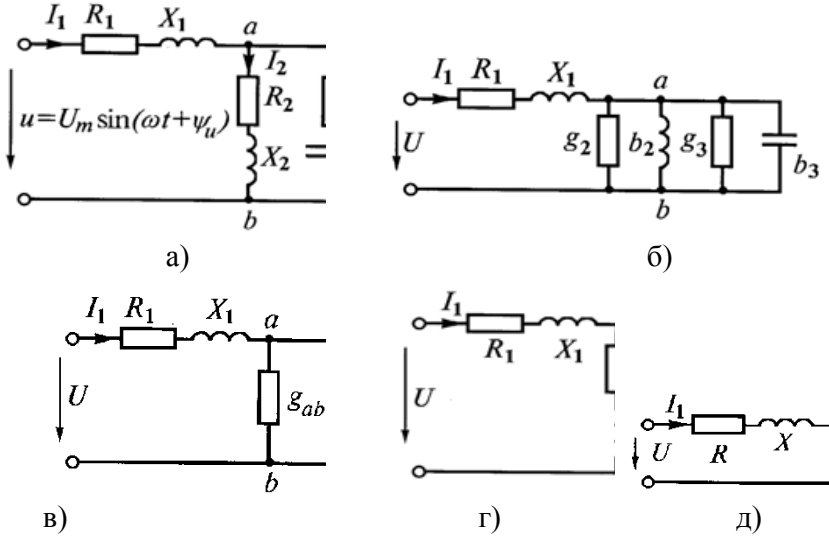
Әдісті (2.20 а-суреттегі) схема бойынша карстырайық, мұнда барлық тармақтағы тоқты табуымыз керек, егер де кернеудің қорек көзі мен тізбек параметрлары белгілі болса, тоқ пен кернеудің векторлы диаграммасын салу.

Екінші және үшінші тармақтағы қатар жалғасқан қажет откізгіштіктерді (2.65, 2.66) формулалар бойынша тұрлендіреміз (2.20-б-сурет)

$$g_2 = \frac{R_2}{R_2^2 + X_2^2}; \quad g_3 = \frac{R_3}{R_3^2 + X_3^2};$$

$$b_2 = \frac{X_2}{R_2^2 + X_2^2}; \quad b_3 = \frac{X_3}{R_3^2 + X_3^2}.$$

Біртекті қатар жалғанған өткізгіштерді қосамыз (2.20 в-сурет)



2.20-сурет

Реактивті өткізгішліктің белгісі индуктивтілерге оң болады, ал сыйымдылықтарға – теріс болады. Қаралатын мысалда $b_{ab} > 0$ дейміз. b_{ab} , g_{ab} параметрлары қатар сұлбаны, эквиваленті бірізді R_{ab} , X_{ab} сұлбаға түрлендіреміз (2.20 г-сурет) формула бойынша:

$$R_{ab} = \frac{g_{ab}}{g_{ab}^2 + b_{ab}^2}; \quad X_{ab} = \frac{b_{ab}}{g_{ab}^2 + b_{ab}^2};$$

$$Z_{ab} = \sqrt{R_{ab}^2 + X_{ab}^2}.$$

Біртекес кедергілерді коссак 2.20 д-суреттегі сұлба шығады:

$$R = R_1 + R_{ab}; \quad X = X_1 + X_{ab}; \quad Z = \sqrt{R^2 + X^2}.$$

Тоқтың әсерлік мәнін табамыз:

$$I_1 = \frac{U}{z}; I_2 = \frac{U_{ab}}{z_2}; I_3 = \frac{U_{ab}}{z_3},$$

мұнда $U_{ab} = I_1 Z_{ab}$.

Тоқ пен кернеу векторлары арасындағы сәйкес фазалардың ығысызы:

$$\begin{aligned}\varphi &= \operatorname{arctg} \frac{X}{R}; \quad \varphi_2 = \operatorname{arctg} \frac{X_2}{R_2}; \quad \varphi_3 = \operatorname{arctg} \frac{X_3}{R_3}; \\ \varphi_{ab} &= \operatorname{arctg} \frac{X_{ab}}{R_{ab}}.\end{aligned}$$

Лездік тоқ мәні:

$$\begin{aligned}u_{ab} &= U_{ab} \sqrt{2} \sin(\omega t + \psi_{u_{ab}}) = U_{ab} \sqrt{2} \sin(\omega t + \psi_{i1} + \varphi_{ab}); \\ i_1 &= I_1 \sqrt{2} \sin(\omega t + \psi_{i1}) = I_1 \sqrt{2} \sin(\omega t + \psi_u - \varphi); \\ i_2 &= I_2 \sqrt{2} \sin(\omega t + \psi_{u_{ab}} - \varphi_2); \\ i_3 &= I_3 \sqrt{2} \sin(\omega t + \psi_{u_{ab}} - \varphi_3).\end{aligned}$$

Берілген тізбек векторлы диаграммасын салу үшін, кернеу мен тоқ векторларының әсерлік мәніне Кирхгофтың заны бойынша теңдеу жүйесін жазамыз:

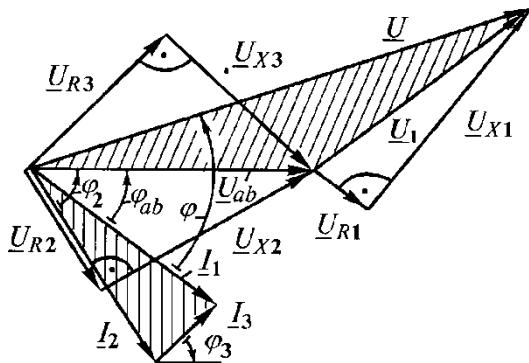
$$\begin{aligned}\underline{I}_1 &= \underline{I}_2 + \underline{I}_3; \quad \underline{U} = \underline{U}_1 + \underline{U}_{ab}; \quad \underline{U}_1 = \underline{U}_{R1} + \underline{U}_{X1}; \\ \underline{U}_{ab} &= \underline{U}_{R2} + \underline{U}_{X2}; \quad \underline{U}_{ab} = \underline{U}_{R3} + \underline{U}_{X3}. \quad (2.67)\end{aligned}$$

Диаграмма түркізғанда \underline{U}_{ab} вектордан бастаймыз, ол екі қатар тармаққа ортақ. Бұл векторды өз еркімізben, координаты жүйеден тыс бағыттаймыз.

Екінші тармақ активті-индуктивті, сондықтан \underline{I}_2 тоқ векторы фаза бойынша \underline{U}_{ab} -дан $\varphi_2 > 0$ бұрышына қалады. Үшінші тармақ активті-сыйымдылықты, вектор \underline{I}_3 фаза бойынша \underline{U}_{ab} кернеу векторынан $\varphi_3 < 0$ бұрышына озады. \underline{I}_2 соынан шығатын \underline{I}_3

тұрғызы үшін φ_3 бұрышын вектор I_3 пен U_{ab} кернеу векторына қатар тұзу сызық арасынан есептейді. Вектор I_1 тоқтың қатар жүрген векторлардың геометриялық қосындысы болады.

$I_1 = I_2 + I_3$. Табылған тоқтың көпбұрыш, көрнекті болу үшін штрихталған (2.21-сурет)



2.21-сурет

Табылған I_1 кернеу векторы U_1 саламыз, екі қосындыдан тұратын:

U_{R1} және U_{X1} векторы фаза бойынша тоқ векторы I_1 бірдей, ал катушкадағы кернеу векторы U_{X1} тоқ векторынан 90° озады.

Кернеу көпбұрышы (2.67), теңдеу жүйесімен сәйкес салынған, көрнекті болу үшін (2.21-суретте) штрихталған. Енді U_{ab} кернеу құрамасын көрсетейік. Екінші тармақ жағынан, активті R_2 кернеу мен индуктивті X_2 кедергі қосындысы болады. Осы векторларды салу үшін U_{ab} векторды I_2 тоқ векторы бағыттап жобалаймыз (табамыз U_{R2}), ал оны перпендикулярлы бағытында U_{X2} табамыз. Үшінші тармаққа U_{R3} және U_{X3} векторларын саламыз. Тұрғызылған диаграмма электр тізбегінің жұмыс режимі туралы толық мәлімет береді.

Қорытындысына кейбір кепілдеме келтірейік, олардың атқарылуы, диаграмма тұрғызудың системалық әдісінің орындалуын тудырады:

1) Берілген тізбектің векторлы диаграммасы Кирхгоф теңдеуінің кестеаралық суреті болады.

2) Векторлардың қосуын паралелограм ережесімен емес, векторлы көпбұрыш ережесімен жасау керек, бұл векторлардың қайталануын талап ететін қосымша салуды жояды.

3) Диаграмма салуды, схеманың бірнеше элементіне ортақ болатын U немесе I вектордан бастау керек. Бастапқы векторға қатысты сәйкес бұрыштың ығысуын білсе, бірнеше жалғас векторларды салуға болады.

Векторлы диаграмма салу үдерісі тоқка байланысты, бастапқы вектордың сәтті алынғанына байланысты. Векторлы диаграмманы дербес салу үдерісінде қате жібермеу үшін анық айқындау керек. Бұл тоқ пен кернеудің әртүрлі элементе және электр тізбегінің бөлігінде қалай болатынан туындаиды.

2.4. Синусоидалды тоқ тізбегін есептеудің кешенді әдісі

Синусоидалды тоқ тізбегін есептеудің кешенді әдісі практика жүзінде кеңінен таралған. Әдіс маңызы мынада, синусоидалды тоқ, кернеу және ЭҚҚ ЭҚҚ кешенді сандармен бейнеленген, ал векторларды геометриялық операциясы алгебралық операциясымен кешенді сандармен алмастырылады.

Бұл әдіс синусоидалды тоқ тізбегін алгебралық есептеуіге жағдай туғызады, тұрақты тоқ тізбегіне ұқсас.

2.4.1. Кешенді жазықтықтағы синусоидалды шамаларды векторлы суреттеу

Айналып тұрған векторды, синусоидалды функцияны көрсететін перпендикулярлы ось жүйесінде кешенді жазықтықта орнатуға болады:

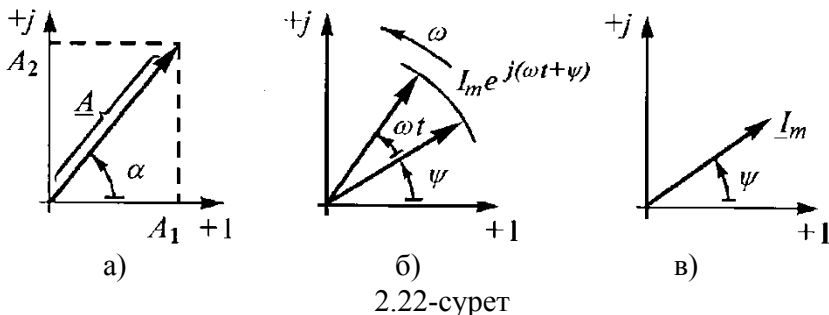
x -нақты бөлік,

y -нақты сандар осі

Кешенді жазықтықтағы остиң оң бағыты индекспен белгіленеді:

+1-нақты сандар осі,

+ j жорамал сандар осі, мұнда $j = \sqrt{-1}$ -жорамал (мнимая) шамасы (2.22-сурет)



Кешенді жазықтағы координат нүктесі сол нүктедегі радиус векторымен анықталады, яғни вектор бастамасы координат бастамасымен тұра келеді, ал аяғындағы нүкте берілген кешенді санға сәйкес келеді (2.22 а-сурет). Жазу формасы былай көрсетіледі:

$$A = Ae^{j\alpha}, \quad (2.68)$$

A - модуль

α - аргумент немесе фаза, ось+1 деңсағат тіліне карсы есептелеці.

Эйлер формуласын қолдана отырып, кешенді сандардың тригонометриялық және сәйкес алгебралық жазу формасын табуға болады:

$$A = A \cos \alpha + jA \sin \alpha = A_1 + jA_2$$

мұнда $A_1 = A \cos \alpha$; $A_2 = A \sin \alpha$.

Сонымен $A = \sqrt{A_1^2 + A_2^2}$; $\alpha = \operatorname{arctg} \frac{A_2}{A_1}$.

(2.68) теңдеуде A -ны I_m -ге ауыстырсақ, α -ны $(\omega t + \psi)$ -ге ауыстырсақ, кешенді тоқ табамыз:

$$i = I_m e^{j(\omega t + \psi)} \quad (2.69)$$

Бұл теңдеу i функциясының кешенді бейнеленуі, **тоқтың лездегі мәнінің кешені** деп аталады. Кешендер өз әріптермен олардың анық түрнұсқасы сияқты, тек сзығы төмен қарай белгіленеді. Кешеннің лездік мәні i модулі, синусоидалды тоқ I_m амплитудасына тең, ал айнымалы аргументі $(\omega t + \psi)$ суреттегі синусоида аргументі болады (2.22 б-сурет). (2.69) теңдеу тригонометриялық формада:

$$\underline{i} = I_m e^{j(\omega t + \psi)} = I_m \cos(\omega t + \psi) + jI_m \sin(\omega t + \psi)$$

Тұрнұска функциясын табуға болады:

$$i = I_m \sin(\omega t + \psi) = \text{Im}[\underline{i}] = \text{Im}[I_m e^{j(\omega t + \psi)}] \quad (2.70)$$

Тоқтың лездік мәні, кешен тоғының лездік мәнінің кілтиме (мнимай) бөлігіне тең. (2.69) формуласын былай көрсетуге болады:

$$\underline{i} = I_m e^{j(\omega t + \psi)} = I_m e^{j\psi} e^{j\omega t} = \underline{I}_m e^{j\omega t}$$

Бұл жерде $\underline{I}_m = I_m e^{j\psi}$ басқа символ, амплитуда мәнінің кешені деп аталады. Ал вектор бағыты мен Кешенді жазығы +1 осінің арасындағы бұрыш бастапқы фазасы ψ -ге тең (2.22 в-сурет).

(2.22 в-суреттегі) көрініс **әрекеттегі мәнінің кешені** деп аталады.

$$\underline{I} = \frac{\underline{I}_m}{\sqrt{2}} = \frac{I_m}{\sqrt{2}} e^{j\psi} = I e^{j\psi}$$

1-мысалы: Егерде тоқ пен кернеудің лездік мәндері мына теңдеулермен берілсе, олардың кешендік әсерлік мәндері былай жазылады:

$$u = 282 \sin(314t - 120^\circ), B; i = 20 \sin(314t - 60^\circ), A.$$

Есептелеуі: Кернеудің әсерлік мәні $U = \frac{U_m}{\sqrt{2}} = 200 B$, бастапқы

фазасы $\psi_u = -120^\circ$. Берілген мәндері бойынша, кернеудің әсерлік мәнінің кешені:

$$\underline{U} = U e^{j\psi_u} = 200 e^{-j120^\circ}$$

Ток $I = \frac{I_m}{\sqrt{2}} = 14,1 A$, бастапқы фазасы $\psi_i = -60^\circ$, ток кешені

$$\underline{I} = I e^{j\psi_i} = 14,1 e^{-j60^\circ}$$

2-мысалы: Кернеудің әсерлік мәнінің кешенді $\underline{U} = -120 + j160$ В, оның лездік мәнін жазу керек.

Есептелеуі: алгебралық формадан көрсеткіш түріне өтеміз:

$$\underline{U} = U e^{j\psi} = 200 e^{j127^\circ}, B,$$

$$\text{Бұнда } U = \sqrt{120^2 + 160^2} = 200 B; \quad \psi = 180^\circ - \arctg \frac{160}{120} = 127^\circ.$$

Кешен, кешенді жазықтықтың екінші ширегінде болады.

$$\text{Онда кернеудің лездік мәні } u = 200\sqrt{2} \sin(\omega t + 127^\circ), B.$$

Корытынды қаралып жатқан сұрақтың келесі теңдеулерін менгеру керек:

$$j = \sqrt{-1}; \quad j^2 = -1; \quad j^3 = -j \dots$$

$$e^{j90^\circ} = \cos 90^\circ + j \sin 90^\circ = j;$$

$$e^{-j90^\circ} = \cos 90^\circ - j \sin 90^\circ = -j.$$

Ескерейік, оператор j көбейткенде, вектордың 90° сағат тіліне қарсы бұрылғанын, ал $-j$ -ге көбейткенде, вектордың 90° сағат тілімен тұра бұрылғанын көрсетеді.

2.4.2. Кешенді түрдегі Ом және Кирхгоф заңдары

Синусоидалды ток тізбегінің кешенді әдіс есебінің негізі, лездік дифференциалды мәнінің теңдеуінен алгебралық теңдеуге көшу, ток пен кернеу кешендерінен құралған. Мысалы, (2.23) суреттен лездік мәндерінің теңдеуі, Кирхгофтың екінші заңы бойынша былай болады:

$$u_R + u_L + u_C = e$$

немесе

$$iR + L \frac{di}{dt} + \frac{1}{C} \int i dt = e, \quad (2.71)$$

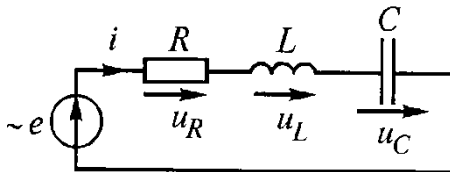
Мұнда

$$i = I_m \sin(\omega t + \psi_i); \quad (2.72)$$

$$u_R = RI_m \sin(\omega t + \psi_i); \quad (2.73)$$

$$u_L = \omega LI_m \sin(\omega t + \psi_i + 90^\circ); \quad (2.74)$$

$$u_C = \frac{1}{\omega C} I_m \sin(\omega t + \psi_i - 90^\circ). \quad (2.75)$$



2.23-сурет

Кернеудің лездік мәнін жазғанда, U_R кернеуі фаза бойынша тоқпен тұра бір бағытта болады, U_2 кернеуі тоқтан 90° озады, ал U_C тоқтаң 90° қалады (2.71...2.75) тендеулерді кешенді түрде жазайық:

$$\underline{I}_m = I_m e^{j\Psi_i}; \quad (2.76)$$

$$\underline{U}_{Rm} = I_m R e^{j\Psi_i} = R \underline{I}_m; \quad (2.77)$$

$$\underline{U}_{Lm} = \omega L I_m e^{j(\Psi_i + 90^\circ)} = \omega L I_m e^{j\Psi_i} e^{j90^\circ} = j\omega L \underline{I}_m; \quad (2.78)$$

$$\begin{aligned} \underline{U}_{Cm} &= \frac{1}{\omega C} I_m e^{j(\Psi_i - 90^\circ)} = \frac{1}{\omega C} I_m e^{j\Psi_i} e^{-j90^\circ} = \\ &- j \frac{1}{\omega C} I_m = \frac{1}{j\omega C} I_m. \end{aligned} \quad (2.79)$$

u_L және u_C лездегі мәндері тендеулермен \underline{U}_{Lm} , \underline{U}_{Cm} кешенді амплитудаларымен салыстыра отырып, синусоидалды туынды мен интегралды функциялардан олардың кешенді бейне шамаларына көшү ережелерін жасауға болады. Дифференциалдау $j\omega$ көбейтумен алмасады, ал интегралдау осы функцияның jw кешеніне бөлінеді.

(2.71) арақатынасы

$$\underline{U}_{Rm} + \underline{U}_{Lm} + \underline{U}_{Cm} = \underline{E}_m \quad (2.80)$$

Кирхгофтың екінші заңы бойынша, кешенді формадағы тендеуді көрсетеді. Әсерлік мәндері үшін:

$\underline{U}_R + \underline{U}_L + \underline{U}_C = \underline{E}$ (2.77.....2.79) тендеулерді (2.80) тендеуге қоямыз:

$$R\underline{I}_m + j\omega L\underline{I}_m - j\frac{1}{\omega C}\underline{I}_m = \underline{U}_m$$

Осы тендеуден $\underline{I}_m = \frac{\underline{U}_m}{R + j\left(\omega L - \frac{1}{\omega C}\right)} = \frac{\underline{U}_m}{\underline{Z}}$. (2.81)

Табылған арақатынас **кешенді формадағы Ом заңы** деп аталағы. Кернеу кешенінің ток кешеніне қатынасы, тізбектің толық кедергі кешені деп аталағы:

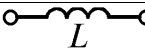
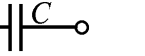
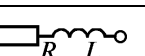
$$\underline{Z} = \frac{\underline{U}_m}{\underline{I}} = \frac{\underline{U}}{\underline{I}} = \frac{Ue^{j\Psi_u}}{Ie^{j\Psi_i}} = Ze^{j\varphi} \quad (2.82)$$

Кешенді кедергі модулі, толық кедергі $Z = \frac{U}{I}$ тең, оның аргументі бұрышының ығыстырыу - φ фазасына тең.

Кешенді кедергі алгебралық формада, мынадай болады:

$$\underline{Z} = Z \cos \varphi + jZ \sin \varphi = R + jX \quad (2.83)$$

Сондықтан активті кедергі нақты бөлігі болады, ал реактивті кедергі тізбектің жорамал бөлігі болады. Дербес жағдайдағы (2.83) формуулалар 2.1-кестеде берілген:

Электр тізбегінің бөлімі	Кешенді кедергі
	$\underline{Z} = R$
	$\underline{Z} = j\omega L = jX_L = X_L e^{j90^\circ}$
	$\underline{Z} = -j \frac{1}{\omega C} = -jX_C = X_C e^{-j90^\circ}$
	$\underline{Z} = R + jX_L = R + j\omega L$
	$\underline{Z} = R - jX_C = R - j \frac{1}{\omega C}$

Толық кедергінің кешеніне көрі берілген шама толық өткізгіштілік кешені деп аталады:

$$Y = 1/Z. \quad (2,84)$$

Y -толық, q -активті; b -реактивті тізбек өткізгіштіліктері. Синусондалды тоқ тізбегіне Кирхгоф заңы осылайша тұжырымдалады, тұрақты тоқ тізбегіндегідей, тек тоқ пен кернеуғана кешенді мәніне. Кирхгофтың бірінші заңы: түйіндегі Кешендік тоқтардың алгебралық қосындысы нөлге тең.

$$\sum_{k=1}^n I_k = 0 \quad (2,85)$$

Кирхгоф екінші заңы: Электр тізбегінің тұйықты контурындағы кешенді ЭҚҚ алгебралық қосындысы сол контурдың барлық пассивті элементіндегі Кешенді кернеудің алгебралық қосындысына тең.

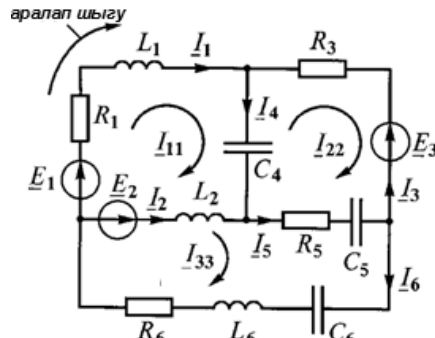
$$\sum_{k=1}^n E_k = \sum_{k=1}^n I_k Z_k \quad (2,86)$$

2.24-суреттегі сұлбаға Кирхгоф теңдеу жүйесін жасайық, тоқтармақтары мен контур айналысын оң бағытта деп аламыз:

$$\begin{aligned} I_1 + I_3 - I_4 &= 0; \quad I_2 + I_4 - I_5 = 0; \quad I_6 - I_1 - I_2 = 0; \\ I_1 R_1 + j\omega L_1 I_1 - j \frac{I_4}{\omega C_4} - j\omega L_2 I_2 &= E_1 - E_2; \\ j \frac{1}{\omega C_4} I_4 - I_3 R_3 + j \frac{1}{\omega C_5} I_5 - I_5 R_5 &= -E_3; \\ j\omega L_2 I_2 + I_5 R_5 - j \frac{1}{\omega C_5} I_5 - j \frac{1}{\omega C_6} I_6 + j\omega L_6 I_6 + I_6 R_6 &= E_2. \end{aligned}$$

Сонымен, тұрақты тоқ құрделі тізбегі есебі әдісінің барлық параметрлерін кешенді түрде елеестетсек, Ом және Кирхгор замдарымен негізделген (контурлы тоқтар, түйіндік әлеуеттер,

эквивалентті генератор, өзгерісі, т.б), синусоидалды тоқ тізбектерін есептеуге қолдануға болады.



2.24-сурет

2.4.3 Кешенді түрдегі қуаттар

Жоғарыда толық, активті және реактивті қуаттарды анықтайтын формулаларды көрсеттік:

$$S = UI; P = UI \cos \varphi; Q = UI \sin \varphi.$$

Кешенді кернеу мен тоқтан, реактивті және активті қуаттарды табатын оңай әдісті қарастырайық. Ол үшін кешенді кернеуді карсы тоқ кешеніне көбейтеміз:

$$\begin{aligned} S &= \underline{UI}^* = U e^{j\Psi_u} I e^{-j\Psi_i} = U I e^{j(\Psi_u - \Psi_i)} = U I e^{j\varphi} = S e^{j\varphi} = \\ &= U I \cos \varphi + j U I \sin \varphi = P + j Q \end{aligned} \quad (2.87)$$

(Карсы I дегеніміз Ψ_i -дің орнына Ψ -ты аламыз) оны I деп белгілейді.

S тендеуін кешендік толық қуат деп атайды. (2.87) тендеуден көрге болады: кешен қуатының затты бөлігі активті қуатқа, ал кілтиме бөлігі реактивті қуатқа тен:

$$P = \operatorname{Re} \underline{UI}^* = \operatorname{Re} \underline{S}; Q = \operatorname{Im} \underline{UI}^* = \operatorname{Im} \underline{S}. \quad (2.88)$$

Мысалы: егер де тоқ пен кернеу лездегі мәндері тендеулермен мына түрде берілсе, активті, реактивті және толық қуатты табу керек:

$$u = 141 \sin (314 t + 60^\circ) \text{ В}; \quad i = 7,07 \sin (314 t + 30^\circ) \text{ А.}$$

Есептелуі: тоқ пен кернеудің әсерлік мәнінің кешенін жазайық

$$\underline{U} = \frac{141}{\sqrt{2}} e^{j60^\circ} = 100e^{j60^\circ}, \text{ В}; \quad \underline{I} = \frac{7,07}{\sqrt{2}} e^{j30^\circ} = 5e^{j30^\circ}, \text{ А.}$$

Толық қуат кешені

$$\begin{aligned} \underline{S} &= \underline{U} \underline{I}^* = 100e^{j60^\circ} \cdot 5e^{-j30^\circ} = 500e^{j30^\circ} = 500 \cos 30^\circ + \\ &\quad + j500 \sin 30^\circ = 433 + j250, \text{ ВА.} \end{aligned}$$

Сонымен, $S = 500 \text{ ВА}$, $P = 433 \text{ Вм}$, $Q = 250 \text{ Варп}$.

2.4.4 Қуат тенгерімі. Қуаттың ваттметрмен өлшенуі

Энергияның сақталу заңынан активті қуат тенгерімі барлық тізбекте сақталыныу керек; активті қуат қорек көзінен берілетін, барлық қабылдағыштардың активті қуаттарына тең:

$$\sum_{k=1}^m P_{ki} = \sum_{k=1}^n I_k^2 R_k = \sum_{k=1}^n P_k, \quad (2.89)$$

m -қорек көздерінің сандары;

n -энергия қабылдағыштар саны;

Берілетін реактивті қуат жиыны, катушка мен конденсатордың қабылдайтын реактивті қуат жиынына тең:

$$\sum_{k=1}^m Q_{ki} = \sum_{k=1}^n I_k^2 X_k.$$

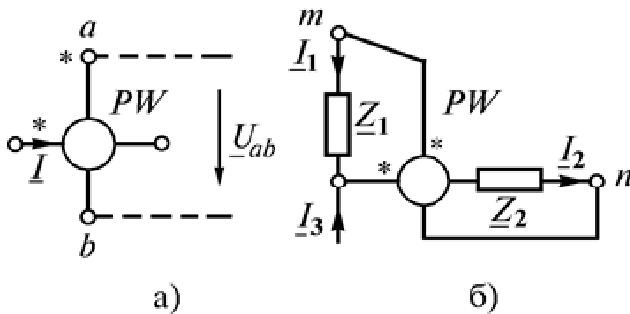
Кешенді қуат тенгерімі:

$$\sum_{k=1}^m S_{ki} = \sum_{k=1}^n S_k. \quad (2.90)$$

Кешенді параметрлер қосындылары тәп-тең болғанмен, модульдер қосындысы тең болмауға тиіс. Сондықтан толық тенгерімі S сақталмауы мүмкін:

$$\sum_{k=1}^m S_{ki} \neq \sum_{k=1}^n S_k.$$

Активті қуат ваттметрмен өлшемеді, оның 2-орамасы бар 1 ток және кернеу орамалары. 2.25 б-суреттегі сұлбада ваттметр төрт қысқышы бар шеңбер түрінде көрсетілген. Қысқыштың бір жұбы тізбектей катушкаға жалғанады, (тоқтың) ал екінші жұбы қатар катушкаға жалғанады (кернеу).



2.25-сурет

Бір жұпты қысқыш (мысалы, катушка басында) жүлдyz нүктесімен белгіленеді. Ваттметр солай орналасқан, оның көрсеткіші пропорционалды

$$P = U_{ab} I \cos(\overbrace{U_{ab}; I}),$$

U_{ab} , I - әсерлік кернеу мен тоқ, ваттметрге қосылған, ал аргументі, векторлар арасындағы фаза бұрышының ығысуының косинусына тең. Қатарланған катушка кернеуі, қысқыш аралық әлеуеттің айырымына тең, (а) жүлдзызымен және жүлдyz белгісі жоқ (в) қысқышпен белгіленген. I тоғы жалғасқан орама қысқышқа кіреді, жүлдзызben белгіленген. Ваттметр көрсеткішін формула бойыншада есептеуге болады:

$$P = \operatorname{Re} \left[\underline{U}_{ab} \underline{I}^* \right].$$

Ваттметр бөлігінің бағасы: $\underline{P} = \frac{\underline{U}_{\text{ном}} \underline{I}_{\text{ном}}}{N}$, Вм/дел,

N -шәкіл бөлігінің саны.

Мысалы: 2.25 б-суреттегі сұлбаның ваттметр көрсеткішін анықтайық, егерде:

$$\underline{I}_1 = 10e^{j37^\circ}, A; \underline{I}_3 = 8e^{-j15^\circ}, A; \underline{Z}_1 = 2 \Omega; \underline{Z}_2 = 1,8e^{-j44^\circ} \Omega.$$

Есебі: Ваттметрден өтетін ток:

$$\underline{I}_2 = \underline{I}_1 + \underline{I}_3 = 8e^{-j15^\circ} + 10e^{j37^\circ} = 16,2e^{j14^\circ}, A.$$

Ваттметрдің қатарласқан катушка кернеуі:

$$\begin{aligned} \underline{U}_{mn} &= \underline{I}_1 \underline{Z}_1 + \underline{I}_2 \underline{Z}_2 = 10e^{j37^\circ} \cdot 2 + 16,2e^{j14^\circ} \cdot 1,8e^{-j44^\circ} = \\ &= 41 - j2,5 = 41e^{-j3,5^\circ}, B. \end{aligned}$$

Ваттметр көрсеткіші:

$$\begin{aligned} P &= \operatorname{Re} \left| \underline{U}_{mn} \underline{I}_2 \right|^* = \operatorname{Re} \left| 41e^{-j3,5^\circ} \cdot 16,2e^{-j14^\circ} \right| = \operatorname{Re} \left| 665e^{-j17,5^\circ} \right| = \\ &= 665 \cos 17,5^\circ = 634 \text{ А} \delta. \end{aligned}$$

2.4.5 Кешенді әдіспен синусоидалды ток тізбегін есептеу

Тұрақты және синусоидалды ток тізбектер есебінің ортақтық әдісіне қарамай, синусоидалды ток тізбегінің есебі қыйындау және өз ерекшеліктері бар. Тізбек есебінің ерекшелігін кешенді әдіс бойынша нақты мысалда көрсетейік.

Тармақталмаған тізбек есебі. Кернеудін топографиялық векторлы диаграммасы. 2.26 а-сурет бойынша, тізбек есебін жасаймыз, кешенді кедергілері $\underline{Z}_1, \underline{Z}_2, \underline{Z}_3$ бірізді жалғасып қосылған. Корек көзінің кернеуі мен қабылдағыш параметрлері берілген деп есептейміз.

Тізбектегі толық кедергі кешені:

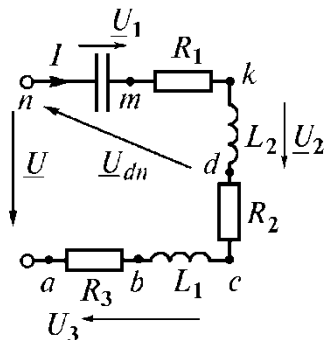
$$\underline{Z} = \underline{Z}_1 + \underline{Z}_2 + \underline{Z}_3 = R_1 - jX_{C1} + R_2 + jX_{L2} + R_3 + jX_{L3} = \\ R + jX = Ze^{j\varphi},$$

бұнда: $R = R_1 + R_2 + R_3; X = -X_{C1} + X_{L2} + X_{L3};$

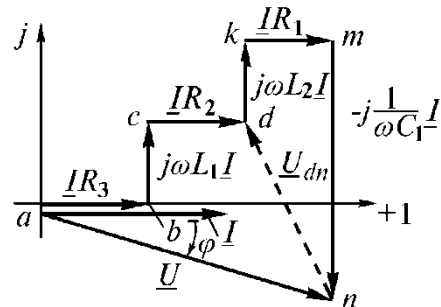
$$\varphi = \arctg \frac{X}{R}.$$

Тізбек саласында Ом заңы бойынша тоқ пен кернеу кешені:

$$\underline{I} = \frac{\underline{U}}{\underline{Z}}; \underline{U}_1 = \underline{I}\underline{Z}_1 = \underline{I}(R_1 - jX_{C1}); \\ \underline{U}_2 = \underline{I}\underline{Z}_2 = \underline{I}(R_2 + jX_{L2}); \underline{U}_3 = \underline{I}\underline{Z}_3 = \underline{I}(R_3 + jX_{L3}).$$



a)



б)

2.26-сурет

$$\text{Қуаттар: } \underline{S} = \underline{U} \underline{I}^* = P + jQ = \underline{S}_1 + \underline{S}_2 + \underline{S}_3 = \underline{U}_1 \underline{I}^* + \underline{U}_2 \underline{I}^* + \underline{U}_3 \underline{I}^*;$$

$$P = \operatorname{Re}[\underline{S}] = \sum_{k=1}^n I^2 R_k = \sum_{k=1}^n P_k = P_1 + P_2 + P_3;$$

$$Q = \operatorname{Im}[\underline{S}] = \sum_{k=1}^n I^2 X_k = \sum_{k=1}^n Q_k = Q_2 + Q_3 - Q_1.$$

2.26 б-суретті кесте түрінде көрсету үшін тізбекте кернеудің векторлы диаграммасы берілген. Бұл векторлы диаграммада, кез-келген векторды жазықтықтың кез-келген жеріне өзіне қатарластырып жылжытуға болады. Кирхгофтың екінші заңын векторлы түрде қарасақ, векторларды бір нүктеден шығарып

немесе біріне бірін жалғастырып салуға болады. Кернеудің топографиялық векторлы диаграммасы деп кернеу векторларының бір-біріне қосылуы тізбек элементтерінің қосылуына тең векторлы диаграмманы айтады. Бұл жағдайда, кернеу векторлы диаграммасы топологиясы, тізбек топологиясымен бірдей, векторлы диаграммадағы векторлар қосылған нүктесі тізбектегі тендерескен элементтердің бір бірімен қосылған нүктесіне сәйкес болады.

Кернеудің векторлы диаграмма қағидатын кешенді жазықтықтағы векторлы диаграммасының әлеуетті өрісімен сәйкес келген кезде қарастыруға болады. Тізбектегі әр нүктесі қосылған жерінде, кешенді электр әлеуетімен сипатталады. Мысалы: (2.26 а-сурет) сұлбасында а нүктесі полюс дейік: $\underline{\varphi}_a = 0$

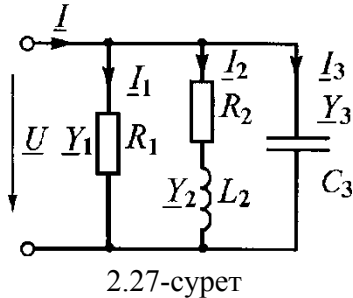
(2.26 б-суретте) кешенді жазықтықта a, b, c, d, k, m, n нүктелерді белгілейік, кординаттары сұлбадағы сәйкес нүктелер әлеуетімен анықталады:

$$\begin{aligned}\underline{\varphi}_b &= \underline{\varphi}_a + \underline{IR}_3; & \underline{\varphi}_c &= \underline{\varphi}_b + j\omega L_3 \underline{I}; & \underline{\varphi}_d &= \underline{\varphi}_c + \underline{IR}_2; \\ \underline{\varphi}_k &= \underline{\varphi}_d + j\omega L_2 \underline{I}; & \underline{\varphi}_m &= \underline{\varphi}_k + \underline{IR}_1; & \underline{\varphi}_n &= \underline{\varphi}_m - j \frac{1}{\omega C} \underline{I}.\end{aligned}$$

(2.26 б-сурет) нақты саны бар осіне тоқ векторын жүргіземіз. Диаграммадағы кернеу векторларын салу тәртібі, сұлбадағы тізбек элементтерінің қосылу тәртібіне сәйкес болу керек. Кернеу векторының соны кейінгі элементтегі, алдағы элементтегі кернеу векторының басына қосылады.

Топографиялық диаграммадан тізбектің кез келген нүктесінде арасындағы кернеудің оңай табуға болады. Ол үшін топографиялық диаграммадағы сәйкес нүктелерді тіке сыйықпен қосу бағытын көрсету керек. Мысалы, (2.26 б-суретте) \underline{U}_{dn} кернеу векторы, d және n нүктесінде тіке сыйықпен берілген, бағыты n нен d -ға қарай. Егерде, схемада \underline{U}_{dn} кернеудің d нүктеден, электр тізбегінің n нүктесіне бағытталса, топографиялық диаграммада сол кернеудің n нүктесінен d нүктесіне бағытталған вектор ретінде көрсетеді.

Қатар қосылған қабылдағыштар тізбегін есептеу.



2.27-сурет

Бірнеше тармақтар қатар қосылса, мысалы, үшеуі $\underline{Y}_1, \underline{Y}_2, \underline{Y}_3$ өткізгіштілігімен (2.27-сурет) тізбек кірмесіндегі барлық тоқ, бөлек тармақтар тоғының жиынына тең. Кернеуді барлық участкеде бірдей деп санаса, жазуға болады:

$$\underline{I} = \underline{I}_1 + \underline{I}_2 + \underline{I}_3 = \underline{Y}_1 \underline{U} + \underline{Y}_2 \underline{U} + \underline{Y}_3 \underline{U} = \underline{U} (\underline{Y}_1 + \underline{Y}_2 + \underline{Y}_3) = \underline{U} \underline{Y}.$$

Сондықтан, барлық тізбектің қатар қосылғандагы кешенді өткізгіштігі, тізбектің әр участкесінің кешенді өткізгіштілігінің алгебралық жиынына тең:

$$\underline{Y} = \underline{Y}_1 + \underline{Y}_2 + \underline{Y}_3 = \frac{1}{R_1} + \frac{1}{R_2 + j\omega L_2} + j\omega C_3.$$

Барлық тізбектің кешенді өткізгіштілігін тауып, берілген \underline{U} кернеу болса кешенді I тоғын есептеу оңай.

Тізбектің эквивалентті немесе толық кедергісі мына формуламен табылады:

$$\underline{Z} = \frac{\underline{Z}_1 \underline{Z}_2 \underline{Z}_3}{\underline{Z}_1 \underline{Z}_2 + \underline{Z}_1 \underline{Z}_3 + \underline{Z}_2 \underline{Z}_3}.$$

Екі қатар тармақтарда $\underline{Z} = \frac{\underline{Z}_1 \underline{Z}_2}{\underline{Z}_1 + \underline{Z}_2}$.

Қатар тармақтардағы тоқтар:

$$\underline{I}_1 = I \frac{\underline{Z}_2}{\underline{Z}_1 + \underline{Z}_2}; \quad \underline{I}_2 = I \frac{\underline{Z}_1}{\underline{Z}_1 + \underline{Z}_2},$$

Екі қатар тармақтың біреуінің тоғы тоқ қосындысына тең, келесі тармақ кедергісіне көбейтілген және екі тармақтар кедергілерінің қосындысына бөлінген.

Тізбектің кешенді қуаты барлық тармақтың кешенді қуаттарының қосындыларына тең:

$$\underline{S} = \underline{U}\underline{I}^* = \underline{S}_1 + \underline{S}_2 + \underline{S}_3 = \underline{U}\underline{I}_1^* + \underline{U}\underline{I}_2^* + \underline{U}\underline{I}_3^* = P + jQ,$$

Бұнда активті және реактивті қуаттар:

$$P = I_1^2 R_1 + I_2^2 R_2; Q = I_2^2 X_{L1} - I_3^2 X_{C3}.$$

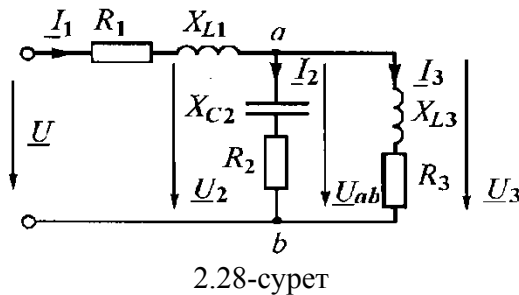
Қабылдағыштардың аралас қосылған тізбегін есептеу.

Синусоидалды тоқ тізбегінің аралас қосылуында толық кедергінің есептелуі, тұрақты тоқ тізбегіндегімен бірдей: алдымен – қатар қосылған тармақтар эквиваленті кедергісі есептеледі, одан кейін, қатар тармақтарды эквиваленті кедергі элементімен ауыстырығасын, тізбектеліп қосылған кедергісін табамыз. Мысал ретінде (2.28-суреттегі) сұлбаны қарастырайық. Екі қатар тармақтың кешенді эквиваленті кедергісін табамыз, *a* және *b* түйіндер арасына қосылған:

$$\underline{Z}_{ab} = \frac{\underline{Z}_2 \underline{Z}_3}{\underline{Z}_2 + \underline{Z}_3} = Z_{ab} e^{j\varphi_{ab}} = R_{ab} + jX_{ab},$$

$\underline{Z}_2 = R_2 - jX_{C2}$; $\underline{Z}_3 = R_3 + jX_{L2}$ - қатарласқан тармақтардың кешенді кедергілері.

Барлық тізбектердің толық кедергі кешені: $\underline{Z} = \underline{Z}_1 + \underline{Z}_{ab}$, $\underline{Z}_1 = R_1 + jX_{L1}$



Тізбектің ажырамаған бөлігіндегі кешенді тоқ пен *ab* бөліміндегі кешенді кернеу:

$$\underline{I}_1 = \frac{\underline{U}}{\underline{Z}}; \underline{U}_{ab} = \underline{U}_2 = \underline{U}_3 = \underline{I}_1 \underline{Z}_{ab}; \underline{U}_1 = \underline{Z}_1 \underline{I}_1.$$

Ом занын пайдаланып, қатарлас тармақтардың кешенді тоқтар табамыз:

$$\underline{I}_2 = \frac{\underline{U}_{ab}}{\underline{Z}_2}; \underline{I}_3 = \frac{\underline{U}_{ab}}{\underline{Z}_3}.$$

Барлық тізбектердің кешенді толық қуаты барлық тармақтардың кешенді қуаттарының косындыларына тең:

$$\underline{S} = \underline{U} \underline{I}_1^* = \underline{S}_1 + \underline{S}_2 + \underline{S}_3 = \underline{U}_1 \underline{I}_1^* + \underline{U}_{ab} \underline{I}_2^* + \underline{U}_{ab} \underline{I}_3^*,$$

Бұнда активті және реактивті қуаттар

$$P = P_1 + P_2 + P_3 = I_1^2 R_1 + I_2^2 R_2 + I_3^2 R_3;$$

$$Q = Q_1 + Q_2 + Q_3 = I_1^2 X_{L1} - I_2^2 X_{C2} + I_3^2 X_{L3}.$$

Тізбекті түйінді кернеу әдісімен есептеу.

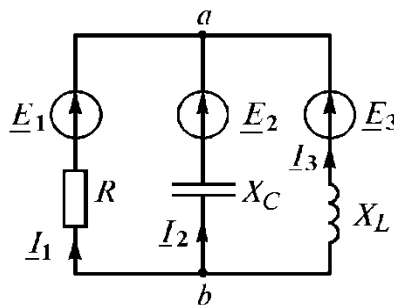
Түйінді кернеу әдісі, екі түйіні бар сұлбаны есептеуге қолданылады, тұрақты тоқ тізбегіне пайдаланғандай, тек есебі кешенді түрде жасалады:

Мысалы: (2.29-сурет) Электр тізбегінде тармақтар тоғын табу керек, егер де $\underline{E}_1 = 120 B$; $\underline{E}_2 = 120e^{j120^\circ} B$; $\underline{E}_3 = 120e^{j240^\circ} B$;

$$R = X_L = X_C = 10 \Omega.$$

Есебі: тармақтардың кешенді өткізгіштілігін табамыз:

$$\underline{Y}_1 = \frac{1}{R} = 0,1 \text{ Sm}; \underline{Y}_2 = \frac{1}{-jX_C} = j \cdot 0,1 \text{ Sm}; \underline{Y}_3 = \frac{1}{jX_L} = -j \cdot 0,1 \text{ Sm}.$$



2.29-сурет

Сосын, екі түйінше арасындағы кешенді кернеуді табамыз:

$$\begin{aligned}\underline{U}_{ab} &= \frac{\underline{E}_1 \underline{Y}_1 + \underline{E}_2 \underline{Y}_2 + \underline{E}_3 \underline{Y}_3}{\underline{Y}_1 + \underline{Y}_2 + \underline{Y}_3} = \\ &= \frac{120 \cdot 0,1 + 120 e^{-j120^\circ} j \cdot 0,1 + 120 e^{-j240^\circ} (-j \cdot 0,1)}{0,1 + j \cdot 0,1 - j \cdot 0,1} = 328 \text{ } B.\end{aligned}$$

Ом заңы бойынша тармақтар тоғы:

$$\begin{aligned}\underline{I}_1 &= (\underline{E}_1 - \underline{U}_{ab}) \underline{Y}_1 = (120 - 328) \cdot 0,1 = -20,8 \text{ } A; \\ \underline{I}_2 &= (-\underline{E}_2 + \underline{U}_{ab}) \underline{Y}_2 = \left(-120 e^{-j120^\circ} + 328 \right) \cdot j \cdot 0,1 = 40 e^{j105^\circ} \text{ } A; \\ \underline{I}_3 &= (\underline{E}_3 - \underline{U}_{ab}) \underline{Y}_3 = \left(120 e^{-j240^\circ} - 328 \right) \cdot (-j \cdot 0,1) = 40 e^{j75^\circ} \text{ } A.\end{aligned}$$

Тізбекті контурлы тоқ әдісімен есептеу.

2.24-суреттегі тізбекті мысалға алайық. Тендеу құрмасстан бұрын контурлы тоқтарды \underline{I}_{11} , \underline{I}_{22} , \underline{I}_{33} көрсетейік және тармақтар кедергілерін кешенді түрде берейік:

$$\underline{Z}_1 = R_1 + j\omega L_1; \underline{Z}_2 = j\omega L_2; \underline{Z}_3 = R_3; \underline{Z}_4 = -j \frac{1}{\omega C_4};$$

$$\underline{Z}_5 = R_5 - j \frac{1}{\omega C_5}; \underline{Z}_6 = R_6 + j\omega L_6 - j \frac{1}{\omega C_6}.$$

Тізбекте, үш тәуелсіз контурлар бар, контурлы тоқтар әдісімен олардың тендеу жүйелерінің түрлері былай:

$$\underline{I}_{11}(\underline{Z}_1 + \underline{Z}_2 + \underline{Z}_4) - \underline{I}_{22}\underline{Z}_4 - \underline{I}_{33}\underline{Z}_2 = \underline{E}_1 - \underline{E}_2;$$

$$-\underline{I}_{11}\underline{Z}_4 + \underline{I}_{22}(\underline{Z}_3 + \underline{Z}_4 + \underline{Z}_5) - \underline{I}_{33}\underline{Z}_5 = -\underline{E}_3;$$

$$-\underline{I}_{11}\underline{Z}_2 - \underline{I}_{22}\underline{Z}_5 + \underline{I}_{33}(\underline{Z}_2 + \underline{Z}_5 + \underline{Z}_6) = \underline{E}_2.$$

Тармақтардағы әсерлік тоғы, контурлы тоқтардың алгебралық қосындысы арқылы табылады:

$$\underline{I}_1 = \underline{I}_{11}; \underline{I}_2 = \underline{I}_{33} - \underline{I}_{11}; \underline{I}_3 = -\underline{I}_{22};$$

$$\underline{I}_4 = \underline{I}_{11} - \underline{I}_{22}; \underline{I}_5 = \underline{I}_{33} - \underline{I}_{22}; \underline{I}_6 = \underline{I}_{33}.$$

Кирхгоф тендеу және қуат теңгерімі арқылы, есептің дәлмелділігін тексереді. Еске сақтау керек, өткізгіштік пен қуат

кешенді кедергілерінің әрекеттегі саласы бойынша теріс болмайды. (R, g , P - әр уақытта оң болады). Сондықтан кешенді шамасы Z , \underline{Y} , \underline{S} $-90^\circ < \alpha < 90^\circ$ болады.

Күрделі тармақталған тізбектің тиімді есептеу әдісін таңдау, сұлба ерекшелігі мен қойылған мақсатқа байланысты. Тұрақты тоқ тізбегіне қолданылған есептеу әдістері синусоидалды тоқ тізбегіне де жарайды.

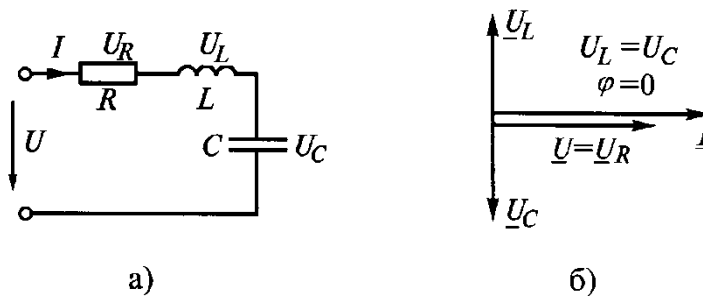
2.5 Электр тізбегіндегі резонанс

Резонанс дегеніміз пассивті электр тізбегінің режимі, индуктивті катушка мен конденсаторы бар тізбектің кірме реактивті кедергісі немесе кірме реактивті өткізгіштігі нөлге тең. Резонанста тізбектегі кірме тоқ фаза бойынша кернеумен бір бағытта келеді. Резонансты құбылыстар, электр және радиотехника автоматталаған құрылғыларда телемеханика, байланыс, өлшем техникаларында кеңінен қолданылады.

2.5.1 Кернеу резонансы

Тізбектеліп жалғасқан резистор, катушка және конденсаторды қарастырайық (2.30 а-сурет). Резонанс кезінде кедергінің индуктивтілік құраушысы, сыйымдылық құраушы кедергісіне өтем жасайды. Реактивті кедергі мен реактивті қуат, тізбек кірмесінде нөлге тең:

$$X = X_L - X_C = 0; X_L = X_C; \omega L = \frac{1}{\omega C}. \quad (2.91)$$



2.30-сурет

$X_L = X_C$ болғанда, катушка мен конденсатор кернеулері фаза бойынша қарама-қарсы болса да, тең болады, сондықтан, қаралатын тізбекте **кернеу резонансы** пайда болады. (2.91) тендеуде кернеу резонансы, оны қорек көзінің кернеу жиілігін немесе катушка индуктивтігін және конденсатор сыйымдығын өзгертіп табуға болатынын көрсетеді. Тізбекте резонанс болатын кездегі, бұрыштың жиілігі, резонансты бұрыштық жиілігі деп аталады.

$$\omega_0 = \frac{1}{\sqrt{LC}}. \quad (2.92)$$

Тізбек толық кедергісі, резонанс кезінде активті кедергіге тең және ең аз мәнді болады:

$$Z = \sqrt{R^2 + (X_L - X_C)^2} = R.$$

Бірақ тізбектегі тоқ мәні ең үлкен болады

$$I = \frac{U}{Z} = \frac{U}{R}.$$

Резистордағы кернеу қорек көзінің кернеуіне тең. $U_R = IR = U$

Резонанс кезіндегі индуктивті немесе сыйымдылық кедергілер, резонанс контурының **сипаттамалық (толқынды) кедергісі** деп аталады:

$$\rho = \omega_0 L = \frac{1}{\omega_0 C} = \sqrt{\frac{L}{C}}. \quad (2.93)$$

$\rho >> R$ реактивті элементтегі кернеу кірмедегі кернеуден неғұрлым көп болады. Резонанс кезіндегі, катушка мен конденсатор кернеуінің, қорек көзінің кернеуіне қатынасы контур сапалығы деп аталады:

$$Q = \frac{U_L}{U} = \frac{U_C}{U} = \frac{\omega_0 L}{R} = \frac{\rho}{R}. \quad (2.94)$$

Бұл өлшемсіз параметр. Ол резонанс кезіндегі реактивті элементтер кернеуінің кірмедегіден неше есе көп екенін көрсетеді.

Параметр d , контур сапалығына көрісінше, контур сөнген деп аталады.

$$d = \frac{1}{Q} = \frac{R}{\omega_0 L} = \frac{R}{\rho}. \quad (2.95)$$

Резонанс кезіндегі энергетикалық қарым-қатынастың да өз ерекшеліктері бар. Контурдағы тоқ $i = I_m \sin \omega_0 t$ болсын, онда конденсатордағы кернеу $u_C = U_{cm} \sin(\omega_0 t - 90^\circ) = -U_{cm} \cos \omega_0 t$ болады.

Электр және магнит өрісітері қосындысы энергиясы:

$$\begin{aligned} W &= \frac{Li^2}{2} + \frac{Cu_C^2}{2} = \frac{LI_m^2}{2} \sin^2 \omega_0 t + \frac{CU_{cm}^2}{2} \cos^2 \omega_0 t = \\ &= \frac{LI_m^2}{2} + \frac{CU_{cm}^2}{2} = \text{const}; \\ \text{Ал: } &\frac{CU_{cm}^2}{2} = \frac{LI_m^2}{2}. \end{aligned} \quad (2.96)$$

Сондықтан магнит және электр өрістерінің барлық энергиясы уақыт өткен сайын өзгермейді. Электр өрісінің энергиясы азайса, магнитті өріс энергиясы өседі және керісінше. Конденсатор мен катушка арасында толығымен энергия ауысады. Қорек көзінің энергиясы, тізбекті коректендіретін, катушка мен конденсатордың активті кедергісінің жоғалтуын жабады. Қорек көзінен тізбекке түсетін энергия, көрінген уақытта толығымен жылуға айналады. Сондықтан қорек көзіндегі барлық тізбек активті кедергіге эквивалентті.

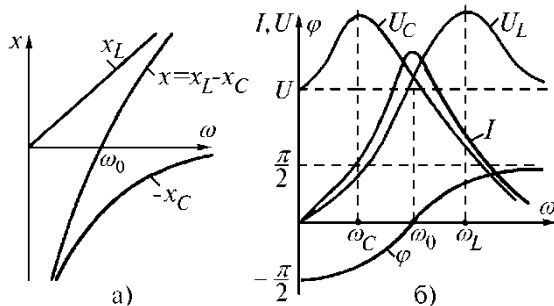
2.5.2 Тізбектелген контурдың жиілік сипаттамалары

2.30 а-суреттегі тізбекке синусоидалды кернеу берілген, амплитудасы өзгермейді, ал жиілігі ω $0 \dots \infty$ шамаға өзгереді. Жиіліктің өзгеруі тізбек параметрлерін өзгертеді:

$$X_L = \omega L; \quad X_C = \frac{1}{\omega C}; \quad X = X_L - X_C; \quad Z = \sqrt{R^2 + (X_L - X_C)^2}.$$

Бұл жағдайда, индуктивті және сыйымдылық кедергілері өзгереді, онымен бірге, реактивті мен толық кедергілер және фаза φ ығысу бұрышы да өзгереді. (2.31 а-суретте) X_L, X_C, X жиілікке байланысты кестелері көрсетілген, ол тізбектің жиілік

сипаттамасы деп аталады. Егер, $\omega = 0$ болса, тізбектегі кернеу өзгермейді, сондықтан тоқ жоқ болады.



2.31-сурет

Жиілік 0 ден ω_0 -ге дейін өзгерсе реактивті кедергіде сыйымдылық сипаттама болады және ол $-\infty$ ден 0-ге дейін өзгереді. Сол себептен, тоқ нөлден ең көп $U/R \max$ мәніне өседі, ал кернеу мен тоқ векторлары аралығындағы фазаның ығысу бұрышы -90° тан 0-ге дейін өзгереді.

$$I = \frac{U}{Z} = \frac{U}{\sqrt{R^2 + \left(\omega L - \frac{1}{\omega C}\right)^2}}; U_L = \omega L I; U_C = \frac{I}{\omega C}.$$

Жиілік ω_0 -ден ∞ -ке дейін өзгерсе, қорытынды реактивті кедергі нөлден шексізге дейін өседі де, индуктивті сипаттамада болады. Осы себептен, тоқ ең үлкен мәнінен нөлге дейін азаяды, ал бұрыш φ нөлден 90° дейін өседі. $\omega=0$ болғанда, катушка кернеуі нөлге тең, тоқ тез азайғанша ω өсуіне қарай өседі көбейеді. Бұдан кейін U_L қорек көзінің кернеуі U дейін тез азаяды. Конденсатор кернеуі U_C , $\omega=0$ болса, қорек көзінің кернеуі U -га тең, тоқ көбейгенше өседі, содан кейін U_C нөлге дейін азаяды.

(2.31 б-суретте) тоқ пен кернеудің өсерлік мәндері жиілікке байланысты, резонансты қисық деп аталады. Қисықтардан, U_C пен U_L кернеулігінің ең үлкен мәндері, жиілік резонансқа тең болмаған кезінде U_L үлкен мәнінің жиілік $\omega_L > \omega_0$ болатыны, U_C үлкен мәні $\omega_C < \omega_0$ болатыны көрініп түр.

$\frac{dU_L}{d\omega} = 0$; $\frac{dU_C}{d\omega} = 0$; тендеулерден, U_C пен U_L кернеулердің ең үлкен мәндері болатын жиіліктерді табуға болады:

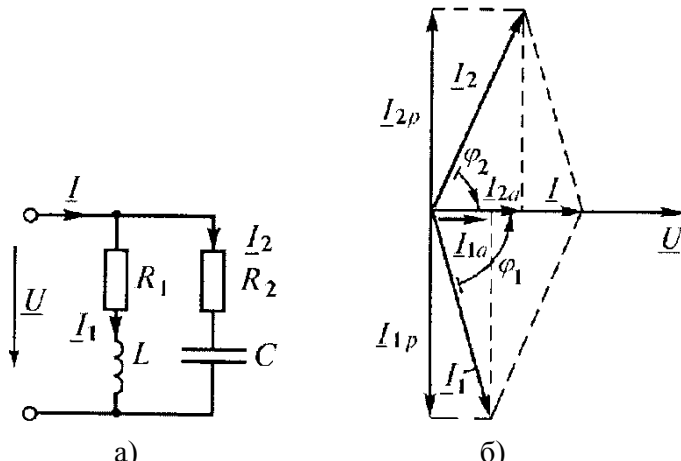
$$\omega_L = \omega_0 \sqrt{\frac{2}{2-d^2}}; \quad \omega_C = \omega_0 \sqrt{\frac{2-d^2}{2}}. \quad (2.97)$$

Тоқтың жиілікке қатысты кестесінен көруге болады, қаралып жатқан тізбектің таңдаулы қасиеттері бар. Тізбек тоққа ең аз кедергімен иемделген, жиілігі резонансқа жақын. Тізбектің таңдаулы қасиеттері электрбайланысы мен радиотехникада кеңінен қолданылады. Тізбекті резонанс режимінде пайдаланады. Кейбір жағдайда, электр тізбегінде резонанс құбылысы ескерілмесе, қолайсыз жағдайларға әкеліп соғады, оның ішінде оқшауламаға қауіпті асқын кернеу әкеліп соғуы мүмкін.

2.5.3 Тоқ резонансы

2.32.а-суреттен екі қатарлас тармағы бар сұлбаны қарастырайық, біріншісінде – резистор мен конденсаторы бар, екіншісінде - резистор мен катушкасы бар. Егер де жалпы тоқ I , фаза бойынша кернеуге сәйкес болса, ал кірме реактивті өткізгіштілік тізбекте резонанс құбылысы болуы мүмкін

$$b = b_C - b_L = 0 \text{ тең болса, немесе } b_L = b_C. \quad (2.98)$$



2.32-сурет

Егер $b_L = b_C$ болса, тоқтардың фаза бойынша қарама-қарсы реактивті құрамалары тең болса (2.32 б-сурет), оны тізбек резонансы, тоқ резонансы деп атайды.

Векторлы диаграммадан, резонанс кезінде тоқ I фаза бойынша кернеумен сәйкес келетіні, тармақтағы тоқтан аз болатыны көрінпіл түр.

(2.98) теңдеуге b_L мен b_C мәнін қойып, тізбек пен жиілік параметрлері арқылы мынаны табамыз:

$$\frac{\omega L}{R_1^2 + \omega^2 L^2} = \frac{1}{\frac{\omega C}{R_2^2 + \frac{1}{\omega^2 C^2}}}. \quad (2.99)$$

Тоқ резонансын тоқ тармақтарын R_1, R_2, L, C немесе ω жиілігін өзгертіп табуға болады. Төрт берілген параметрлер мен бесіншісін (2.99) теңдеуден тапқанда, жиілік кешенді немесе жорамал болуы мүмкін. Мұндай параметрлер сәйкестігінде, тоқ резонансы болмайтынын дәлелдейді.

(2.99) теңдеуді есептеп, ω жиілікке қатысты резонанстық жиілікті табамыз:

$$\omega_0 = \frac{1}{\sqrt{LC}} \sqrt{\frac{R_1^2 - \frac{L}{C}}{R_2^2 - \frac{L}{C}}}. \quad (2.100)$$

Егер де түбір астындағы бөлшек (2.100) теңдеуде, оң белгі болса, резонанс құбылысы пайда болады себебі жиілік жорамал санмен көрсетілмейді. Резонансты жиілік, бірізді жалғас контурының резонансты жиілігімен тең болады, егер де:

$$R_1 = R_2; \omega_0 = \frac{1}{\sqrt{LC}}.$$

$$R_1 = R_2 = \sqrt{\frac{L}{C}} \quad \text{резонансты жиілік түсініксіз түрде } \omega_0 = \frac{0}{0}$$

болса, бұл кез-келген жиілікте тізбекте резонанс болатынын көрсетеді. Бұл кезде тізбектің кірме кедегісі активті жиілікке бағынышты емес.

$$\underline{Z} = \frac{\underline{Z}_1 \underline{Z}_2}{\underline{Z}_1 + \underline{Z}_2} = \frac{(R + j\omega L) \left(R - j \frac{1}{\omega C} \right)}{R + j\omega L + R - j \frac{1}{\omega C}} = R$$

Мінсіз жағдайда $R_1 = R_2 = 0$, тізбек кірме кедергісі резонанс кезінде ұлкен, ал тоқ нөлге тең, яғни энергия қорек көзінен контурға түспейді.

Ал катушка мен конденсатор арасында энергиялары ауысады.

Электржабдықтау жүйесінің құрылғыларының тоқ резонансы $\cos\varphi$ мәнін жоғарылату үшін қолданылады, ол үшін индуктивті жүктемеге қатарлас конденсаторлар батареясын қосу керек.

2.5.4. Синусоидалды тоқ тізбегінде куат коэффициентін жоғарылату

Қазіргі электр энергиясының тұтынушыларының көбі индуктивті кедергілер, тоғы, фаза бойынша қорек көзінің кернеуінен қалады. Бұндай тұтынушылардың активті қуаты, тоқ пен кернеудің берілген мәндері $\cos\varphi$ -ке бағынышты:

$$P = UI \cos\varphi; I = \frac{P}{U \cos\varphi}.$$

Сондықтан қуат коэффициентің $\cos\varphi$ көбейтсе тоқ азаяды.

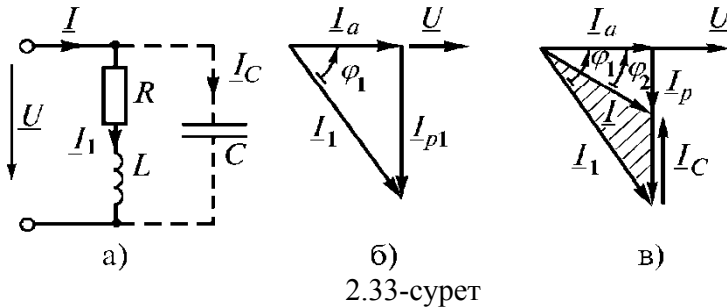
Осылайша, тұтынушы $\cos\varphi$ көп болса, қуат жойылуы азаяды, электр энергиясы арзандайды. Қуат коэффициенті, қорек көзінің номиналды қуатының қалай пайдаланылатынын көрсетеді. 1000 кВт қабылдағышты, $\cos\varphi=0,5$ тең қоректендіру үшін, генератор қуаты осындай болу керек:

$$S = \frac{P}{\cos\varphi} = \frac{1000}{0,5} = 2000 \text{ kVA},$$

Ал $\cos\varphi = 1$ $S = 1000 \text{ kVA}$.

Демек, $\cos\varphi$ өсуі, генератор қуатының пайдалануын өсіреді.

Энергетика қондырғыларының тиімділігін өсіру үшін, $\cos\varphi$ -ті өсіру керек; индуктивті жүктемеге параллель қосылған конденсатор батареясы қолданылады. (2.33 а-сурет)



Конденсатор сыйымдылығы, $\cos \varphi$ -ті берілген $\cos \varphi_1$ мәнінен, керекті $\cos \varphi_2$ өсіруге қажет. (2.33 б, в-суреттегі) диаграммадан табуға болады. Векторлы диаграмма жасағанда, бастапқы вектор ретінде берілген кернеу векторы алынады. Егерде, жүктеме индуктивті болса, ток вектор I_1 кернеу векторынан $\varphi 1$ бұрышқа қалады. I_a тоғының активті құрамасы, бағыты бойынша кернеумен теңеседі, I_{p1} тоғының реактивті құрамасы 90° қалады. (2.33 б-суреті.). Тұтынушыға конденсатор батареясы С қоссак, I тоғы векторлар I_1 мен I_C геометриялық сомасы ретінде табылады. Сыйымдылық ток I_C . векторы, кернеу векторынан 90° озады (2.33 в-сурет). Векторлы диаграммадан көрінеді. $\varphi 2 < \varphi 1$, яғни конденсаторды қосқаннан кейін, қуат коэффициенті $\cos \varphi 1$ -ден $\cos \varphi 2$ дейін өседі. Конденсатордың керекті сыйымдылығын токтық векторлы диаграммасы арқылы табуға болады (2.33 в-сурет):

$$I_c = I_{p1} - I_p = I_a \operatorname{tg} \varphi_1 - I_a \operatorname{tg} \varphi_2 = \omega C U$$

$P = UI_a$ деп, конденсатор сыйымдылығын табамыз:

$$C = \frac{I_a}{\omega U} (\operatorname{tg} \varphi_1 - \operatorname{tg} \varphi_2) = \frac{P}{\omega U^2} (\operatorname{tg} \varphi_1 - \operatorname{tg} \varphi_2)$$

Көп жағдайда, қуат коэффициентін 1,0 дейін емес, 0,9...0,95 өсіреді, толық өтем үшін қосымша конденсатор қою керек, бұл тиімсіз.

2.6. Өзара индуктивті электр тізбегі

2.6.1. Жалпы мәлімет

Синусоидалы тоқ тізбегін қарастырғанда өзиндүкция күбілісі есептеледі, яғни ЭКК-ны электр тізбекке бағыттау өзиндүкциясы өзгергенде, осы тізбектегі токпен себептенген. ЭКК-ның контурдың бірінде пайда болуын екіншісінде токтың өзгеруін қарастырайық. ЭКК өзара индукциясымен бағытталған тізбек, индуктивті байланысты тізбек деп аталады. Екі контурды қарастырайық бір-бірінен алыстаған (2.34-сурет) контурлар, тегіс жінішке катушка ω_1 мен ω_2 иірім саны түрінде көрсетілген. Өзіндік индукция ағымды Φ_{1L} ток I , пайда болған, ыдырау ағымы Φ_{1p} екінші контурдан өтетін түрде көрсетілуі мүмкін:

$$\Phi_{1L} = \Phi_{1p} + \Phi_{1p}. \quad (2.102)$$

Осыған сәйкес екінші контурдың өзиндүкция ағымын табамыз:

$$\Phi_{2L} = \Phi_{2p} + \Phi_{12}. \quad (2.103)$$

Φ_{21} мен Φ_{12} ағымдарды, өзара индукция ағымы деп аталады. Оларды екі индекспен белгілейміз: бірінші индекс ағымның қай контурға ілінетінің көрсетеді, екіншісі – осы ағымды пайда қылған тоқ номерін көрсетеді. Мысалы: Φ_{12} ағымы i_1 тоғымен пайда болған бірінші контурға ілінеді. Егеде, өзара индукция ағымының бағыты осы контурдың өзиндүкция ағымының бағыты мен сәйкес келсе, онда контурлар магнитті ағымы мен тоқ бағыттарын келісті дейді. Бағыттары керісінше болса, ағымдардың қарама-қарсы бағыты дейді. Бірінші мен екінші контурдан өтетін ағым қосындысы:

$$\Phi_1 = \Phi_{1L} \pm \Phi_{12}; \quad \Phi_2 = \Phi_{2L} \pm \Phi_{21}, \quad (2.104)$$

+ ағымның келісті бағытына сәйкес;

- қарама-қарсы бағытта;

Бірінші мен екінші контурдың толық ағым жалғасы.

$$\psi_1 = w_1 \Phi_1 = w_1 (\Phi_{1L} \pm \Phi_{12}) = w_1 \Phi_{1L} \pm w_1 \Phi_{12} = L_1 i_1 \pm M_{12} i_2; \quad (2.105)$$

$$\psi_2 = w_2 \Phi_2 = w_2 (\Phi_{2L} \pm \Phi_{21}) = w_2 \Phi_{2L} \pm w_2 \Phi_{21} = L_2 i_2 \pm M_{21} i_1. \quad (2.106)$$

Бір тізбектің өзара индукция ағым жалғасының басқа тізбектегі тоққа қатынасы, өзара индуктивтігі деп аталады:

$$M_{12} = \frac{\psi_{12}}{i_2} = \frac{w_1 \Phi_{12}}{i_2}; \quad M_{21} = \frac{\psi_{21}}{i_1} = \frac{w_2 \Phi_{21}}{i_1}. \quad (2.107)$$

Сызықты электр тізбегінде әр уақытта теңдік болады:

$$M_{12} = M_{21} = M, \quad (2.108)$$

Сондықтан өзара индуктивтік индексін қалдырып кетуге болады. Осы тендеу әділдігін (2.35-суреттегі) сақиналық ферромагнитті емес магнит өткізгіш мысалында көруге болады, көлденен қесінді ауданы S екі катушкасы бар.

Тоқ $i_1 = 0$

$$M_{12} = \frac{\Psi_{12}}{i_2} = \frac{w_1 \Phi_{12}}{i_2} = \frac{w_1 B S w_2}{Hl} = \frac{w_1 w_2 \mu S}{l}, \quad (2.109)$$

B, H – магнитті индукция мен магнит өрісінің кернеуі, тоқ i_2 – мен пайда болған.

($i_1 = 0$)

l -орташа магнитті сызық ұзындығы;

$\mu_a = B/H$ -ортаның абсолютті магнитті өтімділігі;

Тоқ $i_2 = 0$ болса, бірінші мен екінші катушка өзара индуктивтігі

$$M_{21} = \frac{\Psi_{21}}{i_1} = \frac{w_2 \Phi_{21}}{i_1} = \frac{w_2 B S w_1}{Hl} = \frac{w_1 w_2 \mu_a S}{l} \quad (2.110)$$

(2.109) бен (2.110) тендеулерін салыстырғанда, $M_{12} = M_{21}$ тең екенин көрсетеді. Сонымен (2.108) тендеу дәлелденеді. Бұдан басқа, екі катушканың өзара индуктивтігі, иірім санына, магнитеткізгіштің геометриялық шамасына және катушкалардың өзара катынасы мен ортандың абсолютті магнитті өтімділігіне бағынышты. Екі катушканың индуктивті байланысын байланыс коэффициенті деп аталады.

$$K = \frac{M}{\sqrt{L_1 L_2}} \quad (2.111)$$

Бұл коэффициент бірден аз, себебі, өзара индукция магнитті ағым өзіндік индукция ағымынан аз, оны екі сымды катушканың ажыратқан ағымын азайтса немесе жоғары абсолютті магнитті өтімділігі бар магнит өткізгішті пайдаланса көбейтуге болады.

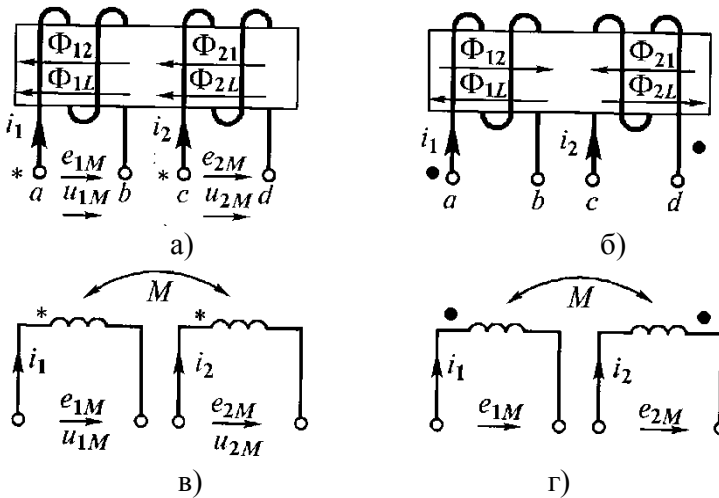
2.6.2. Өзара индукция ЭКК

Бірінші мен екінші контурдағы индуктірленген ЭКК (2.105, 2.106)-ны есепке алып, мына түрде жазуға болады:

$$e_1 = -\frac{d\psi_1}{dt} = -L_1 \frac{di_1}{dt} + M \frac{di_2}{dt} = e_{1L} + e_{1M}; \quad (2.112)$$

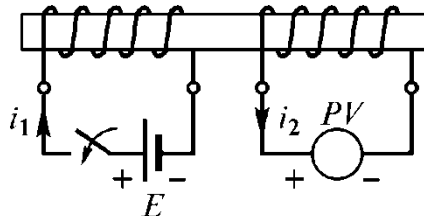
$$e_2 = -\frac{d\psi_2}{dt} = -L_2 \frac{di_2}{dt} + M \frac{di_1}{dt} = e_{2L} + e_{2M}. \quad (2.113)$$

Осылайша, әр катушка ЭКК, өзіндік индукция мен өзара индукция ЭКК алгебралық жиынымен табылады. Өзара индукция ЭКК белгісін табу үшін тізбектегі индуктивті қосылған элементтер қысқышын белгілейді. Екі қысқышты егер де тоқ бағыты қысқышқа қатысты, бірдей болса, өзіндік индукция магнитті ағымы мен өзара индукциясы қосылса, аттас деп атайды. Бұндай тұжырымды сұлбада бірдей шартты белгімен белгілейді, мысалы: нүктемен немесе жұлдызбен (2.36 а, б-сурет). Бір бағыттағы тоқ i_1 мен i_2 (2.36 а-сурет) А мен С қысқышқа қатысты, өзіндік индукция ағымдары Φ_{1L} (Φ_{2L}) мен өзара индукция Φ_{12} (Φ_{21}) бағыттарын беттестіреді. Сонымен, А мен С қысқыштары аттас. b мен d қысқыштары да аттас, бірақ шартты белгімен біратты бір жұп тұжырымын белгілейді, мысалы a мен c (2.36 а-сурет).



2.36-сурет

Егерде i_1 мен i_2 тоғы аттас қысқышқа қатысты бір бағытта болмаса (2.23 б-сурет), онда өзіндік индукция мен өзара индукция ағымдарын қарама-қарсы бағыттауға душар етеді. Сұлбада, магнит өткізгіші көрсетілмейді, тек аттас қысқыштар белгіленеді (2.36 в-сурет).



2.37-сурет

Аттас қысқыштарды тәжірибе жолымен табуга болады. Ол үшін, бір катушка тұрақты тоқ қайнар көзінің тізбегіне қосылған, екіншісіне тұрақты тоқ вольтметрі қосылған. (2.37-сурет). Егер де, қайнар көзінің тізбегі тұйықталғанда өлшем құралының тілі қисайса, индуктивті қосылған катушка қысқышы қайнар көзінің оң полюсіне қосылса және өлшем құралдың оң қысқышына қосылса, аттас болады.

ЭҚК мен өзара индукция кернеуінің белгілерін анықтайық. Мысалы, (2.36 а-сурет) бірінші катушка ажыраған, екіншісінен i_2 тоғы өтеді. $e_{1M} \ll i_2$ оң бағыттарын таңдайық, аттас қысқыштарға қатысты. ЭҚК мен өзара индукция кернеуі тең, белгісі бойынша қайши келеді. $e_{1M} > 0$ болса б қысқыш әлеуеті а қысқыш әлеуетінен көп, сондықтан $i_{1M} < 0$.

Ленц ережесі бойынша e_{1M} мен $\frac{di_2}{dt}$ белгілер әруақытта қарама-қарсы, сондықтан: $i_{1M} = -e_{1M} = M \frac{di_2}{dt}$

Кешенді түрінде, мынадай:

$$\underline{U}_{1M} = -\underline{E}_{1M} = j\omega M \underline{I}_2 = \underline{Z}_M \underline{I}_2. \quad (2.114)$$

Катушкаларды қарама-қарсы қосқанда (2.37 б-сурет).

$$\underline{U}_{1M} = -\underline{E}_{1M} = -j\omega M \underline{I}_2 = -\underline{Z}_M \underline{I}_2. \quad (2.115)$$

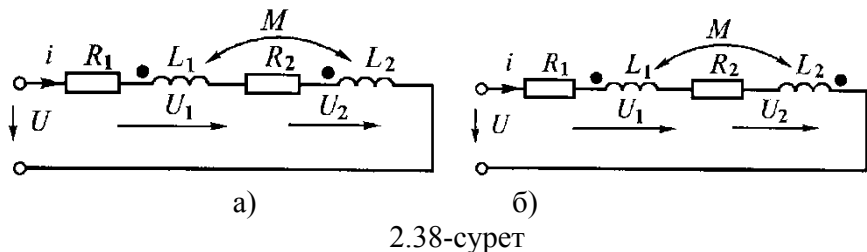
(2,114) пен (2,115) көргөз болады, өзара индуктивтік кернеу векторы \underline{U}_{1M} , тоқ векторына \underline{I}_2 фаза бойынша қатысты $\pm 90^\circ$ бүрышқа жылжыған.

$X_M = \omega M$ кедергісі өзара индуктивті кедергі, ал $Z_M = j\omega M$ – кешенді кедергі деп аталады. Сонымен, тоқ бағыты келісті болса, өзара индуктивтік кернеу құлауы «плюс» белгісімен, қарама-қарсы бағытта болса, «минус» белгісімен көрсетіледі.

2.6.3. Индуктивті байланысты екі катушканың тізбектеліп қосылуы

Тізбектеліп қосылған екі катушканы қарайық, активті кедергілері

R_1, R_2 , индуктивтілігі L_1, L_2 , өзара индуктивтігі M екі түрде қосылды дейік, (2,38 а-сурет) келісті және (2,38 б-сурет) қарама-қарсы.



2.38-сурет

Келісті қосылғанда, тоқ екі катушкада бір бағытта аттас қысқышқа қатысты, сондыктan өзара индуктивтілік кернеу құлауын Кирхгоф теңдеуінің лездік мәнінде «плюс» белгісімен жазамыз:

$$u_1 = iR_1 + L_1 \frac{di}{dt} + M \frac{di}{dt}; \quad u_2 = iR_2 + L_2 \frac{di}{dt} + M \frac{di}{dt};$$

$$u = u_1 + u_2 = i(R_1 + R_2) + (L_1 + L_2 + 2M) \frac{di}{dt}.$$

Осы теңдеулер кешенді түрде:

$$\underline{U}_1 = \underline{IR}_1 + j\omega L_1 \underline{I} + j\omega M \underline{I}; \quad \underline{U}_2 = \underline{IR}_2 + j\omega L_2 \underline{I} + j\omega M \underline{I};$$

$$\begin{aligned} U &= U_1 + U_2 = I(R_1 + R_2) + \\ j\omega I(L_1 + L_2 + 2M) &= IZ_{\text{согл}}. \end{aligned} \quad (2.116)$$

Келісті (соласком) қосылғандағы тізбектің толық кедергісі:

$$Z_{\text{согл}} = \frac{U}{I} = R_1 + R_2 + j\omega(L_1 + L_2 + 2M). \quad (2.117)$$

Қарсы қосылғанда (2.38 б-сурет) екі катушкадағы тоқ аттас қысқышқа қатысты қарама-қарсы бағытта, сондықтан өзара индуктивтілік кернеуін «минус» белгісімен жазамыз. Бұл жағдайда, Кирхгоф теңдеуінің комплексті түрі, мынадай:

$$\begin{aligned} \underline{U}_1 &= \underline{I}R_1 + j\omega L_1 \underline{I} - j\omega M \underline{I}; \quad \underline{U}_2 = \underline{I}R_2 + j\omega L_2 \underline{I} - j\omega M \underline{I}; \\ \underline{U} &= \underline{U}_1 + \underline{U}_2 = \underline{I}(R_1 + R_2) + \\ j\omega \underline{I}(L_1 + L_2 - 2M) &= \underline{I}Z_{\text{қарама қарсы}} \end{aligned} \quad (2.118)$$

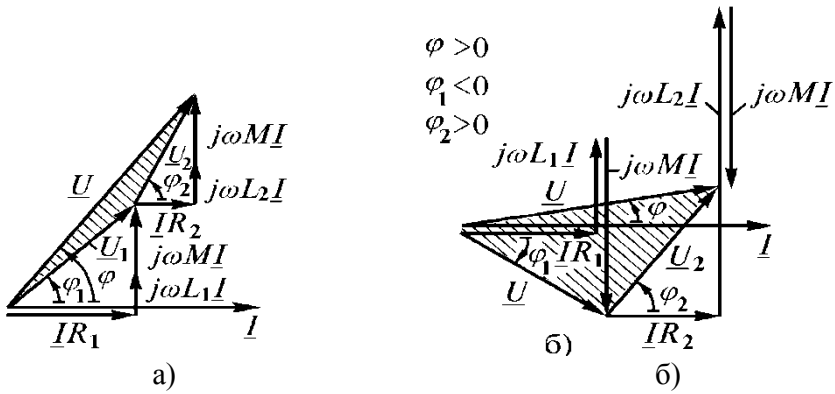
Қарсы қосылған тізбек толық кедергісі:

$$Z_{\text{қарама қарсы}} = R_1 + R_2 + j\omega(L_1 + L_2 - 2M) \quad (2.119)$$

Тізбектің толық кедергісі келісті қосылғанда қарсыға қараганда көп. Бұны индуктивті байланысты катушканың аттас қысқышын тәжірибе жолымен табуда пайдалануға болады.

(2.39 суретте) келісті және қарсы қосылған катушканың векторлы диаграммасы көрсетілген. Тоқ векторының бастапкы фазасы тізбектің барлық элементінің біріккен түрінде, нөльге тең деп алынады. Тоқ векторына қарай \underline{U}_1 мен \underline{U}_2 кернеу қосындысы жазылған. (2.116, 2.118)

Векторлар бағытын тандауды жөнілдетеді, кешеннің $\pm j$ көбейтіндісі $\pm 90^\circ$ бұрылсына сәйкес. Вектор көп бұрыштары \underline{U}_1 , \underline{U}_2 , \underline{U} , диаграммада салынған Кирхгоф заңына сәйкес, керекті болу үшін штрихталған:



2.39-сурет

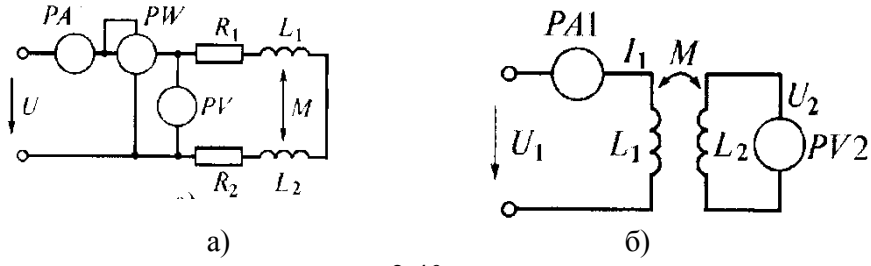
2.39 б-суреттегі қарсы қосылған катушка векторлы диаграммасы $L_1 < M < L_2$ кезінде салынған. Бұндай параметрлер қатынасында бірінші катушкадағы сыйымдылық тиімдірек көрінеді, кернеу \underline{U}_1 ток \underline{I}_1 қалады. Тізбекке конденсатор жоқ, бірінші катушка индуктивтілігі $L'_1 = L_1 - M$ теріс, конденсатор қосылуына эквивалентті болады. Бірақ тізбек барлық уақытта индуктивті сипатта, ток векторы кірмеде кернеу векторынан қалады, $(L_1 + L_2 - 2M) > 0$

Катушканың келісті қосылуында сыйымдылық тиімділігі болмайды.

2.6.4. Өзара индуктивтікі эксперименталды жолымен анықтау

Индуктивті байланысты катушкалардың тізбектеліп қосылуы өзара M индуктивтілікті тәжірибе мен анықтауда қолданылады. 2.40 а-сурет. Ол үшін екі тәжірибе өткіземіз. Бірінші тәжірибеде катушкалар бірізді жалғас және келісті қосамыз. Тоқ $I_{\text{согл}}$, U кедергісін және активті қуатты $P_{\text{согл}}$ өлшейміз. Тәжірибе қорытындысында, тізбектің активті, толық және реактивті кедергісін табамыз.

$$R_{\text{сэйкес}} = \frac{P_{\text{сэйкес}}}{I_{\text{сэйкес}}^2}; \quad Z_{\text{сэйкес}} = \frac{U}{I_{\text{сэйкес}}}; \quad X_{\text{сэйкес}} = \sqrt{Z_{\text{сэйкес}}^2 - R_{\text{сэйкес}}^2}.$$



2.40-cypet

Бір катушканың қысқыш орындарын ауыстырып сол кернеудің өлшеуін қайталаймыз. Тәжірибе қорытындысында тізбектегі қарсы қосылған катушка кедергісін анықтаймыз:

$$M = \frac{X_{\text{сайкес}} - X_{\text{қарама қарсы}}}{4\omega}. \quad (2.120)$$

Өзара индуктивтілікті жай тәсілмен табуға болады. Бірінші катушканы амперметр арқылы көрек көзіне қосамыз 2.40 б-сурет, екінші катушка қысқышына үлкен ішкі кедергісі бар вольтметр қосамыз.

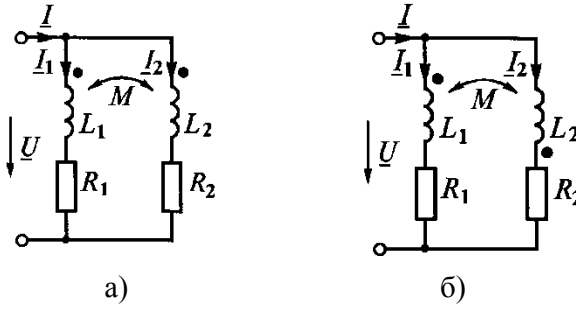
Тоқ I_1 мен U_2 көрнеуін өлшейміз. $u_2 = M \frac{dI_1}{dt}$ болғанда
әсерлі мәні $U_2 = \omega M I_1$, сондыктан:

$$M = \frac{U_2}{\omega I_1}. \quad (2.121)$$

2.6.5. Индуктивті байланысты катушкалардың жапсарлас қосылуы

Екі катушка кедергілері R_1, R_2 , индуктивтілігі L_1, L_2 және өзара индуктивтілігі M жapsарлас қосылған. Екі түрлі қосылуы

мүмкін – аттас қысқышты бір түйіншікке қосу (2.41 б-сурет) және әртүрлі түйіншікке қосу (2.41. б сурет)



(2.41-сурет)

Тоқты оң бағытта алғанда, бірінші сұлба келісті қосуға сәйкес, екінші – қарсы қосылғанда сәйкес. Кирхгофтың екінші заны бойынша теңдеулер құрамыз, әр қатарлы тармақтарға кешенді түрдө:

$$\left. \begin{aligned} R_1 \underline{I}_1 + j\omega L_1 \underline{I}_1 \pm j\omega M \underline{I}_2 &= \underline{U} \\ R_2 \underline{I}_2 + j\omega L_2 \underline{I}_2 \pm j\omega M \underline{I}_1 &= \underline{U} \end{aligned} \right\}. \quad (2.122)$$

$\underline{Z}_1 = R_1 + j\omega L_1$; $\underline{Z}_2 = R_2 + j\omega L_2$; $\underline{Z}_m = j\omega M$ белгілеп, теңдеулер жүйесін табамыз:

$$\left. \begin{aligned} \underline{Z}_1 \underline{I}_1 \pm \underline{Z}_M \underline{I}_2 &= \underline{U} \\ \pm \underline{Z}_M \underline{I}_1 + \underline{Z}_2 \underline{I}_2 &= \underline{U} \end{aligned} \right\}, \quad (2.123)$$

Мұндағы «плюс» белгісі катушканың келісті қосылуына сәйкес (2.41 а сурет), «минус» белгісі – қарсыға сәйкес (2.41 б-сурет)

Тоқтарға қатысты теңдеу жүйесін шешеміз:

$$\underline{I}_1 = \frac{\underline{A}_1}{\Delta} = \frac{\underline{Z}_2 \mp \underline{Z}_M}{\underline{Z}_1 \underline{Z}_2 - \underline{Z}_M^2} \underline{U}; \quad \underline{I}_2 = \frac{\underline{A}_2}{\Delta} = \frac{\underline{Z}_1 \mp \underline{Z}_M}{\underline{Z}_1 \underline{Z}_2 - \underline{Z}_M^2} \underline{U}.$$

Кирхгофтың бірінші заны бойынша тоқ тізбектің тармакталмаған бөлігінде:

$$\underline{I} = \underline{I}_1 + \underline{I}_2 = \frac{\underline{Z}_1 + \underline{Z}_2 \mp 2\underline{Z}_M}{\underline{Z}_1 \underline{Z}_2 - \underline{Z}_M^2} \underline{U}, \quad (2.124)$$

Тізбек кірме кедергісі

$$\underline{Z} = \frac{\underline{U}}{\underline{I}} = \frac{\underline{Z}_1 \underline{Z}_2 - \underline{Z}_M^2}{\underline{Z}_1 + \underline{Z}_2 + 2\underline{Z}_M}, \quad (2.125)$$

«алу» - келісті қосуға жатады.

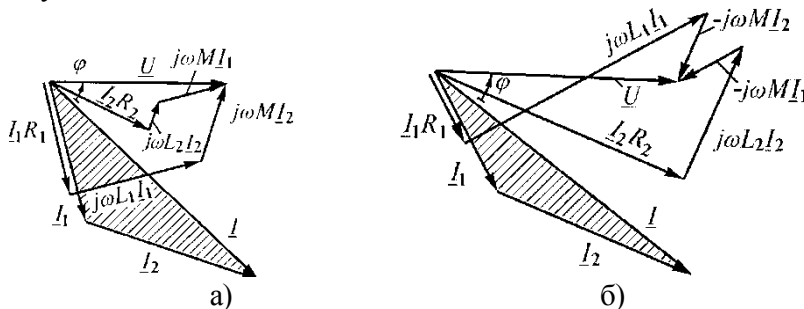
«қосу» - қарсы қосуға жатады.

$\underline{Z}_M = 0$, яғни тармактар аралығында индуктивті байланыс жоқ болғанда, (2.125) формуланы белгілі түрде жазамыз.

$$\underline{Z} = \frac{\underline{Z}_1 \underline{Z}_2}{\underline{Z}_1 + \underline{Z}_2}.$$

2.42 суретте тізбектің векторлы диаграммалар көрсетілген (2.41-суретте) катушкалар (2.122) мен (2.123) тендеулеріне сәйкес келісті және қарсы қосылған. Көрек көзінің кернеуі \underline{U} векторының бастапқы фазасы нөлге тең.

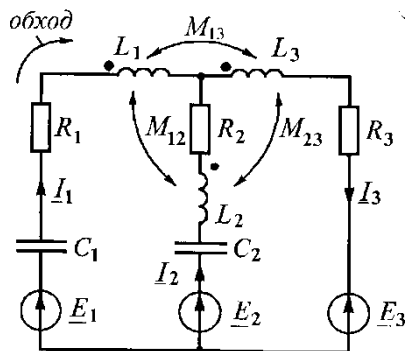
Кирхгофтың бірінші заңы бойынша тоқтың көпбұрышын салып (2.124) жазықтықта кернеудің барлық векторларын салуға болады. (2.122) бірінші тендеу жүйесімен \underline{U} векторлар кұрамаларын салуды қарастырайық, катушкаларды келісті қосқандағы (2.42 а-сурет) $\underline{I}_1 R_1$ векторларды \underline{I}_1 тоқ векторларына, жапсарлас жүргіземіз. Вектор $\underline{I}_1 R_1$ аяғынан, индуктивтілікте $j\omega L_1 \underline{I}_1$ кернеу векторын жүргіземіз, тоқ, 90° -қа озады. Үшінші векторды $j\omega M \underline{I}_2$ екіншісінің аяғынан саламыз. Ол тоқ \underline{I}_2 90° бұрышына озады, \underline{I}_2 көбейтумен j табамыз, оның 90° он бағытқа бұрылатынын көрсетеді. Екінші тендеу жүйесі (2.122) мен вектор \underline{U} кұрамасын қарсы қосылған катушкаға саламыз.



2.42-сурет

2.6.6 Құрделі индуктивті байланысқан тізбегін есептеу

Тармақталған тізбек есебін Кирхгоф теңдеуі мен контурлы тоқ әдісімен жүргізуге болады. Кирхгофтың екінші заңымен теңдеу құрағанда, өзара индуктивтілік кернеу белгісін табу үшін келесі ережелерді ескеру керек: егер де бір контурда айналым бағыты мен тоқтың оң бағыты басқа контурда аттас қысымдыққа қатысты, тең келсе, өзара индуктивтілік кернеуі «плюс» белгімен алынады. Егер де, осы бағыттар аттас тұжырыммен сәйкес келмесе, «минус» белгісімен жазылады. Кирхгоф заңымен сұлбаға теңдеу жазамыз.



2.43-сурет.

Тармақтағы тоқ бағытын және контурдың айналу бағытын оң деп аламыз:

$$I_1 + I_2 - I_3 = 0;$$

$$\begin{aligned} & -jI_1 \frac{1}{\omega C_1} + I_1 R_1 + j\omega L_1 I_1 - j\omega M_{12} I_2 + j\omega M_{13} I_3 - I_2 R_2 - \\ & - j\omega L_2 I_2 + j \frac{1}{\omega C_2} I_2 + j\omega M_{12} I_1 + j\omega M_{23} I_3 = E_1 - E_2; \\ & -jI_2 \frac{1}{\omega C_2} + j\omega L_2 I_2 + I_2 R_2 - j\omega M_{12} I_1 - j\omega M_{23} I_3 + \\ & + j\omega L_3 I_3 + I_3 R_3 + j\omega M_{13} I_1 - j\omega M_{23} I_2 = E_2 - E_3. \end{aligned}$$

Белгілі тоқ параметр теңдеу жүйесін шығарып, тармақтағы тоқты табамыз. Бұндай теңдеуді табу үшін, эквивалентті

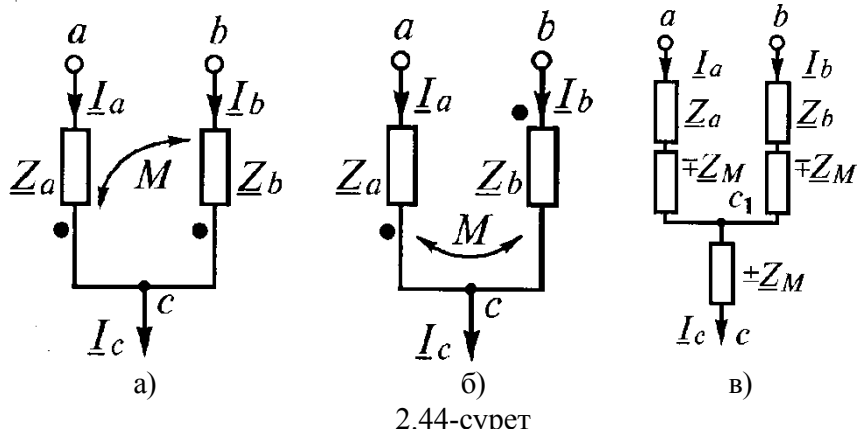
генератор әдісі қолданылады, егер де қаралатын тармақтың сол тізбек бөлігінде индуктивті байланысы болмаса, активті екүшты құрамына кіреді. Кедегі үшбұрышын эквивалентті жүлдyzға немесе керісінше өзгертуді пайдалануға болмайды. Түйіннің әлеует әдісін бұл жағдайда пайдалануға болмайды, себебі тармақтағы тоқтар түйіншек арасындағы кернеуге бағышты, бұнда осы тармақтар қосылған, басқа тармақтар да тоқпен қосылған.

Олармен өзара индуктивтілік арқылы қосылған. Есептеу әдісін таңдауда, тізбектің есептелетін сұлбасында индуктивті байланысты алып тастау керек.

2.6.7. Индуктивті байланысты эквивалентті ауыстыру

Электр тізбегінің есебін электр байланысы бар сұлба бөлігін, индуктивті байланысы жоқ эквивалентті сұлбамен алмастырсақ женілдетуге болады. Бұл тәсілді эквивалентті алмастыру немесе индуктивті байланыс шешімі дейді.

Индуктивті байланысы жоқ сұлбаны қарастырайық, Z_a мен Z_b тізбектің екі индуктивті байланысты элементтеріне эквивалентті, ортақ түйіншікке c қосылған (2.44 а, б-сурет). Екі жағдайды қарастырайық, түйіншек С тізбек элементтері аттас (2.44 а-сурет) және түрлі атты қысқыштармен (2.44 б-сурет) қосылған.



2.44-сурет

Тізбектің индуктивті элементінің кернеуі:

$$\underline{U}_{ac} = \underline{I}_a \underline{Z}_a \pm \underline{I}_b \underline{Z}_M; \quad \underline{U}_{bc} = \underline{I}_b \underline{Z}_b \pm \underline{I}_a \underline{Z}_M.$$

Кирхгоф тендеуін $\underline{I}_a + \underline{I}_b - \underline{I}_c = 0$ пайдалана отырып, бірінші тендеуден \underline{I}_b тоғын, ал екінші тендеуден \underline{I}_a тоғын алып тастаймыз:

$$\underline{U}_{ac} = (\underline{Z}_a \mp \underline{Z}_M) \underline{I}_a \pm \underline{Z}_M \underline{I}_c; \quad \underline{U}_{bc} = (\underline{Z}_b \mp \underline{Z}_M) \underline{I}_b \pm \underline{I}_c \underline{Z}_M.$$

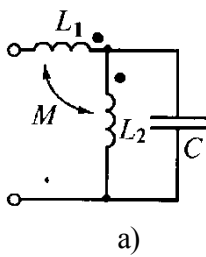
Бұл тендеу, эквивалентті сұлбаның индуктивті байланысы жоғын ауыстыруын қанағаттандырады (2.44 в-сурет).

«Минус» белгісі \underline{Z}_M кедергінің біратты қысқышы бар тармақтармен қосылғанына сәйкес (2.44 в-сурет) с түйіншек нүктесі c_1 нүктеге ауысты дейік. Екі нүктеде арасында қосымша кедергі $\pm \underline{Z}_M$ бар.

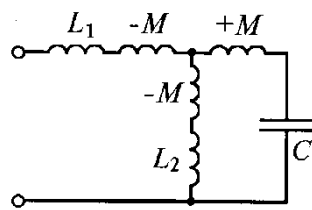
Мысал: (2.45 а-суретте) тізбектің кірме кедергісін табу керек, $X_{L1} = 10 \text{ Om}$, $X_{L2} = 5 \text{ Om}$, $X_M = 5 \text{ Om}$, $X_C = 10 \text{ Om}$.

Есептелеуі: (2.45 б-сурет) Аттас қысқыштардың бір түйіншеке қосылғанын ескере отыра индуктивті байланыстан босаймыз. Тізбектің кірме кедергісі кешенін анықтаймыз (2.45 б-сурет):

$$\underline{Z}_{ex} = jX_{L1} - jX_M + \frac{(jX_M - jX_C)(jX_{L2} - jX_M)}{jX_M - jX_C - jX_{L2} - jX_M} = j5 = 5e^{j90^\circ}$$



a)



б)

2.45-сурет

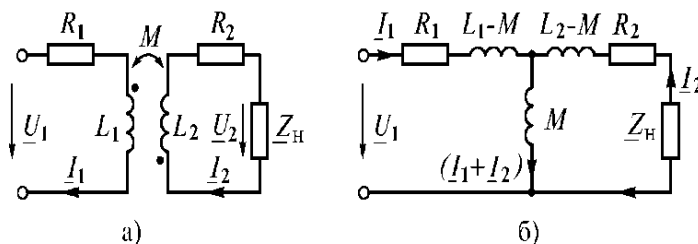
2.6.8. Ауа трансформаторы.

Трансформатор дегеніміз – электромагнитті статистикалық құрылғы, екі немесе одан да көп индуктивті байланысты

орамалары бар, электромагнит индукциясы арқылы бір немесе бірнеше басқа айнымалы ток тізбегінде түрлендіріледі. Екі орамды ферромагнитті өзекшесі жоқ трансформаторды қарастырайық. Мұндай трансформаторды ауалы немесе сзықты деп атайды. Олар жоғарғы сапалы қондырғыларда, төменгі жиілікпен жұмыс жасайтын және өлшейтін құрылғыларда қолданылады.

Тоқтың көрек көзіне қосылған трансформатор орамасын, бірінші реттік аталады немесе жоғарғы кернеу орамы, ал жүктемеге қосылған орамасы екінші реттік немесе төменгі кернеу орамасы немесе жоғарғы кернеу орамы деп аталады, ол жүктемеге қосылған.

Немесе төменгі кернеу орамасы, деп аталады (2.46 а-сурет). Кернеу мен тоқ осы орама қысқышындағы бірінші реттік немесе екінші реттік деп аталады.



2.46-сурет

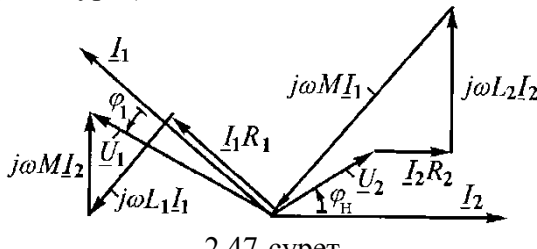
Трансформатордың жұмыс жасау қағидаты өзара индукция құбылысына негізделген. Егер де бірінші орамаға R_1, L_1 параметрлері бар, синусоидалды кернеу u_1 салынса, орамадан өтетін i_1 тоғы айнымалы магнитті ағым пайда болуына әсер етті, екінші орамаға R_2, L_2 параметрлері өзара индукция ЭКК (келтіреді) бағытталады. Осы ЭКК әсерімен жүктемеден i_2 қарсы тоғы өтеді. Осылайша, энергия бірінші контурдан екіншісіне контурлар арасындағы электрлік байланыссыз беріледі.

ІІ Кирхгоф заңы бойынша трансформатордың бірінші және екінші тізбектеріне теңдеулер құрамызы

$$R_1 \underline{I}_1 + j\omega L_1 \underline{I}_1 + j\omega M \underline{I}_2 = \underline{U}_1; \quad (2.126)$$

$$\underline{U}_2 + R_2 \underline{I}_2 + j\omega L_2 \underline{I}_2 + j\omega M \underline{I}_1 = 0. \quad (2.127)$$

Осы тендеулерді және $\underline{U}_2 = \underline{I}_2 Z_H$ тендеуін $\underline{U}_1 \underline{I}_1$ және \underline{I}_2 токтарын есептеуге болады. Жүктеме $Z_i = R_i + jX_i = Z_i e^{j\phi_i}$; $\phi_i > 0$ индуктивті мінездемеден вектор динамикасы түркізылған. \underline{I}_2 -трансформатордың екінші орамының тоғын, \underline{I}_2 бастапқы деп алғып оны оның осімен бағыттаймыз (2.47-сурет)



2.47-сурет

Жүктеме кернеуі \underline{U}_2 векторы \underline{I}_2 тоқ күші векторын ϕ_H бұрышына озады. Векторлы диаграмманы әрі қарай салу үшін (2.127) тендеуге сәйкестендіреді. \underline{U}_2 вектор аяғынан, вектор $\underline{I}_2 R_2$ жүргіземіз \underline{I}_2 тоқ векторына қатар. Кернеу векторы $j\omega L_2 \underline{I}_2$ екінші реттік орамадағы, \underline{I}_2 тоқ векторы 90° озады. (2.127) тендеумен вектор $j\omega M \underline{I}_1$ солай жүргізу керек, екінші тізбектің кернеуінің геометриялық сомасының құлауы нөлге тең болуы тиіс. Тоқ векторы \underline{I}_1 вектор $j\omega M \underline{I}_1$ 90° озады. $j\omega M \underline{I}_2$ кернеуі, \underline{I}_2 тоғынан 90° озады, (2.126) тендеудің сол жағының қосындысы кірме кернеу векторын көрсетеді.

Трансформатор жұмысының талдауын эквивалентті сұлбада жүргізді, онда индуктивті байланыс жоқ болу керек.

(2.126, 2.127) тендеулерді өзгертеміз. (2.126) тендеу сол жағына қосамыз және аламыз $j\omega M \underline{I}_1$ комплексін, ал (2.127)

тендеу сол жағына қосамыз және аламыз $j\omega M I_2$ кешенін қосындыларынан табамыз

$$R_1 \underline{I}_1 + j\omega (L_1 - M) \underline{I}_1 + j\omega M (\underline{I}_1 + \underline{I}_2) = \underline{U}_1;$$

$$\underline{U}_2 + R_2 \underline{I}_2 + j\omega (L_2 - M) \underline{I}_2 + j\omega M (\underline{I}_1 + \underline{I}_2) = 0.$$

Бұл тендеулерге 2.46 б-суреттегі сұлба тең. 2.46 а-суреттегі сұлбадан айырмашылығы, бірінші мен екінші реттік тізбек тоқпен байланысты. Трансформаторды орнату сұлбасы (2.46 б-сурет) тәжірибелік есепте қолданылады, бұған бұрынғы тізбекті талдау әдістері мен есептеуін қолдануға болады. (2.127) тендеуге $\underline{U}_2 = \underline{I}_2 Z_H = \underline{I}_2 (R_H + jX_H)$ қоямыз, \underline{I}_1 бағытты (2.126, 2.127) тендеулерді шығарамыз.

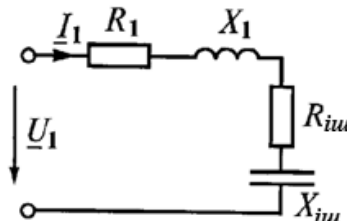
$$\underline{I}_1 = \frac{\underline{U}_1}{(R_1 + R_{iuv}) + j(X_1 - X_{iuv})}, \quad (2.128)$$

Бұнда

$$R_{iuv} = \frac{\omega^2 M^2 (R_2 + R_H)}{(R_2 + R_H)^2 + (\omega L_2 + X_H)^2};$$

$$X_{iuv} = \frac{\omega^2 M^2 (\omega L_2 + X_H)}{(R_2 + R_H)^2 + (\omega L_2 + X_H)^2}.$$

Кедергі R_{iuv} мен X_{iuv} кіргізілген деп аталады (екінші контурдан біріншіге) активті және реактивті кедергі болады. (2.128) тендеуден бірінші реттік орама жағынан сұлбаны екіштық $R_1 + R_{iuv}$ мен $X_1 + X_{iuv}$ кедергісі бар түрінде қаралады (2.48 а-сурет).



2.48-сурет

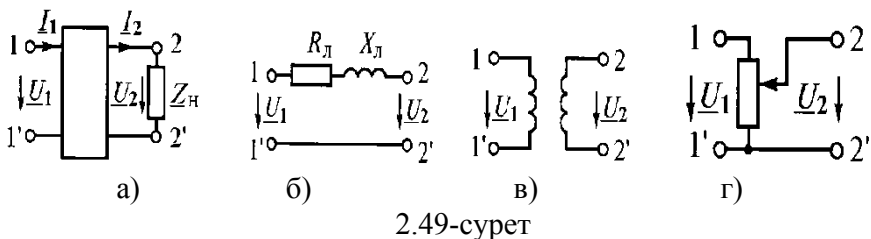
Кіргізілген активті кедергі әр уақытта нөлден көп. Бұндағы энергия бірінші тізбектен екінші тізбекке беріледі. Кіргізілген реактивті кедергі X_1 белгісіне қарсы болады. Сондықтан, екінші тізбектің индуктивті кедергісі бірінші тізбекке сыйымдылық түрінде беріледі (2.48-сурет). Сондықтан, кіргізілген кедергі, бірінші реттік орамаға тізбекті қосылған R_1X_1 көрсетеді, жүктеменің трансформатордың екінші тізбегіне әсерін көрсетеді.

2.7 Төртұшты

2.7.1. Төртұшты түсінігі. Негізгі теңдеулер

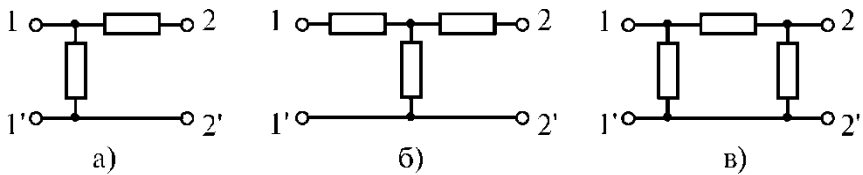
Электр энергия генераторы мен қабылдағышы аралық тізбегімен қосылады, ол күрделі болуы мүмкін. Тұрақты және бір фазалы тоқтың аралық тізбегінде екі кірмелік және екі шықпа қысқыштары болады. Екі кірме және екі шықпа қысқышы бар, электр тізбегін төртұшты деп атайды. Электр энергиясының қорек көзі қосылған төртұшты қысқышты кірме деп атайды. Жүктеме қосылған қысқышты шықпа деп атайды.

Графикалық түрде төртұшты, тік бұрыш ретінде көрсетіледі (2.49 а-сурет), екі кірме 1-1' және екі шықпа 2-2' қысқыштары бар. Төртұшты мен берілген энергия бағыты көрсетіледі. (2.49 б-сурет) трансформатор, (2.49 в-сурет) реттеуші резистор (2.49 г-сурет) түзеткіш құрылғы, электр сұзгі, күшейту және де басқа құрылғылар екі жұп қысқышы бар.



Төртұшты активті және пассивті болады. Егер де ішінде электр энергия қорек көзі болса төртұшты активті болады, егер де жоқ болса пассивті болады. Егер де төртұшты да сызықты элементтері болса, сызықты деп аталады, сызықты емес элементтері болса, сызықты емес төртұшты дейді.

Сызықты пассивті төртүштыны қарастырайық. Төртүштының ішкі элементтерінің қосылуына қарай Г-тәрізді (2.50 а-сурет) және Т-тәрізді (2.50 б-сурет), П-тәрізді (2.50 в-сурет) болады.



2.50-сурет

Төртүштыны, егер де энергия қорек көзін және қабылдағыштың орындарын ауыстырғанда симметриялы деп атайды, қорек көзі мен қабылдағыш тоқтары өзгермейді. Ал басқа жағдайда төртүшты симметриялы емес. Төртүшты теориясының мағынасы мынада: жинақты параметрларды қолдана отырып кірме және шықпадағы тоқ пен кернеуді табуға болады. Пассивті төртүшты кернеуі \underline{U}_1 мен тоғы \underline{I}_1 кірмеде кернеу \underline{U}_2 мен \underline{I}_2 тоғымен байланысты, ал шығысында (2.49 а-сурет) екі тендеумен байланысты, төртүштының негізгі теңдеулері болады:

$$\underline{U}_1 = \underline{A}\underline{U}_2 + \underline{B}\underline{I}_2; \quad (2.129)$$

$$\underline{I}_1 = \underline{C}\underline{U}_2 + \underline{D}\underline{I}_2, \quad (2.130)$$

$\underline{A}, \underline{B}, \underline{C}, \underline{D}$ -төртүштының кешенді коэффициенттері. Олар сұлбаның ішкі байланысы мен төртүшты элементтерінің мінездемесіне бағынышты. Тұрақты төртүшты келесі байланысты көрсетеді:

$$\underline{AD} - \underline{BC} = 1. \quad (2.131)$$

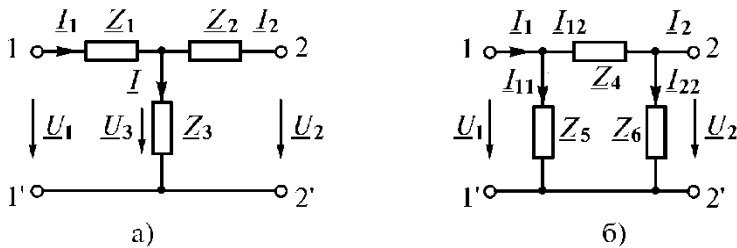
Төртүшты теңдеуі арқылы, оның жалпы қасиеттерін зерттеу жолын оңайлататын, әр түрлі алмастыру сұлбаларын салуға болады. Тәжірибеде Т және П тәрізді сұлбалар қолданылады.

2.7.2 Төртүштының Т-тәрізді алмастыру схемасы

Т-тәрізді алмастыру сұлбасында төртүшты тұрақтылығын анықтаймыз. (2.51 а-сурет) Кирхгофтың бірінші және екінші заны бойынша:

$$U_1 = I_1 Z_1 + U_3 = I_1 Z_1 + I_2 Z_2 + \underline{U}_2; \quad (2.132)$$

$$I_1 = I_2 + I_3 = I_2 + \frac{U_3}{Z_3} = I_2 + \frac{I_2 Z_2 + \underline{U}_2}{Z_3}. \quad (2.133)$$



2.51-сүрет

(2.133), (2.132) ге салып, келесі тендеуді табамыз:

$$\underline{U}_1 = \left(1 + \frac{\underline{Z}_1}{\underline{Z}_3}\right) \underline{U}_2 + I_2 \left(\underline{Z}_1 + \underline{Z}_2 + \frac{\underline{Z}_1 \underline{Z}_2}{\underline{Z}_3}\right) = \underline{A} \underline{U}_2 + \underline{B} I_2,$$

Мұнда

$$\underline{A} = 1 + \frac{\underline{Z}_1}{\underline{Z}_3}; \underline{B} = \underline{Z}_1 + \underline{Z}_2 + \frac{\underline{Z}_1 \underline{Z}_2}{\underline{Z}_3}.$$

Қосындыларды 2.133 тендеуге саламыз:

$$\underline{I}_1 = \frac{1}{\underline{Z}_3} \underline{U}_2 + I_2 \left(1 + \frac{\underline{Z}_2}{\underline{Z}_3}\right) = \underline{C} \underline{U}_2 + \underline{D} I_2,$$

$$\text{Мұнда } \underline{C} = \frac{1}{\underline{Z}_3}; \underline{D} = 1 + \frac{\underline{Z}_2}{\underline{Z}_3}.$$

Сондықтан \underline{A} , \underline{B} , \underline{C} , \underline{D} коэффициенттер – төртшұты кешенді параметрлері. Коэффициент B -кедергі шамасы, C -өткізгіштілік шамасы, A мен D мөлшерсіз. Егер де $\underline{Z}_1 = \underline{Z}_2$ болса, $\underline{A} = \underline{D}$ бүл жағдайда, төртшұты симметриялы. Төртшұты белгілі коэффициенттер арқылы, Т-тәрізді сұлба параметрлерін табуға болады:

$$\underline{Z}_1 = \frac{\underline{A}-1}{\underline{C}}; \underline{Z}_2 = \frac{\underline{D}-1}{\underline{C}}; \underline{Z}_3 = \frac{1}{\underline{C}}$$

Осы тендеулерден қорытынды шығаруға болады, егер де қоректендіруді кірме қысқыштан, шықпа қысқышқа ауыстырсақ, \underline{B} мен \underline{C} тұрақтылығы өзгермейді.

Ал \underline{A} мен \underline{D} тұрақтылығы тендеуде орындарымен ауысады:

$$\underline{U}_2 = \underline{DU}_1 + \underline{BI}_1; \quad \underline{I}_2 = \underline{CU}_1 + \underline{AI}_1. \quad (2.134)$$

2.7.3. Төртүштының П-тәрізді алмастыру схемасы

П-тәрізді алмастыру сұлбасында төртүшты тұрақтылығын анықтаймыз. (2.51 б-сурет) сұлба параметрлері $\underline{Z}_4, \underline{Z}_5, \underline{Z}_6$ -белгілі дейміз. Кирхгофтың бірінші заңы бойынша

$$\underline{I}_{12} = \underline{I}_{22} + \underline{I}_2 = \frac{\underline{U}_2}{\underline{Z}_6} + \underline{I}_2. \quad (2.135)$$

Кирхгофтың екінші заңы бойынша (2.135) ті есепке ала отырып, табамыз:

$$\begin{aligned} \underline{U}_1 &= \underline{I}_{12}\underline{Z}_4 + \underline{U}_2 = \left(\frac{\underline{U}_2}{\underline{Z}_6} + \underline{I}_2 \right) \underline{Z}_4 + \underline{U}_2 = \\ &= \underline{U}_2 \left(1 + \frac{\underline{Z}_4}{\underline{Z}_6} \right) + \underline{I}_2 \underline{Z}_4 = \underline{AU}_2 + \underline{BI}_2. \end{aligned} \quad (2.136)$$

$$\underline{A} = 1 + \frac{\underline{Z}_4}{\underline{Z}_6}; \quad \underline{B} = \underline{Z}_4$$

Төртүшты кірмесіндегі тоқ, Кирхгофтың бірінші заңы бойынша (2.136) тендеуге қойғанда, мынадай:

$$\begin{aligned} \underline{I}_1 &= \underline{I}_{11} + \underline{I}_{12} = \frac{\underline{U}_1}{\underline{Z}_5} + \frac{\underline{U}_2}{\underline{Z}_6} + \underline{I}_2 = \\ &= \frac{\underline{U}_2}{\underline{Z}_5} \left(1 + \frac{\underline{Z}_4}{\underline{Z}_6} \right) + \underline{I}_2 \frac{\underline{Z}_4}{\underline{Z}_5} + \frac{\underline{U}_2}{\underline{Z}_6} + \underline{I}_2 = \end{aligned}$$

$$= \underline{U} \left(\underline{Z}_4 + \underline{Z}_5 + \frac{\underline{Z}_6}{\underline{Z}_5 \underline{Z}_6} \right) + \underline{I}_2 \left(1 + \frac{\underline{Z}_4}{\underline{Z}_5} \right) = \underline{C} \underline{U}_2 + \underline{D} \underline{I}_2.$$

$$\text{бұдан } \underline{C} = \frac{\underline{Z}_4 + \underline{Z}_5 + \underline{Z}_6}{\underline{Z}_5 \underline{Z}_6}; \quad \underline{D} = 1 + \frac{\underline{Z}_4}{\underline{Z}_5}.$$

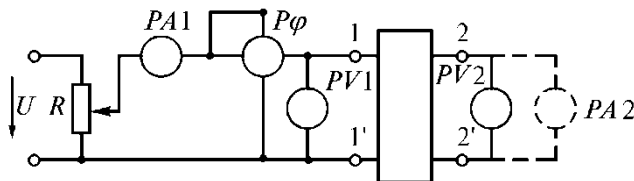
Егер де $\underline{A}, \underline{B}, \underline{C}, \underline{D}$ – белгілі болса, П-тәрізді алмастыру сүлбасының параметрлерін табуға болады:

$$\underline{Z}_4 = \underline{B}; \quad \underline{Z}_5 = \frac{\underline{B}}{\underline{D}-1}; \quad \underline{Z}_6 = \frac{\underline{B}}{\underline{A}-1}. \quad \text{Егер де } \underline{Z}_5 = \underline{Z}_6$$

болса, төртұшты симметриялы $\underline{A} = \underline{D}$.

2.7.4. Төртұшты коэффициенттерін тәжірибелі түрде анықтау

Пассивті төртұшты кешенді коэффициенттерін тәжірибелі түрде анықтауға болады. Ол үшін төртұшты параметрлерін және элементтерінің қосылу сүлбасын білу керек емес. $\underline{A}, \underline{B}, \underline{C}, \underline{D}$ коэффициенттерінің ең онай формуласын, бос жүріс пен қысқа түйіктану тәжірибесі арқылы табылады. Ол үшін (2.52-суреттегі) сүлбаны жасаймыз, әр тәжірибеде ток, кернеу және фаза бүрышының соғысуын анықтаймыз.



2.52-сурет

2.7.4.1 Бос жүріс тәжірибесі. Алдынғы қысқыши жағынан коректенгенде

Төртұшты кірмесіндегі кернеуді, айнымалы резистор R арқылы реттеп, оның шықпасыдағы номиналды кернеуін $U_{2\text{ном}}$

аламыз. Құралдар көрсеткіші $U_{10}, I_{10}, \Phi_{10..}$ Бос жүріс режімінде қайталаңған ток $I_{20} = 0$, (2.129, 2.130) теңдеулері мынадай болады:

$$\underline{U}_{10} = \underline{AU}_{2'}; \quad \underline{I}_{10} = \underline{CU}_{2'},$$

бұдан кірме кедергісі:

$$\underline{Z}_{10} = \frac{\underline{U}_{10}}{\underline{I}_{10}} = \frac{\underline{U}_{10}}{\underline{I}_{10}} e^{j\varphi_{10}} = \frac{\underline{AU}_{2'}}{\underline{CU}_{2'}} = \frac{\underline{A}}{\underline{C}}. \quad (2.137)$$

2.7.4.2 Алдыңғы қысқыш жағынан коректенгендегі қысқа тұйықталу тәжірибесі

Тәжірибелі өткізу үшін екінші қысқышқа амперметр қосамыз, кірмеге шықпада номиналды I_{1H} ток болатында кернеу береміз. Құралдар көрсеткіші $U_{1k}, I_{1k}, \Phi_{1k}$. Қысқа тұйықталу режімінде $\underline{U}_{2k} = 0$, (2.129, 2.130) теңдеулер мынадай болады:

$$\underline{U}_{1k} = \underline{BI}_{1'}; \quad \underline{I}_{1k} = \underline{DI}_{2'},$$

Бұдан кірмедегі кедергі кешенді:

$$\underline{Z}_{1k} = \frac{\underline{U}_{1k}}{\underline{I}_{1k}} = \frac{\underline{U}_{1k}}{\underline{I}_{1k}} e^{j\varphi_{1k}} = \frac{\underline{BI}_{1'}}{\underline{DI}_{2H}} = \frac{\underline{B}}{\underline{D}}. \quad (2.138)$$

2.7.4.3 Екінші қысқыштан коректенгендегі бос жүріс тәжірибесі

2-2' қысқышты қорек көзіне қосамыз және кернеуін U_{20} жасаймыз, бірінші қысқыш кернеуі номиналды U_{1H} болуы керек. Бұл кезде құрал көрсеткіші $U_{20}, I_{20}, \Phi_{20}$ болады. Бос жүріс режімінде $I_{10} = 0$ негізгі теңдеу (2.134) екінші қосқыштан коректенгенде мынадай болады:

$$\underline{U}_{20} = \underline{DU}_{1H}; \quad \underline{I}_{20} = \underline{CU}_{1H}.$$

Кіріс кедергі кешенді:

$$\underline{Z}_{20} = \frac{\underline{U}_{20}}{\underline{I}_{20}} = \frac{\underline{U}_{20}}{\underline{I}_{20}} e^{j\varphi_{20}} = \frac{\underline{D}\underline{U}_{1H}}{\underline{C}\underline{U}_{1H}} = \frac{\underline{D}}{\underline{C}}. \quad (2.139)$$

2.7.4.4 Екінші қысқыштан қоректенгендеңгі қысқа тұйықталу тәжірибесі

Теңдеу (2.134) егер де $\underline{U}_{1k} = 0$

$$\underline{U}_{2k} = \underline{B}\underline{I}_{1k}; \underline{I}_{2k} = \underline{A}\underline{I}_{1k} \text{-болса}$$

Кіріс кедергі:

$$\underline{Z}_{2k} = \frac{\underline{U}_{2k}}{\underline{I}_{2k}} = \frac{\underline{U}_{2k}}{\underline{I}_{2k}} e^{j\varphi_{2k}} = \frac{\underline{B}\underline{I}_{1H}}{\underline{A}\underline{I}_{1H}} = \frac{\underline{B}}{\underline{A}}. \quad (2.140)$$

(2.137., 2.140) теңдеулер бір-бірімен қатынасты байланысы бар

$$\frac{\underline{Z}_{1k}}{\underline{Z}_{10}} = \frac{\underline{Z}_{2k}}{\underline{Z}_{20}},$$

бұдан коэффициенттер $\underline{A}, \underline{B}, \underline{C}, \underline{D}$ табылады. Сондықтан коэффициент арасындағы байланысы бар теңдеуді пайдаланамыз (2.131.). (2.131., 2.137..., 1.140) теңдеулерді есептеп табамыз:

$$\underline{A} = \sqrt{\frac{\underline{Z}_{10}}{\underline{Z}_{20} - \underline{Z}_{2k}}}; \underline{B} = \underline{A}\underline{Z}_{2k}; \underline{C} = \frac{\underline{A}}{\underline{Z}_{10}}; \underline{D} = \underline{C}\underline{Z}_{20}. \quad (2.141)$$

$\underline{A}, \underline{B}, \underline{C}, \underline{D}$ коэффициенттерін табу үшін үш тәжірибе өткізу керек, егер де төртүшты симметриялы болса ($\underline{A} = \underline{D}$), екі тәжірибе өткізсе болады.

2.7.5. Төртүшты бос жүрісі мен қысқа тұйықталуы

(2.129, 2.130) теңдеулер мыналарды көрсетеді: \underline{U}_1 кернеуі мен \underline{I}_1 тоғы төртүшты кірмесінде екі қосындыдан тұрады, біреуі \underline{U}_2 кернеуге пропорционалды, екіншісі \underline{I}_2 тоққа пропорционалды.

Төртүштының екі шамадағы жұмыс режімін қарастырайық: бос жүріс режімі және қысқа тұйықталу режімі. Бұл режімді

былай аламыз, бос жүрісте екінші қысқыштағы кернеу \underline{U}_2 жүктеме кернеуіне тең болу керек, ал қысқа түйікталу кезінде қайталаған тоқ жүктеме \underline{I}_2 тоғына тең болу керек. Бос жүрісте ($\underline{I}_2=0$) және қысқа түйікталуда ($\underline{U}_2=0$) негізгі тендеулер (2.129, 2.130) түрлері:

$$\underline{U}_{10} = \underline{AU}_2; \quad \underline{U}_{1k} = \underline{BI}_2; \quad \underline{I}_{10} = \underline{CU}_2; \quad \underline{I}_{1k} = \underline{DI}_2. \quad (2.142)$$

(2.142) және (2.129, 2.130) тендеулерді салыстырып қорытынды шығарамыз, Кернеу \underline{U}_1 мен тоқ \underline{I}_1 жүктеме кезінде, төртұштының бос жүріс пен қысқа түйікталу режімінде, кернеу мен тоқ жиынына сәйкес тең болады:

$$\begin{aligned} \underline{U}_1 &= \underline{AU}_2 + \underline{BI}_2 = \underline{U}_{10} + \underline{U}_{1k}; \\ \underline{I}_1 &= \underline{CU}_2 + \underline{DI}_2 = \underline{I}_{10} + \underline{I}_{1k}. \end{aligned} \quad (2.143)$$

Осылайша, төртұшты кірмесіндегі кернеу мен тоқ бос жүріс және қысқа түйікталу қорытындысы қосынды ретінде табуға болады.

Салу қағидатын пайдаланудың ерекше мәні бар, қуатты электротехникалық құрылғыларды сынауда, реттеуіші жүктеме тәжірибесін көп қуатты қорек көзін қажет ететін, бос жүріс және қысқа түйікталу тәжірибесімен (аз қуатты) алмастыруға болады. Бұл тәсіл сынауда электр энергиясын үнемдеуге байланысты болатынын көрсетеді.

2.7.6. Кез келген жүктемедегі төртұшты кірме кедергісі

Төртұшты жұмыс режімін сипаттау үшін кірме кедергісі түсінігі қолданылады. Кірме кедергісі дегеніміз – кернеу \underline{U}_1 тоқ \underline{I}_1 қатынасы, шығар бетінде қорек көзінің қосылатын жері. Бірінші қысқыштан қоректенгендердегі кірме кедергі:

$$\underline{Z}_{kip1} \frac{\underline{U}_1}{\underline{I}_1} = \frac{\underline{AU}_2 + \underline{BI}_2}{\underline{CU}_2 + \underline{DI}_2} = \frac{\underline{AZ}_H + \underline{B}}{\underline{CZ}_H + \underline{D}}, \quad (2.144)$$

$\underline{U}_2 = \underline{I}_2 \underline{Z}_H$ деп алынады.

Екінші қысқыштан қоректенгенде :

$$\underline{Z}_{kip2} \frac{\underline{U}_2}{\underline{I}_2} = \frac{\underline{DU}_1 + \underline{BI}_1}{\underline{CU}_1 + \underline{AI}_1} = \frac{\underline{DZ}_H + \underline{B}}{\underline{CZ}_H + \underline{A}}, \quad (2.145)$$

Төртүшты коэффициентін (2.144, 2.145) формулаға саламыз, бос жүріс кедергісі және қысқа тұйықталу (2.137...2.140) теңдеулер арқылы тәжірибеде жиі қолданатын формуланы табамыз:

$$\underline{Z}_{kip1} \frac{\underline{AZ}_H + \underline{B}}{\underline{CZ}_H + \underline{D}} = \frac{\frac{A}{C} \left(\underline{Z}_H + \frac{\underline{B}}{\underline{A}} \right)}{\underline{Z}_H + \frac{\underline{D}}{\underline{C}}} = \underline{Z}_{10} \frac{\underline{Z}_H + \underline{Z}_{2k}}{\underline{Z}_H + \underline{Z}_{20}},$$

$$\underline{Z}_{kip2} \frac{\underline{DZ}_H + \underline{B}}{\underline{CZ}_H + \underline{A}} = \frac{\frac{D}{C} \left(\underline{Z}_H + \frac{\underline{B}}{\underline{D}} \right)}{\underline{Z}_H + \frac{\underline{A}}{\underline{C}}} = \underline{Z}_{20} \frac{\underline{Z}_H + \underline{Z}_{1k}}{\underline{Z}_H + \underline{Z}_{10}},$$

Осылайша, теңдеулер төртүшты арқылы кедергіні өзгертуге болатынын көрсетеді. Төртүшты теориясы электроэнергетиканың негізгі проблемасын, төртүшты арқылы қорек көзінен қабылдағышқа энергияның берілуін қарастырады.

Бақылау сұрақтары

1. Қандай айнымалы тоқтарды және кернеулерді синусоидалық емес деп атайды?
2. Электр тізбектерінде синусоидалық тоқтар мен кернеулердің пайда болу себебі неден?

3. Синусоидалық емес тоқтар мен кернеулер электр тізбектерінің әртүрлі режімдерде пайда болуына тоқталыныз?
4. Фурье қатарын жазыңыз, оған түсініктеме беріңіз.
5. Синусоидалық емес ток пен кернеудің тұрақты құраушысы деген не?
6. Бірінші және т.с.с. жоғары гармоника дегеніміз не?
7. A_0, B_{km} және C_{km} коэффициенттерін қалай есептейді?
8. Симметриялығы бар периодтық қисықтардың қасиеттеріне тоқтаңыз.
9. Абсцисса өсінен салыстырғанда симметриялы болатын функцияға талдау жасап, соның негізінде, бұл функцияның тұрақты құраушысы және жұп гармоникасы болмайтынын дәлелдеңіз.
10. Координаттың өсуімен және координат бас нүктесімен салыстырғанда симметриялы болатын синусоидалық емес функцияларды қатарлардың өрнегі түрінде жазыңыз.
11. Тригонометриялық қатарлардың қоэффициенттерін графоаналитикалық әдіспен анықтауға тоқталыныз.
12. Синусоидалық емес қоректендіру көздерінің тоқтары мен кернеулерін қалай есептеуге болады?
13. Синусоидалық емес ә.к.к.-дегі және тоқтардағы резонансстық құбылыс қалай байқалады?
14. Айнымалы синусоидалық тоқтың әсерлік мәні деп нені айтады?
15. Синусоидалық тоқтың әсерлік мәнінің анықтамасына сүйеніп синусоидалық емес тоқтың әсерлік мәнінің анықтамасын түжірымдаңыз.
16. Синусоидалық емес тоқтың және кернеудің әсерлік мәндерінің өрнегін жазып, оларға түсініктеме беріңіз.
17. Синусоидалық емес функцияның модулінің орташа мәні деген не?
18. Синусоидалық емес тоқтың орташа қуаты дегеніміз не?
19. Активтік қуат ұғымын қалай түсінесіз?
20. Қандай жүйенің құралдарының көмегімен синусоидалық емес тоқтың:
 - а) әсерлік мәнін; ә) модулі бойынша орташа мәнін; б) амплитудалық мәнін өлшеуге болады?

21. Неліктен кернеулернің реті үшеселі болатын гармоникалар фазалары бойынша үш фазалық көздің орамдарының барлық фазаларына сәйкес келеді?
22. Қандай гармоникалар нөлдік, тікелей және кері бірізділіктерді түзеді?
23. $U_{\text{ж}}/U_{\phi} < 3$ қатыстың орындалу себебін түсіндіріңіз.
24. Неліктен синусоидалық емес кернеулері бар үш фазалық тізбектің фазаларындағы жүктеме симметриялық болған күннің өзінде бейтарап сымдағы тоқ неліктен нөлге тең болмайды?
25. Бейтарап сымсыз және симметриялық жүктемесі бар үш фазалық синусоидалық емес кернеулердің тізбегінің қабылдағышының бейтарап (нөлдік) нүктесінің көздің нөлдік нүктесімен салыстырғанда ығысуын түсіндірініз.